

Азәрбајҹан ССР
Елмләр Академијасы
Академия наук
Азербайджанской ССР

ISSN 0002-3078

МӘРУЗЭЛӘР ДОКЛАДЫ

ЧИЛД

XLVI

ТОМ



2

1990

ДАН Азерб. ССР публикует краткие сообщения об оригинальных, никогда не публиковавшихся ранее, результатах научных исследований, представленные академиками АН Азерб. ССР, которые тем самым берут на себя ответственность за научные достоинства представляемой статьи.

В «Докладах» не публикуются крупные статьи, механически разделенные на ряд отдельных сообщений, статьи polemического характера, без новых фактических сообщений, статьи polemического характера, без новых фактических данных, статьи с описанием промежуточных опытов, без определенных выводов и обобщений, чисто методические статьи, если предлагаемый метод не является принципиально новым, а также статьи по систематике растений и животных (за исключением описания особо интересных для науки находок).

Будучи органом срочной информации, журнал «ДАН Азерб. ССР» принимает в отсутствие автора, а также в не эти статьи, объем которых запускает их публикацию в установленные решения Правления АН Азерб. ССР сроки.

В связи со всеми перечисленными ограничениями отклонение статьи редакцией «Доклады АН Азерб. ССР» означает только, что она не согласуется с требованиями и возможностями этого журнала и не исключает ее публикации в других изданиях.

ПРАВИЛА ДЛЯ АВТОРОВ

Редакция журнала «Доклады АН Азерб. ССР» просит авторов руководствоваться приведенными правилами и надеется, что авторы ознакомятся с ними прежде, чем呈示 статью в редакцию.

Статьи, присланные без соблюдения этих правил, к рассмотрению не принимаются.

1. Статьи, направляемые в редакцию, должны иметь представление члена АН СССР или академика АН Азерб. ССР, если это требуется (см. выше).

Статьи с просьбой направить их на представление редакции не принимаются.

2. Статья публикуется по мере поступления. Единственным поводом для внеочередной публикации является исключительная важность сообщения и соображения приоритета. Для этого необходимо специальное решение редакции.

3. Как правило, редакция направляет предоставленные статьи на рецензию.

4. «Доклады» помещают не более трех статей одного автора в год. Это правило распространяется на членов АН СССР, академиков Академии наук Азерб. ССР.

5. Авторы должны определить раздел, в который следует поместить статью, а также дать индекс статьи по Универсальной десятичной классификации (УДК). К статье прилагается отпечатанный на машинке реферат в двух экземплярах, предназначенный для передачи в один из реферативных журналов ВИНИТИ.

6. В конце статьи нужно указать полное название учреждения, в котором выполнено исследование, фамилии всех авторов а также полный почтовый адрес и номер телефона (служебный и домашний) каждого соавтора.

Кроме того, авторский коллектив должен указать лицо, с которым редакция будет нести переговоры и переписку.

7. Возвращение рукописи автору на доработку не означает, что статья принятая к печати. После получения доработанного текста рукопись вновь рассматривается редакцией. Доработанный текст автор должен вернуть вместе с первоначальным экземпляром статьи, а также ответом на все замечания. Датой поступления считается день получения редакции окончательного варианта статьи.

8. В «Докладах» публикуются статьи, занимающие не более $\frac{1}{4}$ авторского листа (6 страниц машинописи). В этот объем входит текст, таблицы, библиография (не больше 15 источников) и рисунки, число которых не должно превышать четырех, включая и обозначения «а», «б» и т. д. в том числе вклейки на мелованной бумаге. Вклейки даются только для микрофотографий большого увеличения. Широкие рисунки (карты, схемы и т. п.) на вклейках не печатаются, а даются на кальке. Текст и графический материал представляются в двух экземплярах. Повторение одних и тех же данных в тексте, таблицах и графиках недопустимо. Рисунки должны быть выполнены четко, в формате, обеспечивающем ясность передачи всех деталей фотографии представляются на глянцевой бумаге. Подпись к рисункам должна быть напечатана в 2-х экземплярах, через линию интервала на отдельной странице. На обороте рисунков мягким карандашом указываются фамилии авторов, название статьи и номер рисунка.

(Продолжение на третьей странице обложки)

АЗЭРБАЙЧАН ЕЛМЛЭР АКАДЕМИЯСЫ
АКАДЕМИЯ НАУК АЗЕРБАЙДЖАНА

МӨРҮЗӘЛӘР ДОКЛАДЫ

ТОМ XLVI ЧИЛД

№ 2

«ЕЛМ» ИЗДАНИЯТЫ – ИЗДАТЕЛЬСТВО «ЕЛМ»
• АДДИС АББЕБЕ, АДДИС АББЕБЕ – БАКУ
• АДДИС АББЕБЕ – БАКУ
• АДДИС АББЕБЕ – БАКУ
БИБЛИОТЕКА
БИБЛИОТЕКА
БИБЛИОТЕКА



И. Дж. МАРДАНОВ

РАЗЛОЖЕНИЕ ЛИНЕЙНОГО РАЗНОСТНОГО ОПЕРАТОРА
ВТОРОГО ПОРЯДКА НА МНОЖИТЕЛИ

(Представлено академиком АН Азербайджанской ССР Ф. Г. Максудовым)

Найдены достаточные условия разложимости линейного нестационарного разностного оператора на множители, которые являются линейными разностными операторами первого порядка.

1. Пусть T — оператор сдвига с шагом дискретизации $h > 0$, т. е. $Ty(t) = y(t+h)$. Обозначим через C банахово пространство непрерывных на всей оси t функций $x(t)$ с нормой

$$\|x(t)\| = \text{Sup } |x(t)| \quad (-\infty < t < \infty).$$

Рассматривается линейный нестационарный оператор

$L(t_1 T_{1\mu}) = T^2 - (\alpha + \beta + \mu\varphi(t))T + \alpha\beta + \mu\psi(t), \quad |\alpha| \neq |\beta|,$ (1)
зависящий от комплексного параметра μ . Предположим, что

$$\|\varphi(t)\| \leqslant \gamma, \quad \|\psi(t)\| \leqslant \delta.$$

Ставится задача об отыскании значения μ_0 такого, что при $|\mu| < \mu_0$ будет справедливо разложение на множители

$$L(t_1 T_{1\mu}) = (T - \alpha - \mu a(t_{1\mu}))(T - \beta - \mu x(t_{1\mu})), \quad a(t_{1\mu}) \in C, \quad b(t_{1\mu}) \in C. \quad (2)$$

Из сравнения тождеств (1), (2), находим систему уравнений

$$a(t_{1\mu}) + b(t+h_{1\mu}) = \varphi(t), \quad \alpha b(t_{1\mu}) + \beta a(t_{1\mu}) + \mu a(t_{1\mu}) b(t_{1\mu}) = \psi(t),$$

из которой находим нелинейные разностные уравнения

$$\beta b(t+h_{1\mu}) - \alpha b(t_{1\mu}) = -\psi(t) + \beta\varphi(t) + \mu\varphi(t)b(t_{1\mu}) - \mu b(t_{1\mu}) b(t+h_{1\mu}), \quad (3)$$

$$\beta a(t+h_{1\mu}) - \alpha a(t_{1\mu}) = \psi(t+h) - \alpha\varphi(t) - \mu\varphi(t)a(t+h_{1\mu}) + \mu a(t+h_{1\mu}) a(t_{1\mu}), \quad (4)$$

Для решения равносильных уравнений (3), (4) используем метод последовательных приближений, сходящийся при достаточно малых значениях $|\mu| > 0$. Для отыскания условий сходимости используем лемму.

Лемма. Если $f(t) \in C$, то при $|\beta| > |\alpha|$ разностное уравнение

$$\beta y(t+h) - \alpha y(t) = f(t) \quad (5)$$

имеет ограниченное решение

$$y(t) = (\beta T - \alpha)^{-1} f(t) \equiv \sum_{n=1}^{\infty} \alpha^{n-1} \beta^{-n} f(t-nh),$$

а при $|\alpha| > |\beta|$ уравнение (5) имеет решение

$$y(t) = (\beta T - \alpha)^{-1} f(t) = - \sum_{n=0}^{\infty} \alpha^{-1-n} \beta^n f(t+nh).$$

При этом будет справедлива оценка

РЕДАКЦИОННАЯ КОЛЛЕГИЯ:

Э. Ю. Салаев (главный редактор), Г. Б. Абдуллаев, М. Т. Абасов,
В. С. Алиев, Г. А. Алиев, Дж. А. Алиев, И. Г. Алиев, Дж. Б. Гулиев,
Н. А. Гулиев, М. З. Джабаров, Ф. Г. Максудов, А. А. Надиров,
Ю. М. Сенцов (зам. главного редактора), М. А. Усейнов.

[Г. Г. Зейналов] (ответственный секретарь).

© Издательство «Эли», 1990 г.

$$\|y(t)\| \leq (\|\alpha\| - |\beta|)^{-1} \cdot \|f(t)\|. \quad (6)$$

Справедливость леммы легко может быть показана оценкой рядов, определяющих решение $y(t)$.

При $|\beta| > |\alpha|$ ищем решение уравнения (3). Полагая $b_0(t_{1\mu}) = 0$, находим $b(t_{1\mu})$ из соотношения

$$b(t_{1\mu}) = \lim_{n \rightarrow \infty} b_n(t_{1\mu}), \quad b_n(t_{1\mu}) \in C,$$

где последовательность $b_n(t_{1\mu})$ определяется из бесконечной системы рекуррентных уравнений

$$\begin{aligned} \beta b_{n+2}(t + h_{1\mu}) - \alpha b_{n+1}(t_{1\mu}) = -\psi(t) + \beta \varphi(t) + \mu \varphi(t) b_n(t_{1\mu}) - \\ - \mu b_n(t_{1\mu}) b_n(t + h_{1\mu}) \quad (n = 0, 1, 2, \dots) \end{aligned} \quad (7)$$

Введем величины $x_n(\mu) = \|b_n(t_{1\mu})\|$ ($n = 1, 2, \dots$), $x_0(\mu) = 0$. Из оценки (6) находим систему неравенств

$$0 < x_{n+1}(\mu) \leq (\|\beta\| - |\alpha|)^{-1} (\sigma + |\alpha|\tau + |\mu|\tau x_n(\mu) + (\mu)x_n^2(\mu)) \quad (n = 0, 1, 2, \dots),$$

из которой следует ограниченность [последовательности $b_n(t_{1\mu})$ ($n = 1, 2, \dots$)] если неравенство

$$\sigma + |\alpha|\tau + |\mu|\tau x(\mu) + |\mu|x^2(\mu) \leq (\|\beta\| - |\alpha|)x\mu \quad (8)$$

имеет положительное решение $x(\mu) > 0$. При этом будет справедливо неравенство

$$x_{n+1}(\mu) \leq x_n(\mu) \leq x(\mu) \quad (n = 1, 2, \dots).$$

Из уравнения (8) находим значение $x(\mu)$:

$$x(\mu) = 2(\sigma + |\alpha|\tau)(\|\beta\| - |\alpha|\tau + \sqrt{(\|\beta\| - |\alpha| - |\mu|\tau)^2 - 4|\mu|(\sigma + |\alpha|\tau)})^{-1} \quad (9)$$

Наибольшее значение $x(\mu)$ достигает при условии

$$(\|\beta\| - |\alpha| - |\mu|\tau)^2 = 4|\mu|(\sigma + |\alpha|\tau), \quad (10)$$

откуда находим значение μ_0

$$\mu_0 = (\|\beta\| - |\alpha|)^2 (\tau|\beta| + \tau|\alpha| + 2\sigma + \sqrt{(\tau|\beta| + \tau|\alpha| + 2\sigma)^2 - \tau^2(\|\beta\| - |\alpha|)^2})^{-1} \quad (11)$$

Если выполнено условие $|\mu| < \mu_0$, то будет справедливо неравенство

$$x(\mu) < \sqrt{\mu_0^{-1}(\sigma + |\alpha|\tau)}$$

Полученной результат сформулируем в виде теоремы.

Теорема. Если выполнено неравенство $|\mu| < \mu_0$, то последовательность $b_n(t_{1\mu})$, определяемая системой уравнений (7), будет ограничена при всех значениях $n = 0, 1, 2, \dots$ и при этом

$$\|b_n(t_{1\mu})\| < \sqrt{\mu_0^{-1}(\sigma + |\alpha|\tau)} \quad (n = 0, 1, 2, \dots) \quad (12)$$

2. Докажем теорему о сходимости последовательности $b_n(t_{1\mu})$.

Теорема 2. Если $|\beta| \neq |\alpha|$, то при $|\mu| < \mu_0$ будет справедливо разложение (2), где $a(t_{1\mu})$, $b(t_{1\mu})$ — ограниченные при всех значениях $t \in (-\infty, \infty)$ функции голоморфные относительно μ .

Доказательство. При $|\beta| > |\alpha|$ используем систему уравнений (7), из которой находим систему уравнений

$$\begin{aligned} \beta Z_{n+1}(t + h_{1\mu}) - \alpha Z_{n+1}(t_{1\mu}) = \mu \varphi(t) Z_n(t_{1\mu}) - \mu b_n(t_{1\mu}) Z_n(t + h_{1\mu}) - \\ - \mu b_{n-1}(t + h_{1\mu}) Z_n(t_{1\mu}) \quad (n = 1, 2, \dots), \end{aligned}$$

где введены обозначения

$$Z_n(t_{1\mu}) = b_n(t_{1\mu}) - b_{n-1}(t_{1\mu}) \quad (n = 1, 2, \dots).$$

Используя оценки (6), (12), находим неравенство

$$\|Z_{n+2}(t_{1\mu})\| \leq |\mu| (\|\beta\| - |\alpha|)^{-1} (\tau + 2\sqrt{\mu_0^{-2}(\delta + |\alpha|\tau)}) \|Z_n(t_{1\mu})\|,$$

которые в силу равенства (10) принимают простой вид

$$\|Z_{n+1}(t_{1\mu})\| \leq |\mu| \mu_0^{-1} \|Z_n(t_{1\mu})\| \quad (n = 1, 2, \dots) \quad (13)$$

Следовательно при $|\mu| < \mu_0$ последовательность $b_n(t_{1\mu}) \in C$ ($n = 1, 2, \dots$) находится с голоморфной относительно μ функции $b(t_{1\mu}) \in C$. Аналогично рассматривается случай $|\alpha| > |\beta|$, когда используется уравнение (4).

При $|\mu| < \mu_0$ будет справедливо оценка

$$\|a(t_{1\mu})\| \leq \sqrt{\mu_0^{-1}(\sigma + |\beta|\tau)} \quad (14)$$

В случае $|\alpha| > |\beta|$ условие разложимости оператора (1) на множители (2) приводит также к неравенству $|\mu| < \mu_0$, где μ_0 определяется также формулой (11). Это окончательно доказывает справедливость теоремы.

Замечание. Можно доказать, что оценка для μ_0 (11) не может быть улучшена, т. е. при $|\mu| > \mu_0$ оператор $L(t_1 T_{1\mu})$ может не разлагаться на множитель (2).

На основе теоремы (2) можно предложить аналитический метод решения разностного нестационарного уравнения второго порядка

$$y(t + 2h) - (\alpha + \beta + \mu \varphi(t)) y(t + h) + (\alpha \beta + \mu \varphi(t)) y(t) = 0 \quad (15)$$

к разностным нестационарным уравнениям первого порядка. При этом функции $a(t_{1\mu})$, $b(t_{1\mu})$ в разложении (2) можно искать в виде степенных рядов по степеням параметра μ .

При $|\alpha| \neq |\beta|$, $\mu = 0$ имеет место экспоненциальная динотомия [1] решений разностного уравнения (15). Теорема 2 дает фактически условие $|\mu| < \mu_0$ сохранения экспоненциальной динотомии решений разностного уравнения (15) при $\mu \neq 0$. Поэтому результаты работы могут быть применены для исследования устойчивости решений разностного уравнения (15).

В заключение автор приносит глубокую благодарность К. Г. Валееву за постановку и ценные замечания.

Литература

Долецкий Ю. Л., Крайн М. Г. Устойчивость решений дифференциальных уравнений в банаховом пространстве. — М.: Наука, 1970. — 535 с.

Азербайджанский инженерно-строительный институт

Поступило 7. VII 1989

И. Ч. Мэрданов

ИКИТЭРТИБЛИ ХЭТТИ ФЭРГ ОПЕРАТОРЛАРЫНЫН ВУРУГЛАРЫНА АЖЫРЫШЫ

Мэгалаэдэ биртэргибли хэтти фэрг операторлар илэ [верилэн гејри-стасионар икиничи тэргиб операторуун вуругларына ажырлыши үчүн мұвағиғ шәртлөр тапталышы дыр.]

I. Dz. Mardanov

EXPANSION OF LINEAR DIFFERENCE OPERATOR OF THE SECOND ORDER TO {MULTIPLIES}

Were found enough expansional conditions of linear difference operator of the second order to multiplies, which are appeared as difference operators of the first order.

В. И. ЦУРКОВ

ГРАДИЕНТНАЯ МЕТОДИКА В ДВУХУРОВНЕВЫХ АЛГОРИТМАХ
ДЛЯ СИСТЕМ С ПЕРЕКРЕСТНЫМИ СВЯЗАМИ

(Представлено академиком АН Азербайджанской ССР Ф. Г. Максудовым)

В фундаментальной работе Дж. Д. Пирсона (1) предлагается декомпозиционный метод на двух уровнях для блочной задачи оптимального управления с перекрестными связями. В данной заметке указано на применение градиентной методики для координирующей части указанного алгоритма. Имеем задачу оптимального управления следующего вида:

$$f(u, z) = \left[\sum_{j=1}^J w_j(x_j(T)) + \int_0^T c_j(x_j(t), u_j(t), z_j(t), t) dt \right] \rightarrow \min \quad (1)$$

$$dx_j(t)/dt = F_j(x_j(t), u_j(t), z_j(t), t), \quad x_j(0) = x_j, \quad (2)$$

$$\rho_j(x_j(t), u_j(t), z_j(t), t) \geq 0, \quad (3)$$

$$z_j(t) = \sum_{i=1}^J L_{ji}(t) y_i(t), \quad y_j(t) = G_j(x_j(t), u_j(t), t), \quad j \in [1 : J], \quad (4)$$

где $j \in [1 : J]$ — номера подсистем, x_j — n_j -мерный вектор фазовых переменных, u_j — m_j -мерный вектор управлений, z_j и y_j — s_j -мерные векторы входа и выхода соответственно; L_{ji} — матрицы согласованных размерностей; F_j , ρ_j , G_j — вектор-функция своих аргументов размерности n_j , t , r_j .

Введем вектор функции сопряженных переменных δ_j размерности s_j , которые соответствуют указанным связывающим условиям в (4) при $j \in [1 : J]$.

Решение задачи (1) — (4) проводится по двухуровневой схеме. На нижнем уровне подсистемы решают независимые (локальные) задачи при фиксированием $\sigma(t) = \{\sigma_1(t), \dots, \sigma_J(t)\}$. Эти задачи формулируются так:

$$f_j(u_j, z_j, \sigma) = w_j(x_j(T)) + \int_0^T [c_j(x_j(t), u_j(t), z_j(t), t) + \sum_{i=1}^J (\sigma_i(t))^T L_{ij}(t) G_j(t) - (\sigma_i(t))^T z_j(t)] dt \rightarrow \min$$

при условиях (2), (3).

Пусть $f_j^*(\sigma) = f_j(u_j^*(\sigma), z_j^*(\sigma), \sigma)$ — оптимальное решение локальной задачи номера j . На верхнем уровне решается координирующая задача:

$$f^*(\sigma) = \sum_{j=1}^J f_j^*(\sigma) \rightarrow \min. \quad (5)$$

Вводятся в рассмотрение величины:

$$\xi_j(\sigma, t) = \sum_{i=1}^J L_{ji}(t) G_i(x_i^*(\sigma), t) - z_j^*(\sigma), \quad j \in [1 : J], \quad (6)$$

которые называются ошибкой взаимодействия для j -ой подсистемы. В [1] устанавливается, что при некоторых предположениях необходимым и достаточным условием окончания итеративного процесса по двухуровневой схеме является равенство нуля указанных ошибок $\xi_j(\delta, t)$, $j \in [1 : J]$.

Пусть величина $\delta(\rho)$ зависит от скалярного параметра ρ в виде $\sigma(\rho) = \sigma + \rho \bar{\sigma}$, и будем рассматривать локальные задачи, параметрически зависящие от ρ в некоторой правой окрестности $\rho = 0$. Предположим, что при $\rho = 0$ локальные задачи имеют единственное решения $(x_j^*(\delta), u_j^*(\delta), z_j^*(\delta))$ и единственное оптимальные сопряженные переменные $(\psi_j^*(\delta), \eta_j^*(\delta))$, соответствующие (2), (3). Считаем также, что в некоторой окрестности точки $\rho = 0$ существуют частные производные $d\psi_j^*(t, \rho)/d\rho$, $dx_j^*(t, \rho)/d\rho$, $dz_j^*(t, \rho)/d\rho$. Предполагая, что входящие в (1) — (5) функции дважды непрерывно дифференцируемы, и используя теорему о монотонном значении (2) с учетом (6), вычислим $df^*(\rho)/d\rho$ при $\rho = 0$.

Теорема. Имеет место формула

$$df^*(0)/d\rho = \sum_{j=1}^J \int_0^T (\bar{\xi}_j(t))^T \xi_j(x_j^*(\delta), u_j^*(\delta), z_j^*(\delta), t) dt.$$

Доказательство. Производные оптимальных значений функционалов локальных задач вычисляются так:

$$\begin{aligned} df_j^*(0)/d\rho &= [\partial w_j/\partial (x_j^*(T)) (\partial x_j^*(T, 0)/d\rho) + \int_0^T (\partial c_j/\partial x_j) (\partial x_j^*(t, 0)/d\rho) + \\ &+ (\partial c_j/\partial u_j) (\partial u_j^*(t, 0)/d\rho) + (\partial c_j/\partial z_j) (\partial z_j^*(t, 0)/d\rho) + (\psi_j^*(\delta))^T \times \\ &\times [\partial F_j/\partial x_j (\partial x_j^*(t, 0)/d\rho) + \partial F_j/\partial u_j (\partial u_j^*(t, 0)/d\rho) + \partial F_j/\partial z_j (\partial z_j^*(t, 0)/d\rho) - \\ &- d(\partial x_j^*(t, 0) - \delta)/dt] - (\eta_j^*(t))^T [\partial \rho_j (\partial x_j^*(t, 0)/d\rho) + \partial \rho_j (\partial u_j^*(t, 0)/d\rho) \times \\ &\times (\partial u_j^*(t, 0)/d\rho) + (\partial \rho_j/\partial z_j) (\partial z_j^*(t, 0)/d\rho)] + |\sum_{i=1}^J (\bar{\xi}_i(t))^T L_{ij} G_j \times \\ &\times (x_j^*(t), u_j^*(t), t) - (\bar{\xi}_j(t))^T z_j^*(t) + \sum_{i=1}^J (\bar{\xi}_i(t))^T L_{ij}(t) \partial G_j/\partial x_j (\partial x_j^*(t, 0)/d\rho) + \\ &+ (\partial G_j/\partial u_j) (\partial u_j^*(t, 0)/d\rho) - (\bar{\xi}_j(t))^T (\partial z_j^*(t, 0)/d\rho) dt]. \end{aligned} \quad (7)$$

Необходимые условия оптимальности для локальной задачи номера j имеют вид

$$\begin{aligned} d\psi_j^*(t)/dt &= -\partial H_j/\partial x_j = -\partial c_j/\partial x_j - (\psi_j^*(t))^T \partial F_j/\partial x_j + \\ &+ (\eta_j^*(t))^T \partial \rho_j/\partial x_j - \sum_{i=1}^J (\bar{\xi}_i(t))^T L_{ij} \partial G_j/\partial x_j, \end{aligned} \quad (8)$$

$$\begin{aligned} 0 &= \partial H_j/\partial u_j = \partial c_j/\partial u_j + (\psi_j^*(t))^T \partial F_j/\partial u_j - \\ &- (\eta_j^*(t))^T \partial \rho_j/\partial u_j + \sum_{i=1}^J (\bar{\xi}_i(t))^T L_{ij} \partial G_j/\partial u_j, \end{aligned} \quad (9)$$

$$\begin{aligned} 0 &= \partial H_j/\partial z_j = \partial c_j/\partial z_j + (\psi_j^*(t))^T \partial F_j/\partial z_j - (\eta_j^*(t))^T \partial \rho_j/\partial z_j - \delta_j, \end{aligned} \quad (10)$$

$$\psi_j(T) = \partial w_j/\partial x_j(T), \quad \eta_j(t) \geq 0, \quad (11)$$

где, как обычно, вводится функция Гамильтона (3)

$$H_j = c_j + \psi_j^T F - \eta_j^T p_j + \sum_{i=1}^j \sigma_i^T L_{ij} G_j - \sigma_j^T z_j.$$

Седьмое слагаемое в интервале правой части (7) преобразуем интегрированием по частям

$$\begin{aligned} - \int_0^T (\psi_j^*(t))^T (d/dt [\partial x_j^*(t, 0)/\partial \rho]) dt &= -(\psi_j^*)^T (\partial x_j^*(t, 0)/\partial \rho) \Big|_0^T + \\ &+ \int_0^T d(\psi_j^*(t))^T / dt (\partial x_j^*(t, 0)/\partial \rho) dt. \end{aligned} \quad (12)$$

Поскольку $x_j(0) = \chi_j$, то значение при $t = 0$ в первом слагаемом правой части (12) равно нуля. Согласно (11), значение при $t = T$ этого слагаемого взаимно уничтожается с первым членом правой части (7). В силу (8)–(10) уничтожаются некоторые слагаемые. Остается

$$df_j^*(0)/d\rho = \int_0^T \left[\sum_{i=1}^j (\delta_i^*(t))^T L_{ij}(t) G_j(x_j^*(t), u_j^*(t), t) - (\sigma_j^*(t))^T z_j^*(t) \right] dt.$$

Суммируя по $j \in [1 : J]$ и вспомнив определение (6), окончательно получаем финальную формулу в формулировке теоремы.

Таким образом, теорема дает средство применения градиентной методики для координирующей задачи (5). Результат теоремы универсален для других способов координации, в частности, для блочно-сепарабельных динамических систем [4, 5].

Литература

1. Pearson J. D. Dynamic descomposition techniques. II Optimizational methods for large-scale systems... with applications.—New York. Mc Graw-Hill.—1971.—p. 121–190.
2. Левшин Е. С. О дифференцируемости по параметру оптимального значения параметрических задач математического программирования.—Кибернетика, 1976, № 1, с. 44–59.
3. Понтигиян Л. С., Болтынский В. Г., Гамкрелидзе Р. В., Мищенко Е. Ф. Математическая теория оптимальных процессов.—М.: Наука, 1969—396 с.
4. Цурков В. И. Декомпозиция в задачах большой размерности.—М.: Наука, 1981.—325 с.
5. Цурков В. И. Динамические задачи большей размерности.—М.: Наука, 1988.—288 с.

Московский ордена Трудового
Красного Знамени физико-технический
институт

Поступило 13. 1. 1989

В. Н. Сурков

ЧАРПАЗ ЭЛАГӘЛИ СИСТЕМЛӘР ҮЧҮН ИКИСӘВИЛЛӘЛИ АЛГОРИТМЛӘРДӘ ГРАДИЕНТ МЕТОДУ

Мәгәләдә чарпаз элагали системләр үчүн икисәвилләли методларның үмүмни хеңмәнди координасија масаласында маргинал гијмет үчүн дүстүр алыныштыр. Бу дүстүр чарпаз элагэнин хәталары вә элаголәндирли шәртләрни гошма дәйшиләрниң дәйшишмә истигамәтлөрү дахидир.

V. I. Tsurkov

GRADIENT METHODS IN TWO-LEVEL ALGORITHMS FOR SYSTEMS WITH CROSS CONNECTIONS

Formula for the marginal value for coordinating problem in a general scheme of two-level methods for systems with cross interactions is deduced. It contains interaction errors and directions of changes of conjugate variables of connecting conditions.

УДК 539. 3

МЕХАНИКА

Р. Ю. АМЕНЗАДЕ

УРАВНЕНИЯ ДВИЖЕНИЯ В ПЕРЕМЕЩЕНИЯХ ДЛЯ УПРУГОГО ТЕЛА С РЕАКЦИЕЙ

(Представлено академиком АН Азербайджанской ССР
А. Х. Мирзаджанзаде)

Математическому моделированию динамики крупных кровеносных сосудов как деформируемых оболочек посвящена довольно обширная литература (1, 2). В ней, на основе имеющихся к настоящему времени экспериментальных данных, стени сосуда моделируются оболочкой, материал которой обладает упругими, нелинейно-упругими либо вязко-упругими свойствами. Этого описания, при котором стени сосуда предполагаются пассивным объектом, над которым совершаются работы по его деформированию, по существу недостаточно, так как для физиологии первостепенное значение имеет активное поведение сосуда. Известно, что кровеносные сосуды состоят из трех концентрических слоев. Однако их механические свойства обуславливаются главным образом свойствами средней сосудистой оболочки [3], которой присущи деформации, вызываемые активным сокращением мышечных волокон в сочетании с толстостенностью (сравнение теоретических и экспериментальных результатов показывает необходимость учета толстостенности [3]). В этой связи публикуемая работа посвящена выводу уравнений движения в перемещениях для упругого тела, обладающего реакцией (биофактором [4]).

Следуя [5, 6], учет биофактора, которым будем моделировать активное сокращение, осуществим следующим образом. Будем полагать, что тензор истинных напряжений σ_0^{ij} складывается из тензора пассивных напряжений σ^{ij} и тензора реакции R^{ij} :

$$\sigma_0^{ij} = \sigma^{ij} + R^{ij} \quad (1)$$

Здесь напряжения σ^{ij} связаны с деформациями законом Гука*

$$\sigma^{ij} = C^{ijkl} e_{kl} \quad (2)$$

Следуя [6], тензор реакции представим в виде

$$R^{ij} = -A_{kl}^{ij} \sigma^{kl} (t - \tau) \quad \tau \ll t, \quad (3)$$

где τ —время запаздывания, а тензор A_{kl}^{ij} симметричен относительно индексов i , j и k , l . Отметим, что, исходя из биофизических соображений, совокупность A_{kl}^{ij} должна быть такой, чтобы истинные напряжения были меньше пассивных.

Подставляя (3) в (1), получим

* В дальнейшем используются общепринятые обозначения.

$$e_0^{ij}(t) = e^{ij}(t) - A_{kl}^{ij} e^{kl}(t-\tau) \quad (4)$$

$$\text{или с учетом (2)} \quad e_0^{ij}(t) = C^{ijmn} e_{mn}(t) - B^{ijmn} e_{mn}(t-\tau) \quad (5)$$

Тензор B^{ijmn} определяется формулой

$$B^{ijmn} = A_{kl}^{ij} C^{klmn} \quad (6)$$

Подагая, что тело изотропно и однородно, тензор упругих модулей запись следующим образом [7]

$$C^{ijmn} = \lambda g^{ij} g^{mn} + \mu (g^{im} g^{jn} + g^{in} g^{jm}) \quad (7)$$

Здесь λ и μ —коэффициенты Ляме, а g^{ij} —метрический тензор. Тензор A_{kl}^{ij} представим зависимостью

$$A_{kl}^{ij} = g_{kp} g_{eq} A^{ijpq} \quad (8)$$

Рассмотрим случай, когда реакция изотропна и однородна. Тогда, согласно принятой гипотезе, имеем

$$A^{ijpq} = \alpha g^{ij} g^{pq} + \beta (g^{ip} g^{jq} + g^{iq} g^{jp}), \quad (9)$$

где α и β —коэффициенты реакции. В этом случае формулу (6) представим следующим образом

$$B^{ijmn} = (3\alpha\lambda + 2\alpha\mu + 2\beta\lambda) g^{ij} g^{mn} + 2\mu\beta (g^{im} g^{jn} + g^{in} g^{jm}) \quad (10)$$

Учитывая вид тензоров (7) и (9) в равенстве (5), получим

$$e_0^{ij}(t) = (\lambda g^{ij} g^{mn} + \mu (g^{im} g^{jn} + g^{in} g^{jm})) e_{mn}(t) - \\ - \{(3\alpha\lambda + 2\alpha\mu + 2\beta\lambda) g^{ij} g^{mn} + 2\mu\beta (g^{im} g^{jn} + g^{in} g^{jm})\} e_{mn}(t-\tau) \quad (11)$$

Ввиду малости параметра запаздывания τ по сравнению с t , примем следующее разложение

$$e_{mn}(t-\tau) \approx e_{mn}(t) - \tau \dot{e}_{mn}(t), \quad (12)$$

в силу которого

$$e_0^{ij}(t) = [\lambda - (3\alpha\lambda + 2\alpha\mu + 2\beta\lambda)] g^{ij} g^{mn} e_{mn}(t) + \\ + \mu (1 - 2\beta) (g^{im} g^{jn} + g^{in} g^{jm}) e_{mn}(t) + \tau [(3\alpha\lambda + 2\alpha\mu + 2\beta\lambda) \times \\ \times g^{ij} g_{mn} \dot{e}_{mn}(t) + 2\mu\beta (g^{im} g^{jn} + g^{in} g^{jm}) \dot{e}_{mn}(t)] \quad (13)$$

Принимая во внимание в (13) известные соотношения [8]

$$g^{mn} e_{mn} = 0; \quad e_{mn} = \frac{1}{2} (u_{m,n} + u_{n,m}). \quad (14)$$

после несложных преобразований придем к следующему равенству

$$e_0^{ij}(t) = [\lambda - (3\alpha\lambda + 2\alpha\mu + 2\beta\lambda)] g^{ij} \theta(t) + \\ + \mu (1 - 2\beta) (g^{im} u_{,m}^i + g^{in} u_{,m}^j) + \tau (\alpha\lambda + 2\alpha\mu + 2\beta\lambda) g^{ij} \dot{\theta}(t) + \\ + 2\beta\mu (g^{im} \dot{u}_{,m}^i + g^{in} \dot{u}_{,m}^j). \quad (15)$$

Подставив полученное выражение в уравнение движения

$$e_0^{ij} + \rho F^j = \rho W^i$$

найдем

$$\{(\lambda + \mu) - [\alpha(3\lambda + 2\mu) + 2\beta(\lambda + \mu)]\} g^{ij} \theta_i(t) + \mu (1 - 2\beta) \Delta u^i + \\ + \tau [\alpha(3\lambda + 2\mu) + 2\beta(\lambda + \mu)] g^{ij} \dot{\theta}_i(t) + 2\mu\beta \Delta \dot{u}^i + \rho F^i = \rho W^i \quad (16)$$

Система уравнений (16) эквивалентна дифференциальному уравнению в векторной форме

$$\{(\lambda + \mu) - [\alpha(3\lambda + 2\mu) + 2\beta(\lambda + \mu)]\} \operatorname{grad} \operatorname{div} u + \mu (1 - 2\beta) \Delta u +$$

$$+ \tau [\alpha(3\lambda + 2\mu) + 2\beta(\lambda + \mu)] g \cdot \operatorname{ad} \operatorname{div} u + 2\mu\beta \Delta \dot{u} + \rho F = \rho \ddot{u} \quad (17)$$

Уравнение Ляме автоматически получаются при $\alpha = \beta = 0$. Пренебрегая массовыми силами и учитывая, что сосудистая ткань практически несжимаемая [3], т. е. $\operatorname{div} u = 0$, уравнению (17) придадим вид

$$\mu (1 - 2\beta) \Delta u - 2\mu\beta \Delta \dot{u} - \operatorname{grad} \Omega = \rho \ddot{u} \quad (18)$$

Здесь Ω —конечное давление, которое вводится в силу несжимаемости. Полученные уравнения движения в перемещениях представляют собой систему трех линейных уравнений в частных производных, порядок каждого из которых в отличие от уравнений Ляме повышается на один относительно переменной t . Уравнение (18) имеет такой же вид, как и уравнение для вязко-упругой среды (модель Фойгта) при отсутствии реакции. Если реакция мгновенна $\tau = 0$, но сама отлична от нуля ($\beta \neq 0$), то уравнение остается чисто упругим и записывается как

$$\mu (1 - 2\beta) \Delta u - \operatorname{grad} \Omega = \rho \ddot{u}. \quad (19)$$

Литература

1. Педди Т. Гидродинамика крупных кровеносных сосудов.—М.: Мир, 1983. с. 400.
2. Лайтбум. Явления переноса в живых организмах.—М., 1982.
3. Бранков Г. Основы биомеханики.—М.: Мир, 1981, с. 254.
4. Никитин Л. В.—МТТ, 1971, №3, с. 154—157.
5. Ахундов М. Б., Работин Ю. Н., Суворова Ю. В.—МТТ, 1985, №6, с. 96—100.
6. Амензаде Р. Ю., Ализаде А. Н., Ахундов М. Б.—Докл. АН Аз.ССР, 1988, №9 с. 11—13.
7. Седов Л. И. Механика сплошной среды.—М.: Наука 1973, с. 536.
8. Аманзаде Ю. А. Теория упругости.—М.: Высшая школа, 1976, с. 272.
9. Ляв. А. Математическая теория упругости. ОНТИ НКТ и П СССР.—М.—Л., 1935.

Азербайджанский государственный
университет им. С. М. Кирова

Поступило 17. IV 1989.

Р. J. Эмэнзада

РЕАКЦИЈАЈА МЭРУЗ ЕЛАСТИКИ ЧИСМИН ЈЕРДАЈИШМЭЛЭРДЭ НЭРЭКЭТ ТЭНЛИЈИ.

Мэгэлэдэ биологи фактора мэ'руз гадан эластики чисмин јердажишмэлэрдэ нэрэктэй тэнилийн чыхарлышидан бэхс олунур. Бурада биологи фактор вэ чисим изотроп ээ бирчийн гэбул едлийр.

Мэгэлэдэ ёмчийн албан тэнилийн төхлийн да верилир.

R. J. Amenzade

THE MOTION EQUATIONS IN THE DISPLACEMENTS FOR THE ELASTIC BODY WITH THE REACTION

The publishing article is devoted to the leading out of the motion equations in the displacements for the elastic body with the biofactor.

It is assumed that the body and biofactor are isotropic and uniform. The analysis of the obtained equations is carried out.

УДК 539. 143. 43 + 541. 67

ФИЗИКА ПОЛУПРОВОДНИКОВ

Н. Т. МАМЕДОВ

ТЕНЗОР ГЭП И СПИНОВЫЕ ОБМЕННЫЕ ВЗАИМОДЕЙСТВИЯ
ЯДЕР В СЛОИСТО-ЦЕПОЧЕЧНЫХ КРИСТАЛЛАХ $TlGaSe_2$

(Представлено академиком АН Азербайджанской ССР Г. Б. Абдуллаевым)

Слоисто-цепочечные ($TlGaSe_2$ [1, 2], $TlInS_2$ [3]) и цепочные ($TlGaTe_2$ [4]) кристаллы $TlMeX_2$ являются первыми низкоразмерными полупроводниками, в которых обнаружены последовательности фазовых переходов с образованием пространственно-модулированных структур.

В [5] показано, что в цепочных кристаллах $TlMeX_2$ имеет место межцепочечное взаимодействие Tl - Me (спиновое обменное взаимодействие между ядрами Tl и Me), связанное с перекрыванием волновых функций одно- и трехвалентных ионов металлов с использованием направленных орбиталей dsp^2 -типа.

В настоящей работе приводятся результаты температурных исследований квадрупольных эффектов первого и второго порядков на ядрах ^{69}Ga и ^{71}Ga в $TlGaSe_2$ методом ЯМР. Рассматривается влияние взаимодействия Tl - Me на ориентацию тензора ГЭП, роль такого взаимодействия в возникновении сегнетоэлектрической неустойчивости в кристаллах $TlGaSe_2$.

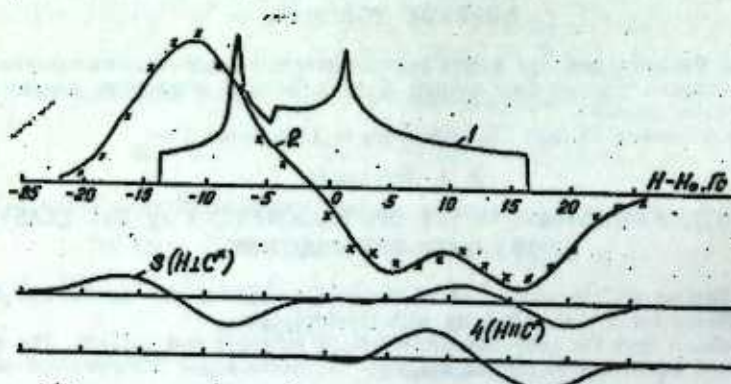


Рис. 1. Спектры ЯМР ^{71}Ga в поликристалле (кр. 1, 2 и +) и монокристалле (кр. 3, 4) $TlGaSe_2$ при комнатной температуре на частоте $\nu_0=24,20$ МГц. C^* — нормаль к слоям. За начало отсчета принято положение линии ^{71}Ga в $Ga(NO_3)_3$.

Расчет спектра поликристалла $TlGaSe_2$ (рис. 1, кр. 1) проводился с использованием соотношения для частоты центрального перехода в монокристалле [6], которое в данном случае имеет вид:

12

$$\gamma^2/2 \leftrightarrow -1/2 = \nu_0 - \frac{R}{\nu_0} [A(\varphi) \cos^4 \theta + B(\varphi) \cos^2 \theta + C(\varphi)], \quad (1)$$

$$\text{где } R = V_Q^2 [I(I+1) - 3/4]; \quad \nu_Q = \frac{3e^2 q_{zz} Q}{h^2 I(2I-1)}$$

$$A(\varphi) = -27/8 + 9/4 \eta \cos 2\varphi - 3/8 \eta^2 \cos^2 2\varphi;$$

$$B(\varphi) = 30/8 - 2\eta \cos \varphi - 1/2 \eta^2 + 3/4 \eta^2 \cos^2 2\varphi;$$

$$C(\varphi) = -3/8 + 1/3 \eta^2 - 1/4 \eta \cos 2\varphi - 3/8 \eta^2 \cos^2 2\varphi.$$

Значения константы квадрупольной связи (ККС), параметра асимметрии тензора ГЭП (η) и параметра уширения (β) находились при подгонке (путем вариации ККС, η , β) производной спектра (рис. 1, кр. 2), полученной при наложении на рассчитанный спектр уширяющей функции Гаусса ($\sqrt{2\pi}\beta^2 \exp[-(H-H_0)^2/2\beta^2]$), к экспериментальной кривой. Как видно из рис. 1, положение линий второго порядка в монокристалле (кр. 3, 4) соответствует крайним точкам в спектре поликристалла (кр. 1), свидетельствуя о корректности описанной выше процедуры определения ККС, η и β при комнатной температуре. Аналогичным способом были найдены значения ККС, η и β в температурном интервале 140–330 К. Спектры ЯМР ^{71}Ga в поликристалле $TlGaSe_2$ и данные о ККС, η и β при $T < 290$ К представлены на рис. 2.

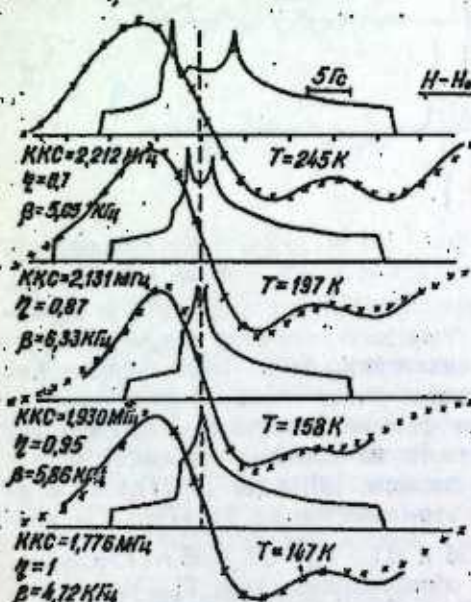


Рис. 2. Спектры ЯМР ^{71}Ga в поликристалле $TlGaSe_2$ при различных температурах ($\nu_0=24,23$ МГц).

На рис. 3 приведены спектры ЯМР ^{71}Ga в монокристалле $TlGaSe_2$ при различных ориентациях магнитного поля (H_0) относительно кристаллографических осей при $T = 290$ К. Для ориентации тензора ГЭП относительно этих осей использовались теоретические зависимости квадрупольных расщеплений первого ($F^{(1)}$) и второго ($F^{(2)}$) порядков от ориентации магнитного поля в виде несколько отличающегося от приведенного в [7]:

$$F^{(1)} = \nu_0 [2 - 3(\gamma_1^2 + \gamma_2^2) + \eta(\gamma_1^2 - \gamma_2^2)] \quad (2)$$

$$F^{(2)} = \frac{R}{6\nu_0} \left\{ -\frac{3}{8} [F^{(1)}]^2 - \frac{3-\eta^2}{2} (\gamma_1^2 + \gamma_2^2) - \eta(\gamma_1^2 - \gamma_2^2) + \frac{9-\eta^2}{6} \right\},$$

13

где T_1, T_2 — направляющие косинусы H_0 относительно осей тензора ГЭП. Сопоставление (2) с экспериментально наблюдаемыми при различных температурах расщеплениями линий в спектрах ЯМР ^{11}Ga с учетом значений константы квадрупольной связи и параметра асимметрии, полученных из спектров ЯМР в поликристалле, приводит к следующей ориентации осей

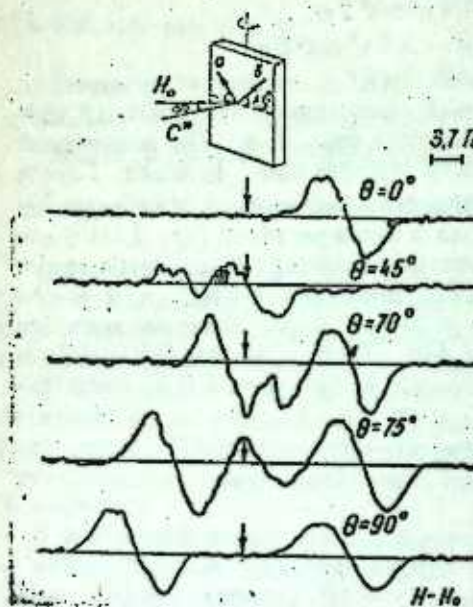


Рис. 3. Угловая зависимость спектров ЯМР ^{11}Ga в монокристалле TiGaSe_2 при комнатной температуре ($\nu_c=25,04$ МГц).

тензора ГЭП. В высокотемпературной фазе [8] ($T > 247,5$ К) главная ось (q_{zz}) в малом тетраэдре GaSe_4 [9] составляет угол 44° с осью C^* . Оси q_{xx} и q_{yy} расположены под углом 22° с направлениями $a\sqrt{2}$ и $b\sqrt{2}$ (с параллельными нижнему и верхнему ребрам большого полидра $\text{Ga}_4\text{Se}_{10}$), соответственно (обозначения направлений аналогичны [9]). Такая ориентация тензора ГЭП не может быть объяснена при учете только первой координационной сферы, состоящей из атомов селена. Ближайшим соседом (из второй координационной сферы) Ga одного из верхних (нижних) малых тетраэдров полидра $\text{Ga}_4\text{Se}_{10}$ является, согласно [9], атом Tl_2 (Tl_4) из нижних (верхних) таллиевых цепочек. При этом расстояние Tl_2 (Tl_4)—Ga приблизительно равно $3,93 \text{ \AA}$, а Tl_1, Tl_2 —Ga и Tl_3, Tl_4 —Ga $4,35 \text{ \AA}$. Очевидно, что спиновое обменное взаимодействие с образованием связи $\text{Tl}—\text{Me}$ с участием d -орбиталей Ga ($d^{10}sp^2$) и Tl (dsp^2) имеет место и в TiGaSe_2 . Наличие такой связи и определяет ориентацию тензора ГЭП в тетраэдре GaSe_4 . При этом Tl_2 (Tl_4) оказывается связанным одновременно с двумя атомами Ga из двух соседних полидров $\text{Ga}_4\text{Se}_{10}$, образуя димер.

Направление главной оси тензора ГЭП и изменением температуры в среднем остается неизменным. Система же осей q_{xx}, q_{yy} при $T = 150$ К оказывается повернутой относительно своего положения в высокотемпературной фазе на 35° , причем в интервале $247,5$ — 217 К эти оси пересекают плоскости $a\sqrt{2}, C^*$ и $b\sqrt{2}, C^*$ («точки» соразмерности), соответственно угол между q_{xx}, q_{yy} и направлениями $a\sqrt{2}$ и $b\sqrt{2}$ в низкотемпературной фазе становится приблизительно равным 13° (22° — в высокотемпературной

фазе). С учетом данных [8] можно предположить, что эволюция структуры TiGaSe_2 в области 290 — 105 К связана с последовательностью фазовых переходов между пиннингованными соразмерными состояниями («точками» соразмерности), каждое из которых соответствует расположению осей q_{xx} и q_{yy} в плоскостях $a\sqrt{2}, C^*$ и $b\sqrt{2}, C^*$, соответственно. Происходит колебания осей q_{xx} и q_{yy} тензора ГЭП вокруг оси q_{zz} с последовательным по температуре уменьшением амплитуды колебаний.

Наличие двух мягких оптических мод при $T < 250$ К [2] коррелирует с существованием в TiGaSe_2 двух фактически неэквивалентных атомов $\text{Tl}_1 : \text{Tl}_2$ (Tl_4) и Tl_3 (Tl_4). При этом за возникновение спонтанной поляризации должны быть ответственны смещения атомов таллия в цепочках Tl_1-Tl_2 (Tl_3-Tl_4). Смещения $\text{Ga}_4\text{Se}_{10}$ относительно цепочечной подрешетки являются антиполярными, так как Tl_2 —Ga и Tl_4 —Ca образуют димеры, результирующий дипольный момент которых равен нулю. Согласно [10], существенный вклад в сегнетоэлектрическую неустойчивость TiGaSe_2 вносит деформационная неустойчивость $\text{Ga}_4\text{Se}_{10}$. При этом возникновение спонтанной поляризации связывается с искажением расположения атомов Ga в

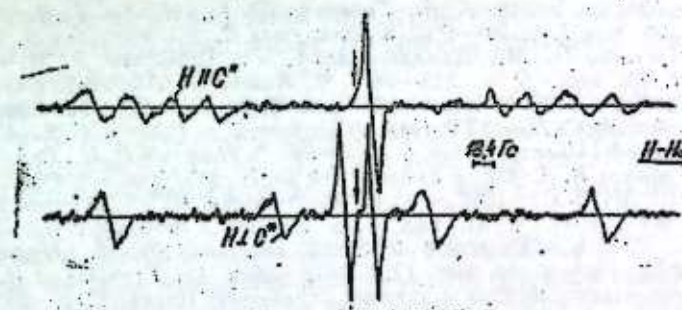


Рис. 4. Сателлитная структура в спектрах ЯМР ^{11}Ga в монокристалле TiGaSe_2 при комнатной температуре ($\nu_c=25,04$ МГц).

$\text{Ga}_4\text{Se}_{10}$ при $T < 120$ К. В ориентации $H \parallel C^*$ линия ЯМР ^{11}Ga в спектре монокристалла, соответствующая переходам $1/2 \leftrightarrow -1/2$, является одиночной (рис. 4). В то же время эффекты первого порядка в этой ориентации магнитного поля представлены не одной, а четырьмя парами сателлитов. Аналогичная ситуация наблюдается и в ориентации $H \perp C^*$ (на рис. 4 приведена только часть спектра в $H \perp C^*$). Таким образом, нарушение симметричной координации атомов Ga имеет место и при комнатных температурах.

Аномальное поведение одной из мягких мод, зарегистрированное в [2], начиная с 200 К и ниже, по-видимому, связано с ее взаимодействием с колебаниями либрационного, либо трансляционного типа и коррелирует с изменением наклона температурной зависимости частоты ЯКР в области 200 — 217 К.

Корреляционный анализ зависимости $\eta = f\left(\frac{1}{q_{zz}}\right)$ показал, что при $T > 247,5$ К $—\eta = -4,697 + 0,371(1/q_{zz})$, с параметром корреляции 92%. Учитывая, что $\eta = \left|\frac{q_{yy}-q_{xx}}{q_{zz}}\right| = 1 - \frac{2q_{yy}}{q_{zz}}$, получим: $q_{yy} = 2,84 q_{zz} -$

$-0.18 \cdot 10^{23}$ (ед.) и $q_{xx} = -3.84 q_{zz} + 0.18 \cdot 10^{23}$ (ед.). Откуда видно, что компоненты тензора ГЭП содержат член не зависящий от температуры, т. е. наблюдается разделение вкладов в ГЭП от первой координационной сферы и от остальных дальних сфер (решеточный вклад). Наблюдающую зависимость частоты ЯКР от температуры следует связывать с влиянием поларической акустической волны (TA -моды, в отличие от LA , дают большой вклад в температурную зависимость ККС [11]). В противном случае (взаимодействие ГЭП с либрационной модой) коэффициент линейной зависимости $q_{zz}(T)$ имел бы отрицательное значение.

Резюмируя вышесказанное можно прийти к следующему заключению. Связь $Tl-Me$, обнаруженная ранее [5] в цепочечных кристаллах $TlMe_x$, играет существенную роль и в слоисто-цепочечных кристаллах $TlGaSe_2$, приводя к образованию в структуре димеров и обеспечивая перераспределение энергии решеточных колебаний между анионным слоистым каркасом (полиэдры Ga_4Se_{10}) и таллиевыми цепочками, а также взаимодействию параметров порядка.

Литература

1. Волков А. А., Гончаров Ю. Г., Козлов Г. В.—Письма в ЖЭТФ, 1983, т. 37, вып. 11, с. 517—520.
2. Волков А. А., Гончаров Ю. Г., Козлов Г. В.—Письма в ЖЭТФ, 1984, т. 39, вып. 7, с. 293—294.
3. Вахрушев С. Б., Жданова В. В., Киятковский Б. Е., Окунева Н. М., Аллахвердиев К. Р., Сардарлы Р. М.—Письма в ЖЭТФ, 1984, т. 39, вып. 6, с. 245—247.
4. Алиев В. А., Алджанов М. А., Алиев С. И.—Письма в ЖЭТФ, 1987, т. 45, вып. 9, с. 418—420.
5. Мороз Н. К., Мамедов Н. Т., Габуда С. П.—ФТТ, 1989, т. 31, вып. 5, с. 1321—1325.
6. Абрагам А., Ядерный магнетизм.—М: Иностр. литер, с. 1963—551.
7. Плетнёв Р. Н., Сидоров А. А., Зенцов В. П., Губанов В. А., ЯМР и сверхтонкие взаимодействия в твердых телах.—Свердловск: УНЦ АН СССР, 1986.—145 с.
8. Мамедов Н. Т., Крупников Е. С., Панич А. М.—ФТТ, 1989, т. 31, вып. 1, с. 290—292.
9. Mässer D., Hahn H.—Z. anorg. Chem., 1978, v. 438, p. 258—272.
10. Бурлаков В. М., Нуров Ш. А., Рябов А. П.—ФТТ, 1988, т. 30, вып. 12, с. 3618—3620.
11. Гречишник В. С. Ядерные квадрупольные взаимодействия в твердых телах.—М: Наука, 1973.—264 с.

Н. Т. Мамедов

ЛАЙЛЫ-ЗЭНЧИРВАРЫ $TlGaSe_2$ -ДЭ ЕСГ ТЕНЗОРУ ВЭ НУВЭЛЭРИН СПИН ЭЛАГЭ ГАРШЫЛЫГЛЫ ТЭСИРИ

Мөгөлэдэ нувэ-магнит резонанс (NMR) методу илэ 140—330К температур интервала $TlGaSe_2$ -дэ ^{69}Ga и ^{71}Ga биринчи вэ иккинчи төртий квадруполь эффекти тадгиг олуулушдур. Йүксөл ($T > 247.5$ К) вэ ашагы ($247.5 < T < 140$ К) температурлу фазаг ларда квадруполь работээн сабиги, ассиметрија параметри вэ электрик саңсан градиенти (ЕСГ) тензорону вэнилжэти та'жин олуулушдур. Лайвары анион вэ зэнчирвары катион $TlGaSe_2$ алтгээфэс гатлары арасында $Tl-Ga$ работасини мөвчдүй олдугу көстэрилишидир. Ардычыл фаза кечидлэри истигчэснэдэ альчүлээрүзлашижай инфраттурулушлар јаримасында бу работасини ролу вэ низам параметрларини физики мэ'насы музакира олунур.

Н. Т. Mamedov

EFG TENSOR AND SPIN EXCHANGE NUCLEAR INTERACTIONS IN $TlGaSe_2$ LAYER-CHAIN CRYSTAL

The first and second order quadrupole effects on ^{69}Ga and ^{71}Ga at 140—330 K has been investigated and NMR-method. The quadrupole constant, asymmetry parameter and EFG tensor orientation were determined in high ($T > 247.5$ K) and low temperature ($147.5 < T < 140$ K) phases. The $Tl-Ga$ bond is shown to exist between the layered anion and chain cation sublattices. The role of $Tl-Me$ bond in successive phase transitions with the formation of incommensurate superstructures and physical meaning of the order parameters has been discussed.

ФИЗИКА ПОЛУПРОВОДНИКОВ

ДВУХМОДОВЫЙ ХАРАКТЕР ПОЛНОСИММЕТРИЧНЫХ ФОНОНОВ В ТВЕРДЫХ РАСТВОРАХ $TlSe_x S_{1-x}$

(Представлено академиком АН Азербайджанской ССР М. Г. Шахтахтинским)

Известно, что спектры комбинационного рассеяния света (КРС) твердых растворов полупроводников соединений $TlSi_x S_{1-x}$ с цепочечной структурой проявляют смешанное одно- и двухмодовое поведение для зависимости частот фонаов от состава x (1). В частности, из полученных КРС измерений зависимостей частот фонаов от состава x было установлено, что высокочастотные полносимметричные фононы A_{1g} проявляют двухмодовый характер в системах $TlSe_x S_{x-1}$ (1).

В данной работе теоретически исследован фоновый спектр твердых растворов $TlSe_x S_{1-x}$ с методом функции Грина в приближении когерентного потенциала (ПКП) (2, 3). При этом определяется как зависимость частоты полносимметричного фона A_{1g} , так и уширение этих фоновых состояний от состава x .

Вкратце изложим математические основы ПКП (3).

Если система возмущена изотопическим дефектом замещения, для диагонального неупорядочения потенциал возмущения V_{ii} имеет вид:

$$V_{ii} = \omega^2 (m_i^0 - m_i) = -\omega^2 \Delta m_i, \quad (1)$$

где m_i^0 —масса атома i -го узла основной решетки, m_i —масса примесного атома.

Недиагональным неупорядочением—изменением силовых констант будем пренебрегать.

Функции Грина G_0 и G невозмущенного и возмущенного кристалла связаны уравнением Дайсона:

$$G = G_0 + G_0 V G. \quad (2)$$

Введем теперь T -матрицу посредством равенства:

$$G = G_0 + G_0 T G_0. \quad (3)$$

Из (2) и (3) имеем:

$$T = V[1 - VG_0]^{-1}. \quad (4)$$

Разлагая уравнение (3) по узлам i и j , получим:

$$G^{ij} = G_0^{ij} + G_0^{ik} t_{kk} G_0^{kj} + G_0^{ik} t_{kk} G_0^{je} t_{ee} e_{ek} G_0^{ej} + \dots$$

где

$$t_{kk} = \frac{V_{kk}}{1 - V_{kk} G_0^{kk}},$$

t_{kk} —элементы матрицы T .

Будем рассматривать некоторую конкретную (r)-вида конфигурацию

расположения атомов замещения как возмущение идеального кристалла, у которого подрешетка A занята фиктивными атомами с искомой массой m . Пусть $G_{(r)}$ —функция Грина, описывающая (r) -вида реализацию раствора, а G_0 —фиктивного кристалла. В фиктивном кристалле i -ый узел подрешетки A занят атомом замещения с массой m и это отражается на эффективном возмущении следующим образом:

$$t_{ii}^{(r)} = \frac{V_{ii}}{1 - V_{ii} G_0^{(r)}},$$

где

$$V_{ii} = \omega^2 (m - m_i). \quad (5)$$

Следовательно, имеем:

$$G_{(r)} = G_0 + G_0 t_{kk}^{(r)} G_0 + \dots \quad (6)$$

В случае неупорядоченных систем рассматривается среднее (по всевозможным видам реализации распределения атомов в растворе) от функции Грина G . Согласно (3), это эквиваленто вычислению среднего значения T -матрицы, так как по определению G_0 не зависит от процедуры усреднения:

$$\langle G_{(r)} \rangle = G_0 + G_0 \langle t_{kk}^{(r)} \rangle [G_0 + \dots] \quad (7)$$

Суть ПКП заключается в том, что функция $\langle G_{(r)} \rangle$ определяется для фиктивного кристалла самосогласованным образом как

$$\langle G_{(r)} \rangle = G_0, \quad (8)$$

из условия

$$\langle t^{(r)} \rangle = 0. \quad (9)$$

Условие (9) является приближением КП.

Плотность фононных состояний $\rho(\omega)$ определяется через функции Грина следующим образом [2]:

$$\rho(\omega) = -\frac{2\omega}{\pi} I_m |S_p(MG)|, \quad (10)$$

здесь M —матрица массы атомов.

Частоты ω фононного спектра твердых растворов (возмущенная решетка) определяются из решения уравнения (2):

$$|I - VG| = 0.$$

Таким образом, решение поставленной задачи при выполнении условия (9) сводится к нахождению функции Грина (8).

Расчет функции G_0 требует решения задачи о динамике рассматриваемой идеальной решетки. Поэтому предварительно решена задача о динамике решетки $TlSe$ в модели силовых постоянных (4). При этом для описания межатомных взаимодействий использовался центральный парный (5), в результате чего число силовых констант сильно уменьшается. В этом приближении каждому расстоянию a^n соответствует два силовых параметра α_{ee}^n и β_{ee}^n , которые называют соответственно центральным и нецентральным для n -го расстояния между атомами e и e' .

Учитывая всевозможное многообразие связей в $TeSe$ были введены 8 нанократчайших расстояний, максимальное значение их ограничивалось $4,16 \text{ \AA}$.

Путем подгонки к результатам экспериментов по КР- и ИК-спектрам и данным нейтронографических измерений [1, 6] были определены параметры модели.

Далее, была рассчитана плотность фононных состояний для $TeSe$. На рассчитанной кривой $\rho(\omega)$ в области частот $\omega \sim (120 \div 190) \text{ cm}^{-1}$ проявляется хорошо изолированная фононная зона с симметрией A_{1g} . Исходя из этого факта, а также ради простоты, в расчетах ПКП для $TeSe_xS_{1-x}$ рассматривалась только зона A_{1g} .

Пользуясь симметризованным смещением (7), нетрудно найти спектр фононной ветви A_{1g} в $TeSe$:

$$\omega_{A_{1g}}^2 = \frac{K_0}{m} + \frac{2K_1}{m} \cos \frac{c\kappa_z}{2} \cos \frac{a}{2} (\kappa_x + \kappa_y), \quad (11)$$

где $m = m_{Se}$; a , c —длина тетрагональных осей в ячейке; κ_x , κ_y , κ_z —декартовые компоненты волнового вектора фонона.

Значения $K_{00} = K_0(x=0)$ и $K_{01} = K_0(x=1)$ определяются положениями пиков в $\rho_{A_{1g}}$ ($\sim 160 \text{ cm}^{-1}$ для $x=0$ и $\sim 280 \text{ cm}^{-1}$ для $x=1$), а значение K_1 —из полуширины ($\sim 30 \text{ cm}^{-1}$) кривой плотности фононных состояний зоны A_{1g} , полученной из эксперимента по неупругому рассеянию нейтронов в $TeSe$ [6].

Для различных составов x значения K_0 оценивались по формуле:

$$K_0(x) = x K_{01} + (1-x) K_{00}.$$

Найденные значения постоянных K_0 и K_1 в единицах а. е. м cm^{-2} следующие: $K_{00} = 2,51 \cdot 10^6$; $K_{01} = 2,02 \cdot 10^6$; $K_1 = 4,15 \cdot 10^5$.

Чтобы провести расчет $\rho(\omega)$ твердых растворов $TeSe_xS_{1-x}$, выпишем функцию Грина G_0 фононной зоны A_{1g} для подрешетки Se :

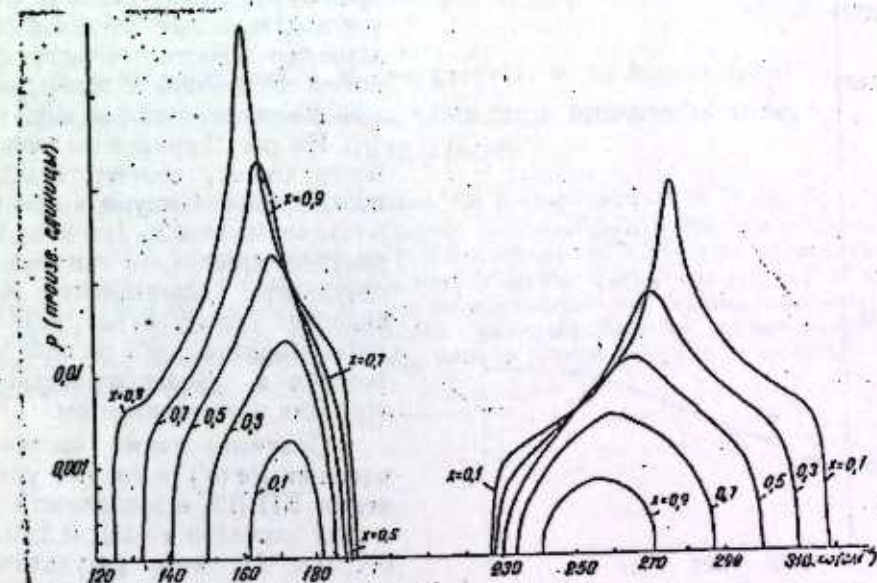


Рис. 1. Плотность фононных состояний зоны A_{1g} для различных концентраций x .

$$G_0 = \frac{1}{m} \sum_k \frac{1}{\omega^2 - \omega_m^2(k) Y}, \quad (12)$$

где $Y = \bar{m} / \bar{m}$, $\bar{m} = xm_{Se} + (1-x)m_S$. Частота ω_m^2 , входящая в G_0 , определяется из (7), где массу m следует заменять массой \bar{m} .

Уравнение КП (9) для зоны A_{1g} имеет вид:

$$Y = 1 - \left(1 - \frac{m_{Se}}{m} Y\right) \left(1 - \frac{m_s}{m} Y\right)^{\omega^2} \sum_k \frac{1}{\omega^2 - \omega_m^2(k) Y}. \quad (13)$$

Нам нужно вычислить плотность фононных состояний для зоны A_{1g} :

$$\rho_{A_{1g}} = -\frac{2\omega}{\pi} \operatorname{Im}(\tilde{m} \tilde{G}(\omega)). \quad (14)$$

Решение уравнения (13) определяют \tilde{m} через Y . С учетом (12) выражение 14 примет вид:

$$\rho(\omega) = -\frac{2\omega}{\pi} \operatorname{Im} \left\{ \sum_k \frac{1}{\omega^2 - \omega_m^2(k) Y} \right\}. \quad (15)$$

Результаты расчета $\rho(\omega)$ приведены [на рис. 1 для составов $x = 0,1; 0,3; 0,5; 0,7; 0,9$.

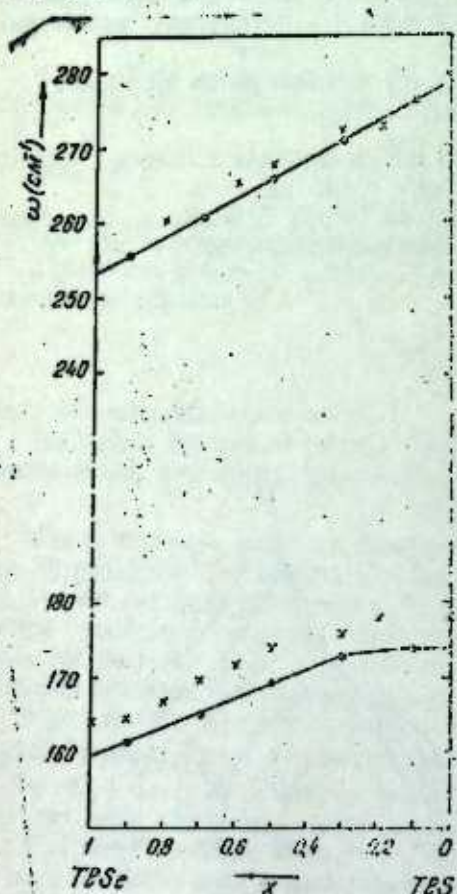


Рис. 2. Зависимости ω (x) для фононной зоны A_{1g}

Эти результаты дают нам информацию об уширении фононных состояний, которое с изменением x меняется в пределах зоны A_{1g} в области частот $120 \div 190 \text{ см}^{-1}$.

Литература

- Allakverdiev K. R., Nizametdinova M. A., Safarov N. Ya., Vodopyanov L. K., dna Gotulev L. V. Raman Scattering in Tl_xSe_{1-x} crystals.—Phys. Stat. Sol. (b), 1980, v. 102, № 2, p. K 117—K 120.
- Бетгер X. Принципы динамической решетки.—М.: Мир, 1986.—382 с.
- Bonneville R. Local-field effects and their optical properties of ternary semiconductor alloys. Phys. Rev 1981, v. 24, № 4, p. 1987—2003.
- Лейбфрид Г. Микроскопическая теория механических и тепловых свойств кристаллов.—М.—Л., 1963.—312с.
- Lehman G. W., Wolfram T., DeWames R. E. Axially symmetric model for lattice dynamics of metals with application to Cu, Al and ZrH_2 .—Phys. Rev., v. 129, № 4, p. 1593—1593.
- Вахрушев С. Б., Квятковский Б. Е. Окунева, Н. М., Аллахвердиев К. Р., Бахышов Н. А., Сардарлы Р. М., Иланитский П. Г. Кротенко В. Г., Слисенко В. И. Неупругое рассеяние нейтронов в $TlSe$.—ФТТ, 1984, т. 26, вып. 4, с. 1225—1228.
- Гусейнов Дж. А., Низаметдинова М. А. Теоретико-групповой анализ фононного спектра селенида таллина.—Изв. ВИЗ-ов СССР. Физика 1978, № 1, 145—147.

М. Э. Низаметдинова, С. М. Сейидрајева, В. І. Штейншрайбер

Бәрк $TlSe_xS_{1-x}$ мәйлүлларында там симметрияда малик фононларын икимодалы характеристи

Мәгәләдә зөнчирвары жарымкечирчи бирләшмәсі олан бәрк $TlSe_xS_{1-x}$ мәйлүлларында фонон спектри ғоңеरент потенциал жаһынлашмасында тәддиг едилмишdir. Там симметрияда малик A_{1g} фонону тезлижини вә һәмни фонон налларынын көншләймәсиппин х асылылығы тә'җин едилмишdir. Бу мәгәләдә ғөввәлчә $TlSe$ тәғәссиинин динамика мосаласи һәм олумыш вә мұхталиф х таркиблори учун фонон налларынын сыйлығы несабанныштырыл. A_{1g} зонасы учун фононларын тезлижини х асылылығынын икимодалы характеристи ашқар едилмишdir ки, бу да комбинацион спийләмәсі экспериментинә үзүн көлір.

M. A. Nizametdinova, S. M. Seld-Rzayeva, V. Ya. Shtainshraiber
TWO-MODE BEHAVIOR OF FULL-SYMMETRIC PHONONS IN $TlSe_xS_{1-x}$ SOLID ALLOYS

In the coherent potential approximation the phonon spectrum of $TlSe_xS_{1-x}$ solid semiconductor alloys with chain structure is investigated. The concentration dependences of A_{1g} full-symmetry phonon frequencies and broadening of these phonon states are determined. For this purpose first of all the lattice dynamic of $TlSe$ is considered within the framework of force constant model. For various concentrations the density of phonon states are calculated. Two-mode behavior phonon frequencies depending on x concentration for the A_{1g} band is observed, that is in agreement with experimental data on CS.

ВЛИЯНИЕ МАГНИТНОГО ПОЛЯ НА $1/f$ ШУМ В JnSb

В работе [1] исследовалось влияние магнитного поля на низкочастотные шумы в JnSb ($n_0 = 7 \cdot 10^{13} \text{ см}^{-3}$, $\mu_0 = 7 \cdot 10^3 \text{ см}^2/\text{В} \cdot \text{с}$) при 77° К. Для образцов, прошедших одинаковую обработку поверхности и имеющих одинаковую обработку поверхности и имеющих одинаковые геометрические размеры в области частот порядка нескольких сотен Гц, была обнаружена довольно резкая зависимость относительной спектральной плотности шума S_u/u^2 от величины индукции поперечного магнитного поля B , крутизна которой, особенно при $B > 0,5 \text{ Т}$, изменялась от образца к образцу. Полученные результаты авторы объясняли на основании модели, связывающей возникновение $1/f$ шума с флуктуациями подвижности носителей тока. Однако область частот, в которой снимались зависимости S_u/u^2 от B не для всех образцов соответствовала области преобладания $1/f$ шума.

В настоящей работе, на примере исследования зависимости S_u/u^2 от B при 80 К в образцах JnSb, имеющих различные значения концентрации примеси, показано, что в области $1/f$ шума ее крутизна определяется вкладом в подвижность полярного оптического рассеяния.

Исследовались образцы, изготовленные из монокристаллического материала, имеющего при 80 К концентрацию электронов $n_0 = (0,2 \div 2) \cdot 10^{14} \text{ см}^{-3}$ и их подвижность $\mu_0 = (3,0 \div 6,5) \cdot 10^3 \text{ см}^2/\text{В} \cdot \text{с}$. Операции [обработки поверхности и нанесения электрических контактов проводились аналогично описанным в работе [2]. Приклевые к сапфировым подложкам образцы помещались в измерительный криостат, который жестко закреплялся в зазоре между полюсами электромагнита. С целью устранения внешних наводок и нестабильности магнитного поля питание электромагнита осуществлялось от стационарного аккумулятора, а исследуемый шумовой сигнал усиливался предварительным усилителем с дифференциальным входом и коэффициентом подавления синфазных помех не менее 100 дБ. Для устранения влияния контактных явлений измерения проводились четырехконтактным методом. Измеряемая область образцов имела размеры $(3 \div 5) \cdot (0,2 \div 0,7) \cdot (0,01 \div 0,03) \text{ мм}^2$. Измерения коэффициента Холла R_x и удельного сопротивления ρ проводились непосредственно на двух-трех участках каждого образца. Гармонический анализ напряжения шумового сигнала в диапазоне частот $(3 \div 2 \cdot 10^4) \text{ Гц}$ проводился анализатором спектра аналогичным описанному в работе [3]. Погрешность определения S_u/U^2 не превышала 20%.

Измерения показали, что при $B > 0,05 \text{ Т}$ удельное сопротивления образцов, имеющих одинаковые геометрические размеры, возрастает приблизительно по линейному закону с увеличением B и это возрастание тем больше, чем выше значение μ_0 .

На рис. 1 приведены частотные зависимости относительной спектральной плотности шума трех типичных образцов Кр. 1—3 представляют реуль-

таты измерений S_u/u^2 в отсутствие магнитного поля а кр. 1'—3'—при приложении к образцам поперечного магнитного поля ($B = 1,02 \text{ Т}$). Как видно из рисунка, в области частот $3 \div 100 \text{ Гц}$ для всех образцов, независимо от наличия или отсутствия поперечного магнитного поля, преобладает спектр шума типа $1/f^\beta$, где коэффициент β близок к 1. На более высоких частотах значения показателя β в различной степени уменьшаются

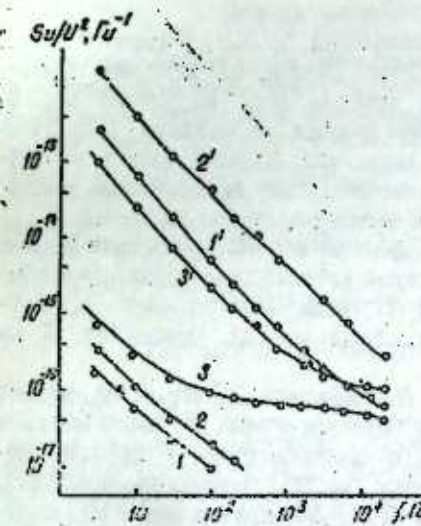


Рис. 1. Частотные зависимости S_u/u^2 :
1, 1'—обр. 13; 2, 2'—обр. 9; 3, 3'—обр.
11; 1—3— $B = 0$; 1'—3'— $B = 1,02 \text{ Т}$. μ_0 ,
 $\text{см}^2/\text{В} \cdot \text{с} \cdot 10^3$; 1—5,6; 2—6,4; 3—3,8. n_0 ,
 $\text{см}^{-3} \cdot 10^{13}$, 1—28; 2—14; 3—2,3.

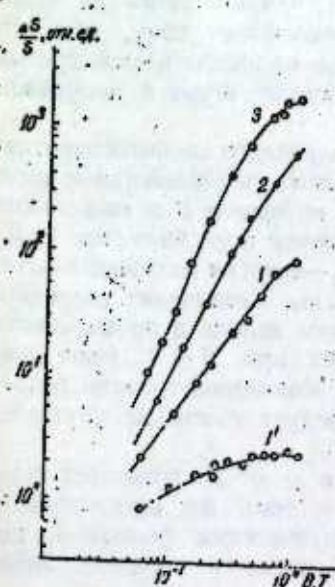


Рис. 2. Зависимости $\Delta S/S_0$ от B , f , Гц:
1—3—10 Гц; 1'—20 кГц. Обр. 1—№ II; 2—№ 13; 3—№ 9.

и спектр шума стремится к частотонезависимому, обусловленному, по видимому, генерационно-рекомбинационными процессами (кр. 3 и 3'). Видно также, что величина S_u/u^2 и частота перехода от $1/f$ спектра к частотонезависимому выше при приложении поперечного магнитного поля, чем в его отсутствие.

На рис. 2 приведены зависимости величины $\Delta S/S_0$ от B , для тех же образцов, определяемые аналогично работе (1) следующим образом:

$$\frac{\Delta S}{S_0} = \frac{(S_u/U^2)_B - S_u/U^2}{S_u/U^2},$$

где $(S_u/U^2)_B$ —значение относительной спектральной плотности шума при приложении поперечного магнитного поля, S_u/U^2 —то же в отсутствие магнитного поля.

Кр. 1—3 представляют результаты измерений $\Delta S/S_0$ на частоте 10 Гц, где преобладает 1/f шум, а кр. 1'—на частоте 20 кГц, на которой значительен вклад частотно-независимого шума (рис. 1). Как видно из рис. 2, при $B < 0,5$ Т зависимость $\Delta S/S_0$ от B более резкая в области 1/f шума и тем большая, чем выше значение μ_0 , то есть чем больше вклад в подвижность вносит полярное оптическое рассеяние. При дальнейшем увеличении B крутизна зависимости $\Delta S/S_0$ от B несколько уменьшается.

Относительно слабая зависимость $\Delta S/S_0$ от B обр. 11 на частоте 20 кГц по видимому, связана с преобладанием на этой частоте генерационно-рекомбинационного шума, который, как известно (4), возникает за счет флюктуаций концентрации носителей тока и при используемых значениях B не должен значительно изменяться.

Таким образом зависимость $\Delta S/S_0$ от B в области 1/f шума не может возникать из-за флюктуаций концентрации носителей тока в объеме образца.

Измерения, проведенные на образцах с полированной и проравленной поверхностью, а также на образцах различной геометрии показали, что крутизна зависимости $\Delta S/S_0$ от B при $B > 0,1$ Т практически не зависит от качества обработки поверхности и от отношения площади поверхности образца к его объему. Указанные факторы влияют лишь на величину S_u/U^2 в отсутствие магнитного поля, аналогично тому, как это показано в работе (2). Очевидно, и поверхностные процессы в исследуемых образцах не могут быть ответственные за возрастание шума в поперечном магнитном поле.

В работе (5) показано, что особенности поперечного магнитосопротивления в InSb при низких температурах обусловлена взаимодействием носителей тока с полярными оптическими фононами. В интервале B от нескольких сотых до нескольких десятых долей Тесла магнитное поле является сильным для электронов с энергией $\epsilon < h\omega_0$ (где $h\omega_0$ —энергия полярного оптического фонона) и слабым для электронов с $\epsilon < n\omega_0$. Увеличение удельного сопротивления ρ с ростом B связано с уменьшением вклада в проводимость доли электронов с $\epsilon < h\omega_0$, который преобладает при $B = 0$. Изменение концентрации примеси (подвижности μ_0) ведет к изменению времени релаксации электронов с энергией $\epsilon < h\omega_0$, откуда следует изменение крутизны зависимости $\rho(B)$.

Качественная схожесть зависимостей $\Delta S/S_0$ и ρ от B позволяет заключить, что их поведение обусловлено одними и теми же процессами и взаимодействие носителей тока с полярными оптическими фононами, по-видимому, существенно влияет на уровень 1/f шума в образцах InSb, помещенных в поперечное магнитное поле.

Литература

1. Vande Voorde P., Luvé W. F.—Phys. Rev., v. 24, №8, 1981, p. 4781—4786.
2. Алекперов С. А., Гусейнов Н. Я., Каджар Ч. О., Салаев Э. Ю.—ФТП, т. 10.

1986 вып. 8, с. 1549—1551. 3. Алекперов С. А., Каджар Ч. О., Мамедов Э. Ю.—ПТЭ, №2, 1979, с 107—109. 4. Van der Ziel. Флюктуационные явления в полупроводниках.—Н.: Иностр. лит., 1961—217 с. 5. Аскеров, Б. М.—Электронные явления переноса в полупроводниках.—М.: Наука, 1985.—320 с.

НИИ фотозелектроники

Поступило 9. VI 1989

С. А. Алекперов, Ч. Э. Гачар, Ч. Ф. Кенгерли

InSb-да магнит саңасини 1/f күйүнө тә'сири;

Мэгалауда ашгарларын концентрациясы мұхталиф олар InSb монокристалл ишмегендегі күйүн ишеби спектрал сыйхығынын S_u/U^2 80 К температуралық ($3 + 2 \cdot 10^4$ Гц) ве синий магнит саңасинин индукциясындан ($0 + 1,05$ Т) асылылығы өлчүлүшпүшдүр. 1/f күйүн областында S_u/U^2 -нын В-дән асылылығы мүэйжөн едилмишdir ве бу асылылығы ашгарларын концентрациясы азалдыгча даһа кәсқын олур. Көстәрмелишdir! ки, В-ниң гијмоти чохалдыгча S_u/U^2 -нын артмасы дашиычыларын поляр оптик фононларла гарышылығы тә'сири илә алагәздәрдир, сәттин вәзијәти исә 1/f күйүн сөвијесине аңчаг зәиф магнит саңаларында тә'сир едир.

S. A. Alekperov, Ch. O. Qajar, J. F. Kengerly

INFLUENCE OF MAGNETIC FIELD ON 1/f NOISE IN InSb

Measurements of noise relative spectral density S_u/U^2 dependence on frequency ($3 + 2 \cdot 10^4$ Hz) and transverse magnetic field ($0 + 1,02$ T) are presented for single-crystal samples of InSb with various impurity concentration at 80 K. It was found that S_u/U^2 depends on B and this dependence became sharper with reducing impurity concentration. It is shown that S_u/U^2 increasing with increasing B is due to interaction between current carriers and polar optical phonons; surface effects on 1/f noise only in low magnetic fields.

М. Б. КЕРИМБЕКОВ, А. А. РУМЯНЦЕВ, Е. В. ОРЛЕНКО

О ТОНКОЙ СТРУКТУРЕ СОЛНЕЧНОЙ ПОВЕРХНОСТИ. II.

(Представлено академиком АН Азербайджанской ССР Н. А. Гулиевым)

4. Столкновение заряженной частицы с МГД-ударным фронтом конечной толщины

Ускорение заряженных частиц ударными фронтами привлекает пристальное внимание исследователей [1, 2]. Особенно важным этот механизм представляется для объяснения генерации космических лучей. Однако принцип ускорения, если он правильно понят, весьма существен и для прикладных целей в условиях так называемой лабораторной плазмы.

Если ускорение на самом ударном фронте происходит в соответствии с сохранением адиабатического инварианта, то торможение частицы в неизбежно следующей за фронтом волне разрежения в значительной мере гасит эффект ускорения, так что результирующий набор энергий имеет второй порядок по относительной амплитуде изменения магнитного поля на фронте.

В целом в картине ударной турбулентности темп ускорения частиц оказывается таким же, как и в случае известного механизма Ферми, т. е. создается эффект второго порядка. Такого уровня чаше всего недостаточно, чтобы объяснить эффект генерации быстрых частиц в естественных условиях [3]. Поэтому представляется необходимым исследовать все возможные эффекты «неадиабатичности» набора энергии частиц на фронте. Исследование такого рода эффектов выполнено в работах [3—5]. Цель этой статьи—исследование эффектов ускорения частиц в солнечных вспышках.

Рассматривается движение на фронтах быстрых частиц, длина пробега которых существенно превышает толщину фронта и больше линейных размеров всей области возмущения. Это могут быть частицы предварительно ускоренные (инъектированные), либо частицы с периферии максвелловского распределения по энергии.

Исходим из представления о хаотической системе ударных волн с одинаковыми амплитудами изменения в них магнитного поля средним расстоянием между фронтами.

С учетом потерь энергии в волнах разрежения (эти потери происходят в соответствии с сохранением радиабатического инварианта) полное приобретение энергии при пересечении частицей всей области возмущения

составит величину (см. [5]):

$$\Delta \epsilon_0 = 2\epsilon_0 - \epsilon_0 = \epsilon_0 = \frac{\Delta H}{H} \quad (1)$$

При этом усредненный темп приобретения энергии равен:

$$\dot{\epsilon} = \epsilon \cdot \frac{\Delta H}{H} \cdot \frac{U}{e} \quad (2)$$

Мы приходим к выводу о возможности механизма ускорения на ударных фронтах, при котором эффект ускорения первого порядка по амплитуде изменения напряженности поля. Это следствие неадиабатического поведения частиц на фронтах ударных волн. Причем указанный эффект в целом не зависит от того, имеются или нет магнитные рассеивающие неоднородности [4, 5].

Обозначим $n(\epsilon)$ —функцию распределения ускоренных частиц, т. е. число частиц, рассчитанное на единичный интервал их энергии. Обозначим—эффективное время «выхода» частиц из области ускорения. Тогда в стационарных условиях имеет место следующее уравнение кинетики (для случаев нерелятивистских частиц):

$$\frac{2}{5} \cdot \epsilon \cdot \frac{dn}{d\epsilon} + \frac{n}{\tau} = 0, \quad (3)$$

Если проинтегрировать обе части этого уравнения по энергии, предварительно умножив на статистический вес $\sqrt{\epsilon}$, то придем к уравнению для средней энергии $\bar{\epsilon} = \epsilon \cdot \frac{u}{l} \cdot \frac{\Delta H}{H}$, которые удовлетворяется, если время выхода частиц $\tau = \frac{l}{v}$; $v = u \frac{\Delta H}{H}$ —гидродинамическая скорость движения частиц газа за фронтом. Такой выход может быть обусловлен нагревом газа фронтами до уровня температуры $T_0 \left(1 + O\left(\frac{\Delta H}{H}\right)^2\right)$. Повышения ΔT обусловлены так называемым остаточным нагревом в волнах разрежения (6). Соответствующий градиент давления создает течение газа к периферии области турбулизации, уносящее и ускоренные частицы.

Положим в (3) $n(\epsilon) = C \cdot \epsilon^{-\gamma}$, тогда получим показатель дифференциального спектра $\gamma = 2.5$.

Во время солнечных вспышек в солнечной атмосфере создается ударные волны, которые вследствие неоднородных условий распространения могут образовать рассеянные (и отраженные) ударные фронты. В целом создается картина ударной, хотя и относительно слабой по интенсивности, турбулентности, в которой, например, $\Delta H = \left(\frac{1}{3} \div \frac{1}{10}\right) \cdot H$. Положим $l = 5 \cdot 10^7$ см, равной высоте однородной атмосферы, $v = 3 \cdot 10^7$ см $\times c^{-1}$ скорости звука в ней, тогда длительность ускорения $\tau = 10 \frac{l}{u} = 15^3$,

что вполне удовлетворительно объясняет длительность фазы вспышечной генерации быстрых частиц. Энергия частиц нарастает при этом со временем по экспоненциальному закону. Как мы показали, энергетический спектр ускоренных частиц является степенным.

Другим механизмом ускорения может быть ускорение заряженных

частиц электрическим полем \vec{E} , возникшим в соответствии с законом индукции Фарадея из-за переориентации (6) за $\tau = 15 \div 30$ с магнитного поля (м. п.); например, в явлениях, связанных с поглощением одной солнечной порой ($H = 10^2$ Э) другой порочки с противоположной ориентацией м. п. ($H_1 < H$), происходит переориентация м. п. поры с выделением энергии в виде энергии ударных волн и ускоренных частиц. Переориентация м. п.; малой порочки обусловлена условием устойчивости системы при минимуме спинового гамильтониана \hat{H}_s . Действительно, $\hat{H}_s = -NS^2$ (6). Из формулы

видно, что \hat{H}_s по абсолютной величине растет (а значение \hat{H} уменьшается), если число N магнитных моментов, направленных в одну сторону, растет. Здесь S —модуль спинового момента. Индуцированные поля могут достигать значений $E = U/C\tau = 100$ В при $|\vec{H}| = 2 \cdot 10^3$ Э; $l = 3 \cdot 10^3$ см, $\tau = 15 \div 30$ с; $G = 3 \cdot 10^{10}$ см/с. А скорости—значений $V = 10^8 \div 10^9$ см/с.

Известно, что магнитные [трубки разной полярности отталкиваются, ибо токи, образующие их, в соседних точках текут в одном направлении.

Однако при длительных наблюдениях могут быть зафиксированы редкие случаи их сближения из-за перемещивания потоков в плазме. Столь длительные киносъемочные работы ($T > 5^h$) проводились в ШАО АН Аз. ССР в 70-е годы, подобных стратосферных наблюдений не было. Сближения пор ($i j$) могут быть обнаружены только при весьма точных дифференциальных измерениях боковых движений Δr . Эти сближения не

Таблица боковых смещений

| | $\Delta: 3-4$ gem | $2-4$ | $2-3$ | $2-5$ | |
|-----|-------------------|-----------------|-----------------|-----------------|-----------------|
| I. | I Кадр | 2.91 ± 0.03 | 7.65 ± 0.03 | 4.72 ± 0.03 | 2.77 ± 0.14 |
| | 145 K. | 2.94 ± 0.04 | 7.77 ± 0.03 | 4.64 ± 0.03 | 2.30 ± 0.03 |
| | | $N 21-22$ gem. | $22-23$ | $23-27$ | $23-33$ |
| II | I серия | 14.27 | 2.17 | 33.30 | 17.22 |
| | II серия | 14.30 | 2.20 | 33.33 | 17.22 |
| | | $N 1-2$ gem. | 2-3 | 7-8 | |
| III | I серия | 1.50 | 4.03 | 2.10 | — |
| | II серия | 0.95 | 4.66 | 1.60 | — |
| | | | | | 51 ^m |

всегда приводят к нестационарным процессам, но если при этом в данной области возникает „Ус“, то можно утверждать, что полярность этих крошечных ($d < 0.4$) пор является противоположной. Длительные наземные наблюдения в связи с этой задачей затруднены из-за влияния земной атмосферы и необходимостью его ослабления. С этой целью предлагается следующий метод. Суть метода (см. [8]) заключается в следующем. Ввиду того, что многолетние наблюдения Н. Ф. Купревича (9) говорят о наличии в дрожаниях изображения точечных объектов высоких частот до 1000 Гц, то для уменьшения искажений следует при наблюдениях пор применять скоросинюю

киносъемку, например, с помощью СКС-кинокамер или же телевизионные (ТВ) сканирование с помощью ТВ установок (ПТУ). Последние, как показывает опыт их эксплуатации в ШАО, позволяют производить необходимую пространственную фильтрацию и контрастирование изображения. Для наблюдения же „Ус“ необходим И. П. Ф.—фильтр (Hale) с перестраиваемой за 5 с полосой. Следует учесть и следующее: так как скорости взаимных перемещений V из-за диполь-дипольного взаимодействия двух моментов по Паркеру (см. [6]) не превышают $V_b = 6$ км/с = $\frac{H}{\sqrt{4\pi\rho}}$ при $|H| = 10^2$ Э,

то точность ΔV должна быть ~ 6 км/с; здесь ρ —средняя плотность в поре, \bar{V} —средняя скорость сближения по высоте. Из таблицы следует, что эта методика дает необходимую точность: $\Delta V = 0.5$ км/с. Детали, подлежащие измерению, следует выбирать из областей с характерными размерами замыкания $3''-5''$ [8]. Выбор малых зон диктуется следующими соображениями:

а) тенденция к сближению может достоверно определяться лишь на малых расстояниях;

б) только при этом происходят синхронные колебания изображения (8), которые не сказываются на результатах дифференциальных измерений Δr ;

в) ошибки в величинах V из-за перспективного сокращения при $\Delta r \rightarrow 0$ малы.

Точность измерения Δr весьма высока (см. первые три строчки). Здесь приводятся среднеквадратичные значения ошибок.

Отметим, что аппаратная функция метода, найденная из измерения одного кадра, составляет $0''.2$ (данные ЭВМ обработки в статической лаборатории МГУ). Приводимые величины относятся к деталям с низким контрастом $\frac{\Delta I}{I} = 3.5\%$ (в среднем). Если взять поры с контрастом в $\frac{\Delta I}{I} = 20\%$, то угловое разрешение Δr растет.

В I столбце указаны N фильмов; во втором столбце—для I-го фильма N измеренных кадров; для последующих фильмов— N серий, где проводились измерения ($\Delta r''$). В последнем столбце—соответствующие интервалы времени. В 1, 4, 7, 10 строках—номера деталей $i j$, под ними Δr в секундах дуги.

По фильмам, снятым в разное время, взаимные расстояния не изменились в пределах ошибок за $\Delta t^{\max} = 2^h = 30^m$. Однако в это время наблюдения усов не проводились.

В заключение авторы благодарят участника семинара А. З. Долгинова за ценные советы.

Литература

1. Bell, A. R. Particle Acceleration by Shock and MHD Waves.—Ap. J., 1978, vol. 182, № 1, p. 167—169. 2. Дорман Л. И. Ускорительные процессы в космосе в сб.: Итоги науки, сер. Астрономия, вып.—М.: ВИНИТИ, 1972, с. 5—112. 3. Румянцев А. А.—Ускорение заряженных частиц МГД ударными волнами в околосолнечной плазме Phys. Solarterr., 1978, № 6, с. 85—87. 4. Гуревич Л. Э., Румянцев А. А. Ускорение релятивистских частиц сверхвысоких энергий.—ЖЭТФ, 1980, т. 72, № 3, с. 261—270. 5. Румянцев А. А., Чирков А. У., Неадиабатические эффекты ускорения частиц МГД-ударной турбулентностью.—ЖТФ, 1983, т. 53, № 7, с. 1261—1267. 6. Румянцев А. А., Керимбеков М. Б., Мануйлов К. В. О волнах в фотो-

сфере Солница П.—Докл. АН АзССР, 1985, т. 1, №1, с. 3—5. 7. Керимбеков М. Б. Применение метода киносъемки при исследованиях Солнца.—Солн. данные, 1960, №9, с. 66—70. 8. Керимбеков, М. Б. Влияние земной атмосферы на изображения Солнца. В сб.: Труды совещания по мерцанию звезд.—М: Наука 1959, с. 85—86. 9. Купревич, Н. Ф. Телевизионные наблюдения мерцания звезд. М.: Наука, 1959, с. 23—29.

ШАО АН АзССР

Поступило 25.VII.1989

М. Б. Керимбеков, А. А. Румянцев, Е. В. Орленко
КУНЭШ СЭТҮНИН ИНЧЭ ГУРЛУШУНУУ МУШАЙИДЭСИ
НАГГЫНДА

Магаддо А. Б. Северинкин .быгларында* јүккү зэррэчилорин сүр'этланыснин меканизмийн бахымыр. Алышан нозэри нотичэлэрдээ мүшайицэдэн алышан гијматлар арасында յашы ујгунауг алышыр.

М. B. Kerimbekov, A. A. Rumjantsev, E. V. Orlenko
ON THE FINE STRUCTURE OF THE SOLAR SURFACE.

New method of the investigation of the fine structure of the sun is developed. According our observations there are more than 50 longliving ($T > 48^m$) faculae granules; what is the reason of such unusual deviation ($\gg 3\sigma$) from the mean value $\approx T_0 = 5^m$. The lack of α -MHD theory in the explanation of this phenomenon is stated. The new mechanism of the evolution is suggested. The results of the presented theory are in good agreement with the observation data (intensities and magnetic fields in faculae).

АЗЭРБАЙЖАН ЕЛМЛЭР АКАДЕМИЯСЫНЫН МЭРҮЗЭЛЭРИ

ДОКЛАДЫ АКАДЕМИИ НАУК АЗЕРБАЙДЖАНА

ТОМ XLVI ЧИЛД

№ 2

1990

УДК 542.952.6:547.313

ХИМИЯ ВЫСОКОМОЛЕКУЛЯРНЫХ СОЕДИНЕНИЙ

Н. А. ЗЕЙНАЛОВ, М. В. УЛЬЯНОВА, В. И. СМЕТАНЮК, А. А. ЭФЕНДИЕВ
ИК-СПЕКТРОСКОПИЧЕСКОЕ ИССЛЕДОВАНИЕ КАТАЛИЗАТОРОВ
ДИМЕРИЗАЦИИ ЭТИЛЕНА НА ОСНОВЕ $Ti(OR)_2Cl_2$, $Zr(OR)_2Cl_2$,
 H и $R_3Al_2Cl_3$, ИММОБИЛИЗОВАННЫХ НА ПОЛИМЕРНОМ ГЕЛЕ

(Представлено академиком АН Азербайджанской ССР
Т. Н. Шахтахтинским)

Среди каталитических систем, гетерогенизированных на полимерных носителях, особое место занимают гель-иммобилизованные каталитические системы (ГКС), оптимально приспособленные для осуществления жидкофазных процессов [1].

ГКС представляют собой особым образом конструированный полимерный композит, набухающий в реакционной среде (гель), и поэтому проницаемый для реагентов и растворимых продуктов реакции. В нем иммобилизованы соответствующие каталитические комплексы переходных металлов. Реакция происходит во всем объеме набухших частиц катализатора, а не только на его поверхности. Эффективность использования активных центров в них так же высока, как и в гомогенном катализе, хотя каталитическая система в целом может быть оформлена в виде совокупности макроскопических тел (гранул, пленок, волокон, войлоко-и губкообразных пластин и т. п.) и использована подобно гетерогенному каталитическому контакту. Эластичные частицы ГКС могут длительно работать без механического (хрупкого) разрушения [2].

По существу, здесь мы имеем дело с гетерогенными катализаторами со всеми вытекающими отсюда преимуществами в процессе осуществляемого по механизму гомогенного катализа.

В настоящей работе изучена структура активного центра рассматриваемой каталитической системы, представляющего собой продукт взаимодействия гель-комплекса металла с алюминийорганическими соединениями (АОС), и попытка установления взаимосвязи между исходным направлением процесса димеризации этилена. Ключевым вопросом исследования структуры активного центра для нас являлось детальное изучение структуры и стабильности гель-комплекса металла-основного компонента каталитической системы. Детальный анализ процессов, приводящих к иммобилизации MX_n , а также установление структуры образующихся при этом продуктов имеют важное значение для создания научных основ иммобилизации и целенаправленного синтеза катализаторов на основе этих комплексов.

Структура гель-комплекса металла определяется особенностями взаимодействия MX_n с полимером-носителем. В данном конкретном случае иммобилизация металлокомплексов носит химический характер; тип образующейся связи макролиганд—металл (донорно-акцепторный, ковалентный, ионный) определяется природой реагирующих компонентов. Такая связь

и, вероятно, стабильность гель-комплекса должны сохраняться неизменными в ходе катализитического процесса.

Нами методом ИК-спектроскопии были исследованы комплексные гелевые катализаторы димеризации этилена на основе $Ti(OR)_2Cl_2$ или $Zr(OR)_2Cl_2$ и $R_3Al_2Cl_3$, нанесенных на полимер-носитель, содержащий в качестве полимера-основы этилен-пропиленового каучука-тройного сополимера этилена, пропилена и несопряженного диена (СКЭПТ) и комплексообразователя поли-4-винилпиридин (ПВП).

Полимер-носитель был получен радикальной прививочной сополимеризацией 4-винилпиридина к СКЭПТ, полученной по методике (3).

В ИК-спектре носителя СКЭПТ-ПВП исчезают полосы, соответствующие СКЭПТ, характеризующие его ненасыщенность ($3060, 1620, 930, 950\text{ cm}^{-1}$) и наличие подвижного водорода при третичном атоме углерода ($1310-1340\text{ cm}^{-1}$ (C—CH) и $1150-1160\text{ cm}^{-1}$ скелетные колебания в изопропенильной группе); про этом в ИК-спектре появляются полосы, относящиеся к соответствующему привитому компоненту.

Zn и Ti -содержащие гель-комpleксы получали обработкой соответствующего носителя в набухшем состоянии соединением циркония или титана по методике (4).

После обработки полимера-носителя соединением циркония происходит значительное изменение спектра в области $1490-1640\text{ cm}^{-1}$, т. е. в области валентных колебаний пиридинового кольца. Вместо полосы средней интенсивности 1600 cm^{-1} и полосы 1560 cm^{-1} слабой интенсивности в спектре СКЭПТ-ПВП- $Zr(OR)_2Cl_2$ наблюдается соответственно 2 полосы $1600, 1640\text{ cm}^{-1}$ и полоса 1500 cm^{-1} с перегибом при 1520 cm^{-1} . Слабые полосы неплоских деформационных колебаний пиридинового кольца в области $840, 950, 980, \text{ см}^{-1}$ в полимере-носителе смещаются в коротко волновую область $950, 1000, 1050\text{ cm}^{-1}$ в спектре гель-комплекса (ГК) циркония.

Следует отметить, что в спектре ГК циркония полоса поглощения в области 980 cm^{-1} , соответствующая валентным колебаниям C—N, не претерпевает заметных изменений. В спектре же ГК-СКЭПТ-ПВП- $CoZL_2$ (NiL_2) эти полосы полностью исчезают, что указывает на преимущественную координацию металла (Co, Ni) по азоту в этих случаях.

Тот факт, что в спектре ГК циркония не наблюдается изменений в области валентных колебаний C=N 980 cm^{-1} , а также появления полосы поглощения в области 1500 cm^{-1} , проявляющейся как известно, в ареновых комплексах, позволяет нам предположить, что в данном случае не происходит координации циркония строго по азоту, в координации участвует все пиридиновое кольцо.

Аналогичная картина взаимодействия макролиганд-металл наблюдается и в случае СКЭПТ-ПВП- $Ti(OR)_2Cl_2$.

Иными словами, иммобилизация циркония и титанодержащих соединений на полимере-носителе СКЭПТ-ПВП сопровождается образованием слабого комплекса аренового типа.

В длинноволновой области спектра ГК-СКЭПТ-ПВП- $Zr(OR)_2Cl_2$ наблюдаются 2 полосы средней интенсивности при 280 и 390 cm^{-1} , относящиеся к валентным колебаниям связей Zr—Cl. Заметных полос в области $1000-1100\text{ cm}^{-1}$, соответствующей валентным колебаниям C—O (OC—O), и полос около 600 cm^{-1} , соответствующих валентным колебаниям Zr—O (Zr—O), в спектре не наблюдается.

В отличие от ГК-СКЭПТ-ПВП- $Z_2(OR)_2Cl_2$ в длинноволновой области спектра ГК-СКЭПТ-ПВП- $Ti(OR)_2Cl_2$ помимо полосы 380 cm^{-1} , относящейся к концевой связи Ti—Cl, появляются новые полосы поглощения в области 1010 и 800 cm^{-1} , характеризующие наличие связей Ti—O—C.

После обработки пленки ГК- Zr или Ti АОС в спектре активированного ГК металла появляются очень сильные полосы в области $500-600\text{ cm}^{-1}$ относящиеся к валентным колебаниям связей Al—C; полосы, характеризующие связи Zr—Cl резко уменьшаются по интенсивности (практически исчезают). Новую очень интенсивную полосу с максимумом при 270 cm^{-1} можно отнести к деформационным колебаниям $Al\begin{array}{c} C \\ | \\ Zr \end{array}$. Последнее указывает на то, что обработка иммобилизованных на полимере-носителе соединений циркония (титана) приводит их алкилированию.

Литература

1. Кабанов В. А., Мартынова М. А., Плужнов С. К., Сметанюк В. И., Чедния Р. В. Кинетика и катализ., 1979, т. XX, вып. 4, с. 1012-1018.
2. Кабанов В. А., Сметанюк В. И. В Международный симпозиум по связи между гомогенным и гетерогенным катализом, 1986, т. II, ч. 1, с. 3-24.
3. Кабанов В. А., Сметанюк В. И., Попов В. Г., Плужнов С. К., Прудников А. И., Мартынова М. А., Ульянова М. В. 1980-20с.—Деп. в ВИНТИ 26. 08. 80, № 2290.
4. Кабанов В. А., Сметанюк В. И., Попов В. Г., Мартынова М. А., Ульянова М. В. Высокомолекул. соед., 1980, т. (A) XXII, 2, с. 335-343.

Институт теоретических проблем химической технологии

Поступило 23. 11. 1989

Н. А. Зеиналов, М. В. Ульянова, В. И. Сметанюк, А. А. Эфандиев
ИГ-СПЕКТРОСКОПИК МЕТОДЛА ПОЛИМЕР КЕЛДЭ ИММОБИЛИЗАСИЯ ОЛУНМУШ $Ti(OR)_2Cl_2$, $Zr(OR)_2Cl_2$ ВӘ $R_3Al_2Cl_3$ ЭСАСЫНДА ЕТИЛЕННИҢ ДИМЕРЛӘШМәСИ, КАТАЛИЗАТОРЛАРЫНЫҢ ӨЈРӘНИЛМәСИ

ИГ-спектроскопия методла макролиганд (ПВП)-метал (Ti, Zr, Ni, Co) гарышылыгы тәсириниң характеристикаларының мөлдөмлөлүгүн көрсөтүшүүдөр. Көстөрүлмөшүүдөр ки, никел вә кобальтдан фәргли одаралар тәсириниң мөлдөмлөлүгүн көрсөтүшүүдөр ки, бу налда металлыны иммобилизациясы кимжэвнүү характеристикаларының мөлдөмлөлүгүн көрсөтүшүүдөр.

Кел-комплексиниң гурзулуши иле онун стабилити, каталип активили арасында корреляцияларының мөлдөмлөлүгүн көрсөтүшүүдөр ки, бу налда металлыны иммобилизациясы кимжэвнүү характеристикаларының мөлдөмлөлүгүн көрсөтүшүүдөр.

N. A. Zeinalov, M. V. Ulyanova, V. I. Smetanyuk, A. A. Efendiev
IR-SPECTROSCOPIC INVESTIGATION OF ETHYLENE DIMERIZATION CATALYSTS ON THE BASIS OF $Ti(OR)_2Cl_2$, $Zr(OR)_2Cl_2$ AND $R_3Al_2Cl_3$ IMMOBILIZED ON POLYMER GEL

The interaction character of macroligands (PVP)—metal (Ti, Zr, Ni, Co) has been studied by the IR-spectroscopy method. It is shown that unlike nickel and cobalt which have coordination according to nitrogen, in case of titanium and zirconium the whole pyrene ring takes part in the coordination.

The attempt was made to establish correlation between the structure of gel-complex, their stability and catalytic activity. It was found out that in this case the metal immobilization has a chemical character.

М. И. ЧИРАГОВ, К. Г. РАГИМОВ, чл. корр. АН. Аз. ССР Х. С. МАМЕДОВ

ГИДРОТЕРМАЛЬНЫЙ СИНТЕЗ И УТОЧНЕНИЕ
КРИСТАЛЛИЧЕСКОЙ СТРУКТУРЫ Са-ГИДРОАЛЮМИНАТА

Кристаллическая структура, механизм структурного превращения при дегидратации и кристаллохимические особенности четырехкальциевого тригидротриалюмината изложены в работах [1, 2, 3]. С целью подтверждения кристаллохимического критерия гидравлической активности и механизм структурного превращения соединения кальция [4], была уточнена структура Са-гидроалюмината.

Методом гидротермальной кристаллизации в системе $\text{Ca}(\text{OH})_2 - \text{H}_2\text{O}_3 - \text{Al}_2\text{O}_3 - \text{SiO}_2$ получены прозрачные призматические кристаллы. Условия эксперимента: т-ра — 400°C, давление — 1000 атм, концентрация растворителя — 20%. В исходной шихте весовые соотношения окислов $\text{H}_2\text{O}_3 : \text{Al}_2\text{O}_3 : \text{SiO}_2 = 1 : 2 : 2$. Предварительное рентгенографическое исследование показало, что полученный кристалл является Са-гидроалюминатом (I). Параметры ромбической ячейки, определенные по рентгенограммам качания и вращения, уточнены на автодифрактометре „Синтекс Р2₁“: $a = 12,841(5)$, $b = 12,448(4)$, $c = 8,881(3) \text{ \AA}$, пр. гр. $B m a b$ или $B 2 ab$. ($M_w K_w$ — излучение, 0/20 метод сканирования с интервалом $2\theta_{\max} < 69^\circ$, графитовый монохроматор, 860 независимых ненулевых отражений $|I| > 2\sigma(I)$). Все расчеты выполнены на специализированной вычислительной системе XTL „Синтекс“. Поглощение не учитывалось.

Координаты базисных атомов, взятые из работы (I), были уточнены методом наименьших квадратов (пр. гр. $B m a b$), с изостропными температурными поправками ($R = 0,069$), в анизотропном приближении ($R = 0,055$). Координаты атомов и значения анизотропных тепловых поправок приведены в табл. 1, а в табл. 2 даны межатомные расстояния и валентные углы.

Два кристаллографически независимых атома кальция располагаются в частных положениях (на m и 2). Оба атома окружены кислородом и гидроксильными группами, которые образуют октаэдр. Валентные углы в октаэдрах кальция колеблются в значительных пределах (табл. 2), что отражается в значениях анизотропных тепловых колебаний (табл. 1), т. е. полиэдры кальция сильно деформированы, что, возможно, обеспечивает гидравлическую активность Са-гидроалюмината.

Основные структурные мотивы Са-гидроалюмината представлены на рисунке.

В структуре Са-октаэдры образуют фрагмент портландитового слоя. Каждый остов состоит из четырех плотно упакованных октаэдров, с составом $[\text{Ca}_4\text{O}_{14}(\text{OH})_2]^{22-}$ (рис. 1, б). В анионной группе расстояния Са—Са' равны 3,653 \AA . Октаэдрические оставы сверху и снизу сочленяются шестерными тетраэдрическими кольцами, подобно структуре слоистых мине-

Таблица 1

Координаты базисных атомов и параметры изостропных и анизотропных тепловых колебаний в структуре Са-гидроалюмината в рамках пр. групп (в скобках приведены стандартные отклонения)

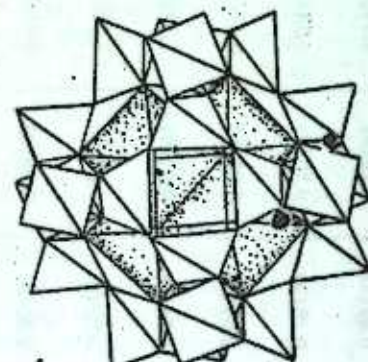
| | x/a | y/b | z/c | B_j | B_{11} | B_{22} | B_{33} | B_{12} | B_{13} | B_{23} |
|-----------------|---------------|---------------|---------------|---------|----------|----------|----------|----------|----------|----------|
| Ca ₁ | $\frac{1}{4}$ | 0,1550(2) | 0,0390(3) | 0,70(6) | 0,80(9) | 0,58(9) | 0,65(8) | 0 | 0 | -0,14(8) |
| Ca ₂ | 0,1081(2) | 0 | $\frac{3}{4}$ | 0,80(8) | 0,52(8) | 1,14(9) | 0,72(8) | 0 | 0 | -0,16(8) |
| Al | 0,1269(2) | 0,1295(2) | 0,3870(6) | 0,48(6) | 0,42(8) | 0,47(8) | 0,53(8) | -0,01(7) | 0,13(8) | -0,06(8) |
| Al ₂ | 0 | $\frac{1}{4}$ | 0,6392(4) | 0,80(6) | 0,78(6) | 0,90(6) | 0,94(6) | 0,02(6) | 0 | 0 |
| O ₁ | 0,1188(4) | 0,0013(4) | 0,0262(5) | 0,75(4) | 0,85(8) | 0,63(5) | 0,72(6) | -0,26(9) | -0,02(8) | 0,17(5) |
| O ₂ | 0,0295(4) | 0,1334(4) | 0,2465(6) | 0,64(8) | 0,63(8) | 0,43(8) | 0,67(6) | -0,05(6) | -0,12(8) | 0,32(4) |
| O ₃ | 0,1119(4) | 0,2233(4) | 0,5301(5) | 0,74(9) | 0,61(8) | 1,17(4) | 0,41(9) | -0,08(8) | 0,10(8) | -0,02(8) |
| O ₄ | $\frac{1}{4}$ | 0,1443(6) | 0,3028(8) | 0,90(9) | 1,06(5) | 0,82(5) | 0,82(5) | 0 | 0 | -0,03(5) |
| O ₅ | $\frac{1}{4}$ | 0,1126(6) | 0,7849(8) | 0,56(8) | 0,69(9) | 0,41(5) | 0,27(5) | 0 | 0 | 0,07(6) |

Таблица 2

Межатомные расстояния (\AA) и углы связей (град.) в структуре
Са-гидроалюмината

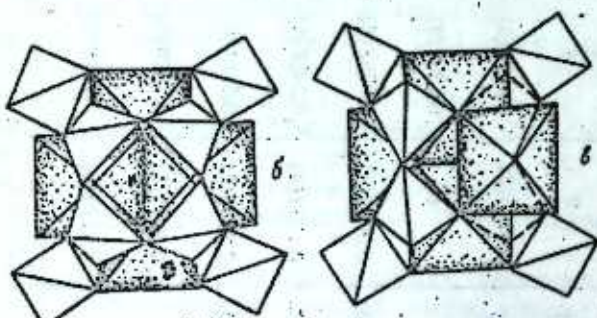
| | Al—тетраэдр |
|---|---|
| $\text{Ca}_1-\text{O}_1=2,510(5)\times 2$ | $\text{Al}-\text{O}_1=1,805(6)$ |
| $-\text{O}_2=2,370(5)\times 2$ | $-\text{O}_2=1,766(5)$ |
| $-\text{O}_3=2,344(8)$ | $-\text{O}_3=1,737(5)$ |
| $-\text{O}_4=2,305(7)$ | $-\text{O}_4=1,758(5)$ |
| $\angle \text{O}-\text{Ca}_1-\text{O}=78,72(17)-$ | $\text{O}-\text{Al}_1-\text{O}=106,59(8)-$ |
| $-96,85(9)$ | $-114,66(8)$ |
| $\text{Ca}_2-\text{O}_1=2,452(5)\times 2$ | $\text{Al}_2-\text{O}_2=1,777(5)\times 2$ |
| $-\text{O}_2=2,319(5)\times 2$ | $\angle \text{O}-\text{Al}_2-\text{O}=105,87(9)-$ |
| $\angle \text{O}-\text{Ca}_2-\text{O}=76,48(6)-$ | $-115,13(8)$ |
| $-95,40(8)$ | |
| $\text{Ca}_1-\text{Ca}_2=3,663(2)$ | $\text{Al}_1-\text{Al}_1=3,161(3)$ |
| $-\text{Al}_1=3,481(6)$ | $-\text{Al}_2=3,150(3)$ |
| $-\text{Al}_2=3,554(2)$ | $-\text{Al}_2=3,122(3)$ |
| $\text{Ca}_2-\text{Al}_1=3,613(2)$ | |
| $-\text{Al}_1=3,631(3)$ | |
| $-\text{Al}_2=3,547(1)$ | |

* Атом кислорода в группе
ОН



2

Основные структурные мотивы Са-гидроалюмината и содалита.



5

6

ролов. Эквивалентные группы связаны между собой плоскостями скольжения a и c или осями 2 и 2_l . В результате подобной конденсации алюмокислородные тетраэдры образуют ступенчатые сетки, которые состоят из четверных и шестерных колец, а шаг ступеньки соответствует высоте одного тетраэдра. Если структуры Са-алюмината сопоставить со структурой

содалита— $\text{Na}_4\text{Al}_3\text{Si}_3\text{O}_{12}\cdot\text{Cl}$, то можно заметить, что образования тетраэдрического каркаса в последнем связано с расположением атомов кальция в пустотах. В структуре содалита Са-октаэдры, связанные с ребрами, создают крестообразные стелы (рис. 1 б, а), которые обеспечивают конденсации тетраэдрические сетки, установленные в структуре Са-алюмината. В обоих структурах в тетраэдрическом мотиве выделяются Т—О ленты из шестичленных колец, с периодом $12,8 \text{ \AA}$, которые далее превращаются в сетку с составом T_6O_7 в структуре Са-гидроалюмината и в каркас с составом T_6O_{12} в структуре содалита (рис. 1 а). На соответствующих проекциях периоды идентичности a в Са-гидроалюминате равны $12,844 \text{ \AA}$, а в содалите— $12,55 \text{ \AA}$. Уменьшение параметров в содалите связано с образованием каркаса и гетеровалентным замещением $\text{Ca}^{2+}\text{Al}^{3+}\rightleftharpoons\text{Na}^+\text{Si}^{4+}$.

Таким образом, детальный рентгенструктурный анализ гидроалюмината, с учетом локального баланса валентностей, рассчитанный по Ю. А.

Таблица 3

Локальный баланс валентных усилий на анионы в структуре Са-гидроалюмината

| Анионы | Катионы | | | | ΣV_{ij} | $ \Delta $ | Формальный баланс |
|-------------------------|-----------------|---------------|---------------|-----------------|-----------------|------------|-------------------|
| | AL_1 | Al_2 | Ca_1 | Ca_2 | | | |
| $\text{O}_1(\text{OH})$ | 0,65 | — | 0,29 | 0,31 | 1,25 | 0,25 | 1,42 |
| O_2 | 0,751 | 0,747 | — | 0,32 | 1,82 | 0,18 | 1,83 |
| O_3 | 0,827 | 0,763 | 0,345 | — | 1,94 | 0,06 | 1,83 |
| O_4 | $0,762\times 2$ | — | 0,356 | — | 1,88 | 0,12 | 1,84 |
| O_5 | — | — | 0,373 | $0,369\times 2$ | 1,11 | 0,11 | 1,0 |

Пятенко (5) (табл. 3), позволил представить кристаллохимическую формулу в виде $\text{Ca}_2[\text{Al}_3\text{O}_3(\text{OH})_2]\text{OH}$ ($z = 8$, $\rho_{\text{выч}} = 2,73 \text{ г/см}^3$, $\rho_{\text{эксп}} = 2,71 \text{ г/см}^3$), не соответствующую формуле $\text{Ca}_2[\text{Al}_3\text{O}_6(\text{OH})]\cdot\text{H}_2\text{O}$ ($z = 8$, $\rho_{\text{выч}} = 2,76 \text{ г/см}^3$) (1).

Авторы выражают благодарность И. Р. Амирасланову за получение экспериментального материала и проведение расчетов.

Литература

- Пономарев В. И., Хейкер Д. М., Белов Н. В.— Кристаллография 1970, т. 15, вып. 5, с. 918.
- Пономарев В. И., Хейкер Д. М., Белов Н. В.—Изв. АН СССР, Неорганические материалы, 1971, т. 7, №90, с. 1783.
- Белов Н. В. Очерки по структурной минералогии. М.: Недра, 1976.
- Таймуров Г. С., Чирагов М. И., Мамедов Х. С.—Ж. прикладной химии, 1982, т. 1, с. 202.
- Пятенко Ю. А.—Кристаллография, 1972, с. 773.

Азербайджанский государственный
универ. им. С. М. Кирова

Поступило 22. VI 1989

М. И. Чирагов, К. Г. Рагимов, Х. С. Мамедов

Са-НИДРОАЛУМИНАТЫН ҮНДРОТЕРМАЛ СИНТЕЗИ ВЭ КРИСТАЛ ГУРУЛУШУНУН ДЭГИГЛЭШДИРИЛМЭСИ

$\text{Ca}(\text{OH})_2$ — HO_2O_3 — SiO_2 — Al_2O_3 үндрометал системинде Са-нидроалуминатын— $\text{Ca}_2[\text{Al}_2\text{O}_5(\text{OH})_2](\text{OH})$ монокристаллары синтез едилгүйшидир. Бирээндэйн кристал гурулушу дэгиглэширилгүйшидир ($R = 0.55$).

M. I. Chiragov, K. G. Ragimov, Kh. S. Mamedov

HYDROTHERMAL SYNTHESIS AND REFINEMENT OF Ca-HYDROALUMINATS CRYSTAL STRUCTURE

The single crystals of Ca-hydroaluminate $\text{Ca}_2(\text{Al}_2\text{O}_5\text{OH}) \cdot \text{H}_2\text{O}$ have been synthesized in $\text{Ca}(\text{OH})_2$ — Al_2O_3 — HO_2O_3 — SiO_2 hydrothermal system. The crystal structure of this compound was refined to R of 0.005.

УДК 553. 981 (479. 24)

ГЕОХИМИЯ

Акад. Ш. Ф. МЕХТИЕВ, Ю. Б. ГАЛАНТ, С. А. МАМЕДОВА, Т. Л. ЖҮЙКОВА

СОРБИРОВАННЫЕ ГАЗЫ ПОРОД НЕФТЕГАЗОНОСНЫХ БАССЕЙНОВ

Отложения Куринской межгорной впадины считаются потенциально перспективными в отношении нефтегазоносности.

Большую роль в суждении о перспективах нефтегазоносности играют сорбированные газы, которые тесно связаны с вмещающими их породами и позволяют решать вопросы генетического и поискового плана.

К настоящему времени исследователями признается, что путей углеводорообразования в природе много. К настоящему времени довольно трудно установить долю различных генетических групп газов в каком-либо блоке геологического объекта, хотя такие работы есть (Э. М. Прасолов, 1987).

В литературе существует мнение, что углеводородные газы образуются из органического вещества, подтверждением чему служит существование корреляции между концентрацией органического углерода и содержанием углеводородов в породах [1].

Однако отметим, что органический углерод это лишь один параметр горной породы, составные части и образование которого зависят от множества факторов: глубины мантии, активности структуры, степени эволюции мантийного вещества, интенсивности вулканизма, характера и масштаба потока углеродсодержащих (CO , CH_4 , CO_2) газов из фундамента, мантии и др.

Выдвинуто предположение, что содержание газов зависит также и от множества указанных факторов.

Для проверки этого предположения исследовались природные газы, рассеянные в горных породах и анализировалась глубинная геологическая ситуация по нефтегазоносным бассейнам.

Исследование газов проведено на площади Мурадханлы, использованы многочисленные литературные данные [1].

В составе углеводородных газов пород нефтяного скопления Мурадханлы отмечены метан и его гомологи до C_5 включительно (Табл. 1).

В составе углеводородных газов отмечаются непредельные и разветвленные гомологи метана, которые обнаружены во всех пребах. Содержание пентана довольно высокое, а в некоторых случаях оно превалирует над метаном. Большинство максимальных содержаний непредельных углеводородов имеет место в породах из скв. 38.

Изучение сорбированных углеводородных газов площади Мурадханлы позволило выявить следующее.

1. На площади Мурадханлы содержание CH_4 от 0,04 до 1,85 cm^3/kg , тяжелых углеводородов (ТУ)—1,88—10,07 cm^3/kg .

2. Максимальные количества ТУ приурочены к пл. Мурадханлы (скв. 38) к глубинам 4891—4894 м, что может свидетельствовать о повы-

Таблица 1

Курильская межгорная впадина.
Химический состав газов пород (см³/кг)

| Площадь, глубина, скважина, м | CH ₄ | C ₂ H ₆ | C ₃ H ₈ | C ₂ H ₅ | C ₃ H ₉ | I C ₄ ·H ₁₀ | I C ₂ ·H ₆ | I C ₃ ·H ₈ | I C ₅ ·H ₁₂ | n·C ₃ ·H ₁₂ |
|---|-----------------|-------------------------------|-------------------------------|-------------------------------|-------------------------------|-----------------------------------|----------------------------------|----------------------------------|-----------------------------------|-----------------------------------|
| | | | | | | | | | | |
| Мурадханлы, скв. 45 2946 | 0,68 | 0,09 | 0,37 | 0,07 | 0,08 | 0,03 | 0,02 | 0,99 | 0,21 | 0,02 |
| Мурадханлы, скв. 45 3000 | 0,45 | 0,11 | 0,32 | 0,06 | 0,10 | 0,11 | 0,03 | 1,37 | 0,31 | 0,05 |
| Мурадханлы, скв. 28 4065 и | 1,85 | 0,6 | 0,48 | 0,28 | 1,17 | 0,05 | 0,11 | 0,55 | 0,11 | 0,03 |
| Мурадханлы, скв. 28 4184 | 0,40 | 0,09 | 0,55 | 0,83 | 1,27 | 0,09 | 0,05 | 0,51 | 0,11 | 0,04 |
| Мурадханлы, скв. 38 4891—4894 | 0,49 | 0,42 | 0,62 | 0,46 | 3,31 | 2,12 | 0,05 | 1,39 | 0,31 | 0,12 |
| Среднее по осадочным породам Мурадханлы | 0,77 | 0,26 | 0,51 | 0,34 | 1,18 | 0,48 | 0,05 | 0,96 | 0,21 | 0,18 |
| | | | | | | | | | 0,30 | 0,30 |

шении степени катагенеза преобразования органического вещества на этих глубинах.

3. Соотношение газов подчиняется следующей зависимости (табл. 2).

Таблица 2

| Компоненты, площадь | C ₁ | C ₂ | C ₃ | C ₄ | C ₅ |
|---|----------------|----------------|----------------|----------------|----------------|
| Мурадханлы (по ср. содержаниям осадоч- ных пород) | > | < | > | < | |

Содержания CH₄, ТУ и суммы углеводородных газов, рассеянных в породах Припятско-Днепровско-Донецкого, Тимано-Печерского, Прикаспийского и Курильского бассейнов даны в табл. 3.

Таблица 3

Содержание рассеянных газов $\frac{\text{min}-\text{max}}{\text{среднее}}$ см³/кг

| Площади | CH ₄ | Компоненты ТУ | УВГ | Глубина мантии, км | Литера- тура |
|---|---------------------------|----------------------------|-----------------------------|--------------------------|-----------------|
| Припятско-Днеп- ровско-Донецкий бассейн | <u>0,001—3,0</u> 0,088 | <u>0,005—3,0</u> 0,0015 | <u>0,0015—6,0</u> 0,0895 | 40 | [2] |
| Тимано-Печорский бассейн | 0,0025—0,88 0,039 | 0,0005—0,188 0,169 | 0,0030—1,068 | 32 | [3] |
| Прикаспийский бассейн | <u>0,0—3,7</u> 0,1 | <u>0,0—3,0</u> 0,1 | <u>0,0—6,7</u> 0,2 | 25 | [4] |
| Курильский | <u>0,40—1,85</u> 0,77 | <u>1,88—10,07</u> 4,5 | <u>2,28—11,92</u> 3,07 | 20 | [5] |

На рисунке показана зависимость содержания рассеянных газов CH₄, ТУ и суммы углеводородных газов от глубины мантии для Припятско-Днепровско-Донецкого, Тимано-Печорского, Прикаспийского и Курильского бассейнов.

Наблюдается определенная закономерность: с увеличением глубины залегания мантии уменьшается содержание углеводородных газов.

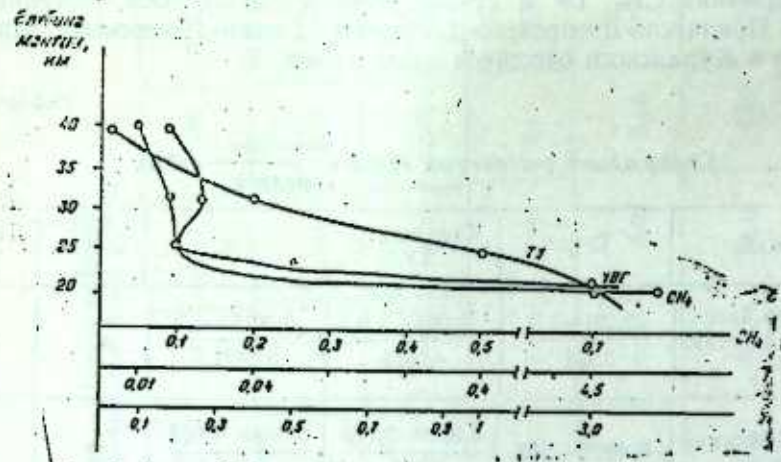
Таким образом, имеется корреляция содержания газов с такими противоположными (антиподными) характеристиками как содержания органического углерода и глубина мантии. Такая корреляция не случайна и отражает более глубокие закономерности.

Известно, что под многими крупными нефтегазоносными территориями в основании лежат рифтовые зоны [6, 7, 8], которые интенсивно дышат метановым и водородными газами.

В основании же рифтовых зон лежат мантийные плюмажи («pillow»). Эти мантийные плюмажи являются источниками дегазации [9].

Результатом дегазации мантии является газопаровая смесь (ГПС).

являющаяся основной частью материнского или исходного вещества для нефтеобразования. ГПС может также содержать и пары различных соединений, впоследствии могущих образовать рудоносные растворы, о чем в некоторых случаях свидетельствует парагенез нефти и руд. ГПС аккумулируется в раздробленных зонах глубокого заложения, где и подвергается дальнейшим преобразованиям. В тех же частях земной коры, где расположены и действуют локальные тепловые очаги (они могут быть обусловлены близостью мантии к земной поверхности), также создаются условия для аккумуляции и преобразования газопаровой смеси непосредственно над ними, т. е. в раздробленных участках над и вокруг интрузивных тел..



Главенствующее место среди компонентов газопаровой смеси, по-видимому, занимают метан и его гомологи, что связано, с одной стороны, поступлением из мантии новых его порций, а с другой—главным образом образованием его из таких компонентов ГПС, как CO , CO_2 , H_2 , водяных паров и др.

Наряду с образованием метана и его гомологов в составе ГПС протекают различные реакции, вследствие которых образуется почти вся гамма углеводородов их производных, присутствующих в нефти.

Перманентная дегазация углеводородными газами, направленная в атмосферу, естественно, вносит свой определенный вклад в осадочные породы, в нефтегазоносность осадочного чехла.

Возможно, что именно фактор близости к дневной поверхности мантии и ее дегазация (т. к. осадочные породы находятся на невысокой стадии катагенеза—по данным суммарного импульса тепла СИТ на ПК) обусловили высокое содержание рассеянных углеводородов и нефтегазоносность осадочных и вулканогенных тел в Курильском нефтегазоносном районе.

Проведенное исследование позволяет также предположить, что нами выявлено то явление, о котором в свое время говорил еще В. И. Вернадский, что между тектономагматическими процессами и процессами биосферы существует обратная связь.

Литература

1. Зоркин Л. М., Старобинец И. С., Стадник Е. В. Геохимия природных газов нефтегазоносных бассейнов.—М.: 1984.—248 с.
2. Глубинное строение восточной части Русской платформы/Болдирович М. П. и др.—М.: Наука, 1977.—124 с.
3. Шаблинская Н. В. Разломная тектоника Западно-Сибирской и Тимано-Печорской плит и вопросы нефтегазоносности палеозоя.—Л.: Недра, 1982.—155 с.
4. Журавлев В. С. Сравнительная тектоника Печорской, Прикаспийской и Североморской экзогенальных зондий Европейской платформы.—М.: Наука, 1972.—400 с.
5. Павленкова Н. И. Глубинные неоднородности Земли, М.: 183.
6. Бюллетень московского общества испытателей природы. Отдел геологический, т. 63, вып. 1, 1988.
7. Милановский Е. Рифтогенез в истории Земли (рифтогенез в подвижных поясах).—М.: Недра, 1987.—297 с.
8. Советская геология, № 12; 1986.
9. Кадик А. А., Луканин О. А.—Дегазация верхней мантии при плавлении.—М.: Наука, 1986.—97 с.

Институт геологии АН АзССР

Поступило 12. VII. 1989

Ш. Ф. Мектиев, Ю. Б. Галант, С. А. Мамедова, Т. Л. Жукова

НЕФТЛИ-ГАЗЛЫ ҮӨВЗЭЛЭРИН СУХУРЛАРЫНЫН АЖЫРЫЛМЫШ ГАЗЛАРЫ

Магадэд чөкмө үөвзэлэринин сухурларындакы газлары илэ мантиянын атма дэринийлийндан асылын оларыг сухурлардаки үзүү карбонатын гатылышынын дошиг-маси арасында экс элэгэннээ олдугу ашкар единийншидир. Белэ ки, бурада наээ вахты илэ В. И. Вернадски тээрфийнээн көстэрилэн тазаңыруү тектоник вэ биосфер просесслари арасында элэгэннээ варлыры күмән единийн.

Sh. F Mekhtiev, Ju. B. Galant, S. A. Mamedova, T. L. Zhukova

RETAINED JASES OF OIL AND GAS-BEARING BASIN ROCKS

The paper deals with the study of the relationship between the gas content in sedimentary basin rocks on the one hand and the organic carbon concentration in rocks as the depth of mantle occurrence increases on the other inverse relationship existing between them is also established. It is possibly the phenomenon acknowledged by Bernadsky, that there exists an inverse relation ship between tectonic and biosphere processes.

А. Н. ГУСЕЙНОВ, М. И. ИСАЕВА

ПАЛЕОМАГНЕТИЗМ НИЖНЕМЕЛОВЫХ ОТЛОЖЕНИЙ ВОСТОЧНОЙ ЧАСТИ МАЛОГО КАВКАЗА

(Представлено академиком АН Азербайджанской ССР Э. Ш. Шихалибейли)

Составление региональных магнитостратиграфических шкал с выделением четких и надежных палеомагнитных маркирующих уровней повышает достоверность решения геолого-съемочных и геолого-поисковых задач. Особенно важно проводить магнитостратиграфические исследования продуктивных толщ и опорных разрезов тех регионов, где развиты либо прогнозируются отложения с проявлениями полезных ископаемых. К таким районам относится и Малый Кавказ, в связи с чем проведение палеомагнитных исследований на нижнемеловых отложениях представляет несомненный интерес.

Берриас-валанжинские отложения исследовались в разрезах Сарымсаглы и Балынд. Отложения в этих разрезах представлены известняками, встречается также примесь туфогенного материала. Все изученные разрезы достоверно фаунистически охарактеризованы [1, 2]. Однако в разрезах Балынд и Сарымсаглы, как впрочем и почти повсюду на Малом Кавказе, берриас не отделяется от валанжина. Готеривские отложения изучены в разрезе Балынд, хотя в этом разрезе готеривские отложения не отделяются от нижележащих нижнемеловых отложений. В Агдамском антиклинарии исследованы барремские отложения в разрезе Гюлаблы. Разрез сложен известняками, песчанистыми известняками, известковистыми туфопесчаниками. В Гочазском синклинарии исследованы баррем-аптские отложения в разрезах Фарджан, Доланлар, Новлу, Теймур-Мюсканили. Эти отложения представлены туфопесчаниками, андезито-базальтами, известняками. В разрезе Теймур-Мюсканили отделить баррем от апта по фауне не удалось. Альбские отложения нами исследованы в разрезах Сизнек и Даушен. Изучены средне-верхнеальбские отложения. Нижний альб на Малом Кавказе отсутствует [1]. Отложения представлены туфопесчаниками, песчаниками, мергелями.

Палеомагнитные исследования были выполнены по общепринятой в магнетизме горных пород и палеомагнетизме методике [3]. Термомагнитным анализом и анализом минералов на шлифах и аншлифах было установлено, что наиболее характерными ферромагнитными минералами в нижнемеловых отложениях являются магнетит и гематит, реже встречается титаномагнетит, иногда ильменит и лишь для одного разреза Теймур-Мюсканили характерны гидроокислы железа. Величины естественной остаточной намагниченности J_n и магнитной восприимчивости изменяются в широких пределах (таблица).

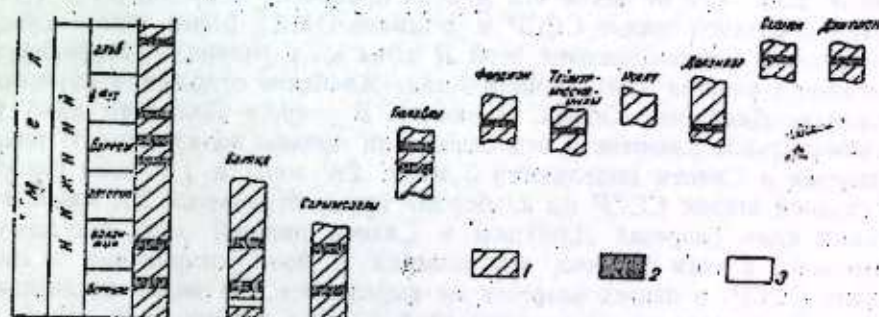
Как видно из таблицы, меньшие параметры магнитных характеристик присущи для неокомских отложений (первые три разреза в таблице). Это

связано с тем, что отложения представлены карбонатной фацией, а более высокие значения магнитных параметров — для апт-альбских, которые представлены вулканогенно-осадочными породами.

С целью выделения древней компоненты естественной остаточной намагниченности были применены методы магнитных чисток — временная чистка, чистка переменным магнитным полем, термочистка.

| Разрез | Возраст | Естественная остаточная намагниченность $J_n \cdot 10^{-3}$ А/М | | | Магнитная восприимчивость, $\chi \cdot 10^{-3}$ СИ | | |
|------------|---------|---|--------|--------|--|-------|--------|
| | | мин. | макс. | средн. | мин. | макс. | средн. |
| Балынд | Ber—Нau | 0,3 | 10,0 | 3,8 | 0,01 | 0,10 | 0,04 |
| Сарымсаглы | Ber—VLg | 1,1 | 134,1 | 19,2 | 0,01 | 0,04 | 0,03 |
| Гюлаблы | Brm | 0,3 | 31,7 | 4,7 | 0,01 | 0,09 | 0,02 |
| Доланлар | Apt—ApB | 0,2 | 1144,0 | 230,9 | 0,02 | 9,18 | 2,38 |
| Новлу | Brm—Apt | 2,1 | 2277,4 | 257,3 | 0,01 | 2,45 | 0,73 |
| Фарджан | Brm—Apt | 0,2 | 2346,9 | 337,4 | 0,02 | 1,63 | 0,39 |
| Теймур- | Brm—Apt | 48,5 | 2206,1 | 306,7 | 0,07 | 21,5 | 3,12 |
| Мюсканили | | | | | | | |
| Сизнек | ALB | 157,7 | 979,5 | 508,7 | 0,72 | 6,93 | 3,68 |
| Дашушен | ALB | 14,2 | 812,5 | 271,4 | 0,08 | 9,64 | 2,75 |

Было установлено, что в нижнемеловое время геомагнитное поле характеризуется как прямой, так и обратной полярностью. По нерасчлененным берриас-валанжинским отложениям в разрезах Балынд и Сарымсаглы установлено 5 зон: 3N и 2R зоны (рисунок). Эти зоны хорошо сопоставля-



Сопоставление палеомагнитных разрезов нижнего мела восточной части Малого Кавказа: 1 — зона прямой полярности; 2 — зона обратной полярности; 3 — неизученная область

ются друг с другом, однако вряд ли можно соотнести их к одному и тому же временному интервалу. Зоны обратной полярности в берриас-валанжинских отложениях имеются и в сводной шкале СССР [3], и в шкале океанических магнитных аномалий (ОМА) [4]. Однако в этих шкалах количество зон обратной намагниченности значительно превосходит полученное нами. В то же время количество зон обратной полярности при исследовании берриас-валанжинский отложений на открытых площадках не превышает 2, т. е. результаты, полученные по исследованиям кернового материала скважин информативнее, чем при исследовании по открытым площадкам. То что в наших исследованиях выделено лишь 2R зоны связано,

по-видимому с тем, что изученные нами берриас-валанжинские отложения представлены карбонатными породами, имеющими малые значения ЕОН и нам посредством магнитной чистки не удалось выделить зоны обратной полярности, хотя возможны и иные причины. Готеривские отложения изучены в разрезе Балынд, котором эти отложения не отделяются от нижележащих берриас-валанжинских отложений и составляют незначительную часть разреза прямой полярности. Различия в количестве зон у нас и в свободных шкалах СССР и ОМА в готериве связаны с тем же, что и для берриас-валанжинских отложений. Как отмечалось, барремские отложения изучены по 4 разрезам: Гюлаблы, Фарджан, Теймур-Мюсканили, Доланлар. В разрезах Фарджан, Доланлар, Теймур-Мюсканили, в которых изучена верхняя часть баррема, отложения представлены N зоной. В разрезе Гюлаблы барремские отложения расчленяются на $3N$ зоны и $2R$ зоны (рисунок). В свободных шкалах СССР и ОМА в барреме выделяется $2R$ зоны, которые коррелируются с нашими зонами. Таким образом в разрезе Гюлаблы барремские отложения представлены достаточно полно и разрез может быть принят как опорный. Аптские отложения нами исследованы в 4 разрезах: Фарджан, Теймур-Мюсканили, Новлу, Доланлар. В отложениях разреза Новлу, который представлен средним аптом, зафиксирована лишь одна N зона. Разрезы Фарджан, Теймур-Мюсканили, Доланлар представлены 3 зонами: $2N$ зоны и $1R$ зона (рисунок). Зона обратной полярности в апте отмечена в шкалах свободной по СССР и ОМА, причем R зона в апте расположена таким образом, что граница между ярусами барремом и аптом, совпадает с границей зон различной полярности. В разрезах Фарджан и Доланлар смена полярности геомагнитного поля с прямой на обратную также приходится на нижнюю часть аптского яруса, хотя и ниже этой R зоны в аптском ярусе у нас имеется небольшая N зона. Тем не менее эта R зона прекрасно коррелирует с R зоной в апте в свободной шкале СССР и в шкале ОМА. Более того, исходя из конкретного местоположения этой R зоны мы расчленили баррем-аптские отложения разреза Теймур-Мюсканили. Альбские отложения изучены в 3 разрезах—Дашушен, Сизнек, Доланлар. В разрезе Доланлар альб имеет незначительное развитие и эти отложения прямой полярности. В разрезах Дашушен и Сизнек выделяются 3 зоны: $2N$ зоны и $1R$ зона (рисунок). В свободной шкале СССР по альбскому ярусу отмечается $2R$ зоны. В изученных нами разрезах Дашушен и Сизнек нижний альб отсутствует и, возможно, с этим связано, что нижняя R зона, отмеченная в свободной шкале СССР, в наших разрезах не выделяется. По нашим исследованиям инверсия приходится на верхний альб и смена среднего подъяруса альба на верхний совпадает со сменой полярности геомагнитного поля, т. е. при расчленении альбских отложений региона может быть применен этот палеомагнитный репер.

Таким образом палеомагнитные исследования нижнемеловых отложений позволили установить особенности режима изменения геомагнитного поля: 1) геомагнитное поле нижнего мела восточной части Малого Кавказа характеризуется неоднократными инверсиями, при чем преобладает прямая полярность; 2) в нижнемеловых отложениях установлено 6 зон обратной полярности и 7 зон прямой полярности; 3) подошва зоны обратной полярности в апте может служить реперным уровнем при расчленении баррем-аптских отложений на яруса, а основание зоны обратной полярности в верхнем альбе—при расчленении альбских отложений региона на подъярусы.

Литература

- Халилов А. Г., Алиев Г. А., Аскеров Р. Б. Нижний мел юго-восточного окончания Малого Кавказа.—Баку: Элам, 1974.—183 с.
- Шихалибейли Э. Ш. Геологическое строение и история тектонического развития восточной части Малого Кавказа. I. Стратиграфия мезокайнозойских отложений.—Баку: Изд-во АН АзССР, 1964.—305 с.
- Хромов А. Н. и др. Палеомагнетология.—Л.: Недра, 1982.—322 с.
- Харленд У. Б., Кокс А. В., Плевеллин П. Г., Пиктон К. А., Смит Л. Г., Уолтерс Р. Шкала геологического времени.—М.: Мир, 1985.—141 с.

Институт геологии АН АзССР

Поступило 18. IV. 1989

А. Н. Гусейнов, М. И. Исаева

КИЧИК ГАФГАЗЫН ШЭРГ ҮССЕССИННИН АЛТ ТӘБАШИР ПАЛЕОМАГНЕТИЗМИ

Мәгәләдә Кичик Гафгазын шөргүннүүсүнин алт тәбашир чекүнүтүүоринин палеомагнит тәтбиги көстәрилмийдир.

Альшан иштөчөлөр эсасында рекионал магнитостратиграфик шкаласы төртбүтүнүүши, 6 экэ ва 7 дүзгүтүүлүү зоналар мүөјүлэшдирilmийдир.

A. N. Guseinov, M. J. Isajewa

PALAEOMAGNETISM OF THE LOWER-CRETACEOUS DEPOSITS FROM EASTERN PART OF THE LESSER CAUCASUS

The article deals with the results of paleomagnetic investigation on the Lower-Cretaceous deposits from eastern part of the Lesser Caucasus studied are all the layers of the Lower Cretaceous. A regional magnetostratigraphic scale is drawn up in virtue of investigations. Determined are: 1) 6 zones of reversal and 7 zones of normal polarity of geomagnetic field and 2) some paleomagnetic bench marks.

С. Э. ЭЛИЈЕВ, Ч. К. КУЛАЛЫЈЕВ

**ТОРПАГЛАРЫН ХУСУСИ СӘТТІ КӘМİЛЛӘТИ ИЛЭ
ИНФОРМАСИЯ НӘЗӘРИЈАСЫ (ЕНТРОПИЯ)
АРАСЫНДА ГАРШЫЛЫГЛЫ ӘЛАГЭ**

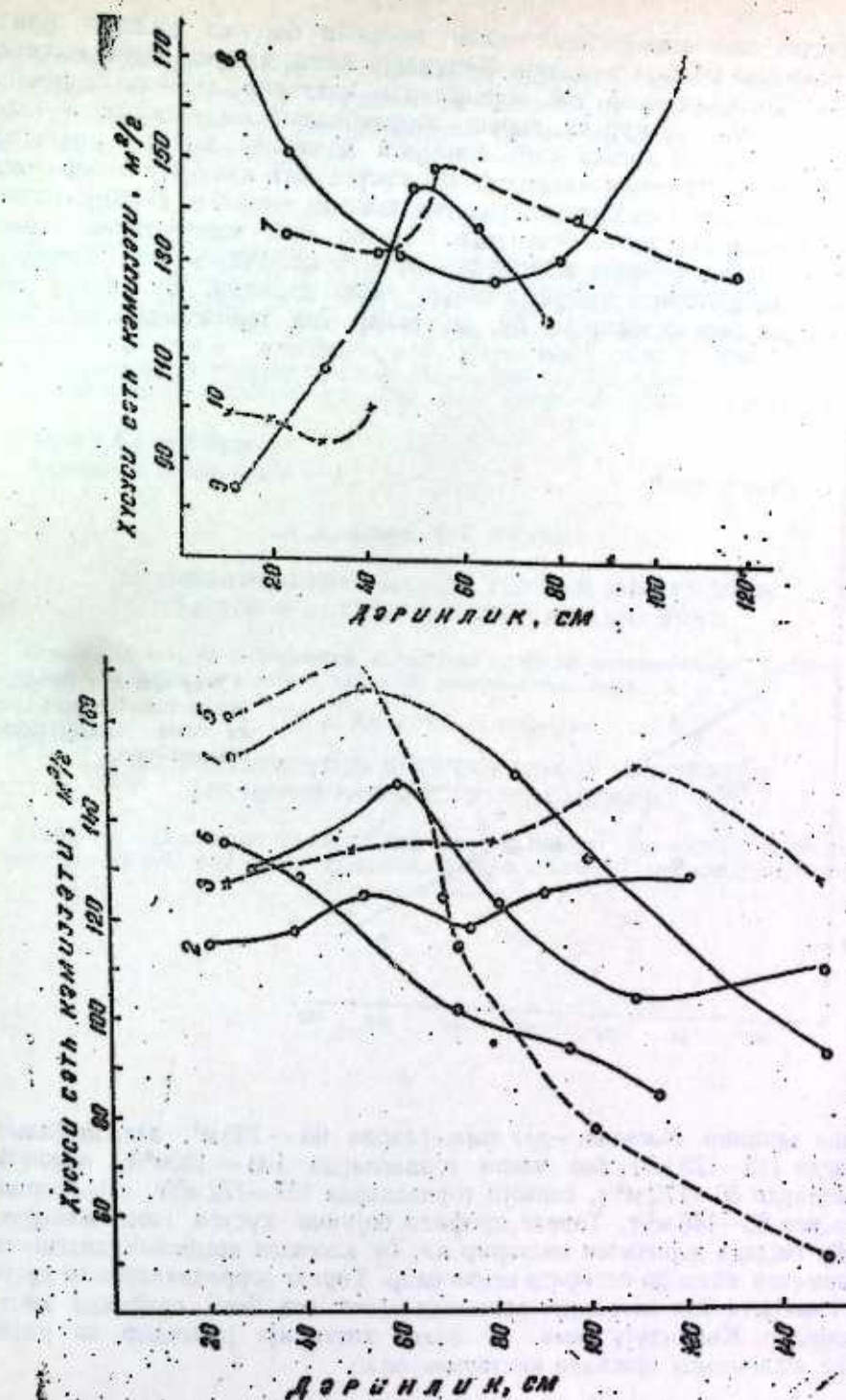
Торпаг тәбии бир чисим е'тибарила һәмнишә торпагшунас алимләrin диггәттини чәлб етмишdir. Муасир дөврәдәк торпагшунаслыг саһесинде чалышап алимләр торпагларын бу вә ja дикәр хассәләрини тез вә дәгиг єјрәнмәк учүн хусуси үсүл вә чиңазлар ахтармагда давам едиrlәр. Бу, һәр шејдән әзвәл, торпагларын мүнбәтлийнин артырылмасына, горунмасына, бәрпасына вә ондан сәмәрәли истифадә олуимасына јенәлдилir ки, һазырда партия вә дәвләттимиз буны тәлоб едиr. Торпагшунаслыгда истифадә олунан үсуллар вә чиңазлар мухталиф елм саһалеринин әлдә етдикләри наилийјетләрни тәтбигинә әсасланмышдыr. Белә ки, һазырда торпагларын физики, физики-кимjәви вә дикәр хассәләрини мухтәлиф үсүл вә чиңазлардан истифадә едәрәк єјрәнкүрләр. Бу үсуллардан бири дә информасија нәзәријесинде истифадә олунан ентропијадыr [4, 5, 6]. Мә'лум олдугу кими, термодинамик системин нал функцијасыны характеризә едән ентропија мүәjjән мәнбәәдән алынан мә'лumatларын гејри-мүәjjәнлик өлчүсү кими дә баҳмаг олар. Я'ни соңлу сајда мүмкүн X_1, X_2, \dots, X_n гијмотларини ујугу олараг P_1, P_2, \dots, P_n еңтималлары илэ алынаң тәсадүfi объектин ентропијасы

$$H(P_1, P_2, \dots, P_n) = \sum_{i=1}^n P_i \log_2 1/P_i$$

дүстүру илэ несабланыр. Тәсадүfi объект сабит гијмет алдыгда онун ентропијасы эн кичик (сығыр), мүмкүн гијмотләрини бәрабәр еңтималла ($1/n$) алдыгда исә эн бөյүк ($\log_2 n$) олур. Информасија нәзәријесинин бу хасәсисинде истифадә едәрәк Азәрб. ССР-ни бир неча торпаг типинин: Бөйүк Гафгазын дағ гараторпаг, дағ шабалыды, Ширван вә Гарабағ дүзүнүн чәмән-боз, боз-чәмән, Муған-Салjan массивинин аллүвиал субасар чәмән вә Ләнкәран рајонунун сары торпагларынын мәхәммек тәркиб анализинде истифадә едәрәк К. И. Шеннонуң тәклиф етдији формулдан

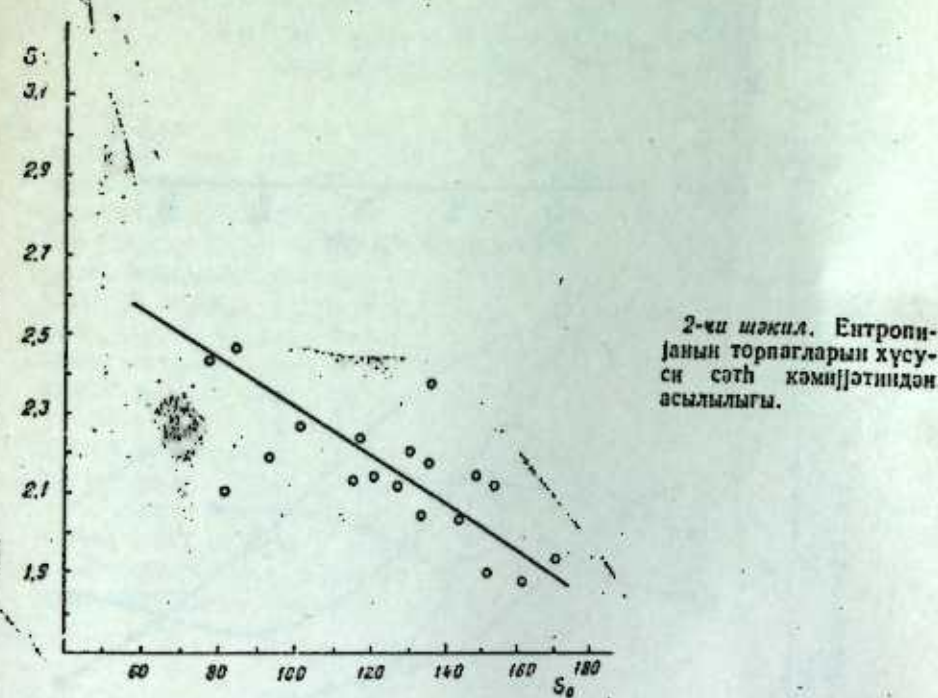
$$S_n = - \sum_{i=1}^n X_i/G \log_2 (X_i/G)$$

ентропијасы (S_n) тапылмышдыr. S_n —ентропија, X_i —көтүрүлән фраксијаларда һиссөчиләрни мигдары (%), G —һиссөчиләрни үмуми мигдары ($G = 100\%$). Күтилик методундан истифадә едәрәк торпаг зэррәчиләрниң бүтөвлүкдә хусуси сәүн кәмілләти (S_o) тапылмышдыr. Тәдгиг олунан торпагларын чөграфи язылмасы, физики-кимjәви, эмәләкәлмә просеси вә дикәр хусусијәтләри кениш шәкилдә тәдгиг олуимушшудур [1, 2, 3].



1-чи шәкил. Хусуси сәтті кәмілләтиниң торпаг профилдерине бөјүнчә дәјишмәсі.
1. Дағ гараторпаг, 2. Дағ шабалыды, 3. 4. Боз-чәмән, 5. 6. Чәмән-боз,
7. Аллүвиал субасар чәмән, 8. Гәвәзи, 9. 10. Сары торпаг.

Хүсуси сөті кәмијјетинин торпаг профили боюнча дәјиши мә жири 1-чи графикда көстәрилмешdir. Көрүндүјү кими, профил боюнча хүсуси сөті кәмијјети мұхтәлиф тип торпагларда мұхтәлиф дәрәчәдә дәјиши. Бу, онуңда изаһ олунур ки, торпаг зәррәчикләри хырдаландыгча (дисперслии артдыгча) хүсуси сөті кәмијјети мұхтәлиф дәрәчәдә дәјиши. Енни заманда гејд етмек лазымдыр ки, хүсуси сөті кәмијјети минераложи вә гранулометрик тәркибинидән, узви маддәләрни тәркиб вә кејфијјетинидән, дојмуш эсаслардан вә с. асылдырып. Хүсуси сөті кәмијјетинин торпаг профили боюнча дәјиши мә жири индән көрүнүр ки, хүсуси сөті кәмијјети норизонтдан-норизонта мұајжәт кәмијјет гәдәр дәјиши. Бу, өзүнү бир сәрхәд кими бираза верип вә бу, мұхтәлиф тип торпагларда мұхтәлиф



2-чи шәкіл. Ентропијаның торпагларының хүсуси сөті кәмијјетинидән асылышы.

гајдада дәјиши. Мәсәлән:—дағ торпагларда $96 - 160 \text{ m}^2$, дағ шабалыды торпагда $115 - 128 \text{ m}^2/\text{g}$, боз чәмән торпагларда $103 - 150 \text{ m}^2/\text{g}$, чәмән-боз торпагларда $50 - 172 \text{ m}^2/\text{g}$, гәһвәжи торпагларда $127 - 172 \text{ m}^2/\text{g}$, сары торпагларда исә $83 - 146 \text{ m}^2/\text{g}$. Торпаг профили боюнча хүсуси сөті кәмијјетинин бу гајдада дәјиши мәсін көстәрип ки, бу хассадән профили диагностиқ көстәричини кими дә истифадә етмек олар. Торпаг зәррәчикләринин хүсуси сөті кәмијјети алә ентропија арасында әлагә исә 2-чи графикдә көстәрилмешdir. Көрүндүјү кими, бу әлагә хәттилијә жаҳындыр вә ријази олараг ашағыдағы шәкілдә көстәрмек олар

$$S_n = -0,0044 S_e + 2,68$$

S_n —ентропија, S_e —хүсуси сөті кәмијјетидир. Дүстурда көрүнүр ки, хүсуси сөті кәмијјети артдыгча, ентропија азалыр. Максимум лимасы

исә көстәрип ки, профил боюнча торпаг зәррәчикләринин диференцијасы кифајэт гәдәр кичикдир. Гарышлыгы әлагәнин бу хассесиндән истифадә сәдерек, тәдгиг олунан кәмијјетләриндән бири биз мә'лум олдугыма о бири-сини таплағ мүмкүн олур.

Әдәбијат

1. Алиев С. А. Условия и природа органического вещества почв.—Баку: Элм, 1966, с. 278.
2. Ковалев Р. В. Почвы Ленкоранской области.—Баку. Изд. АН АзССР, 331 с. 1966.
3. Мичурин Б. Н., Лытлев И. А. Водоудерживающая способность дисперсных систем.—Сб. Тр., АФИ.: 1967, вып. 14, с. 55—67.
4. Хаштун С. Д. Наукометрия: состояние и перспективы.—М.: Наука 1983, с. 340.
5. Шабадаль П. Развитие и приложение понятия энтропии. Наука 1967, с. 200.
6. Шеннон К. Е. Работы по теории информации и кибернетике.—Изд. инос. литер.—М.: 1963, с. 259—413.

Азәрбајҹан Елми-Тәдгигат
дәнициеллик Институту

Алымышдыр 7, VII 89

С. А. Алиев, Ч. Г. Гюлалыев

ВЗАИМООТНОШЕНИЕ МЕЖДУ ТЕОРИЕЙ ИНФОРМАЦИИ (ЭНТРОПИЯ) И УДЕЛЬНОЙ ПОВЕРХНОСТЬЮ ПОЧВ

Используя теорию информации, вычислена энтропия механического состава почв и найдена взаимосвязь с нею и удельной поверхностью почв.

S. A. Aliev, Gh. G. Gulalyev

INTERCOMMUNICATION BETWEEN THEORY INFORMATION (ENTROPY) AND SPECIFIC SURFACE SOIL

Using the information theory it has been calculated the entropy of mechanical composition of soil and found intercommunication between it and specific surface soil.

А. Ш. ИБРАГИМОВ, А. М. АСКЕРОВ

НОВЫЕ МАТЕРИАЛЫ К ФЛОРЕ НАХИЧЕВАНСКОЙ АССР

(Представлено академиком АН Азербайджанской ССР В. И. Ульянищевым)

Флора Нахичеванской АССР привлекала внимание ботаников и путешественников с давних времен. Особо следует отметить работу Л. И. Прилипко [5], которая не утратила своей ценности и в настоящее время. Однако с тех пор прошло много времени и во флоре, и в растительности края произошли большие изменения. Сменилась коренная растительность во многих местах. Стали редкими, исчезающими десятки видов, а некоторые исчезли вовсе. Одновременно на территории региона было отмечено много рудеральных, сегетальных, гидрофильных и адвентивных видов растений. При исследовании флоры и растительности этого края выявлено много ранее неотмеченных таксонов, семейств, родов, видов.

В данной работе приводятся 11 видов сосудистых растений, относящихся к 10 родам и 8 семействам, новые для Нахичеванской АССР. Их гербарные образцы хранятся в Гербарии фонда Нахичеванского Научного Центра АН АзССР и в Институте ботаники АН АзССР (ВАК).

Ниже приводятся их краткое описание, местонахождение и экологогеографические характеристики.

1. *Polygonatum verticillatum* (L.) All.—Купена мутовчатая.

Во «Флоре Азербайджана» этот среднеевропейский вид приводится для Большого и Малого Кавказа.

Многолетние корневищные растения 30—60 (80) см высотой. Листья в мутовках по 4—8, линейно-ланцетные или узколинейные. Цветки в пазухах листьев по 1—3, на повислых голых цветоножках. Плод—сизо-красная ягода.

Найдено нами в Шахбузом районе (5. VII. 1982 г.), в лесах Батабата и Биченака на высоте 2000—2200 м над уровнем моря. Весьма декоративное растение, заслуживающее разведения в тенистых садах и парках.

2. *Amaranthus retroflexus* L.—Щирица запрокинутая.

Однолетнее бледно-зеленое растение. Стебель бороздчатый, прямой, простой или ветвистый, густо-коротко курчаво-пушистый. Листья на верхушке тупые, с выемкой. Соцветие сжатое, плотное. Листочки околоцветника кверху несколько лопатчаторасширенные. Адвентивный (северо-американский с широким вторичным распространением) вид. А. А. Гросгеймом (1) совершенно правильно был указан этот вид для Нахичеванской АССР. Однако во «Флоре Азербайджана» (3) вид для региона пропущен. Автор обработки И. Карагин пишет: Щирица запрокинутая распространена по всему Азербайджану, кроме Нахичеванской АССР».

В Нахичеванской АССР этот вид найден нами во всех 5 административных районах—от низменности до среднего горного пояса (окр. с. Шыхмамуд, Назарбад, Карагуг и т. д.). Растет в садах, полях, на склонах, сорное в посевах, обычное.

3. *Delphinium flexuosum* Bieb.—Живокость извилистая.

Многолетнее высокое растение, голое или рассеянно реснитчатое, до 150 см высотой. Иранский эндемичный вид. В Азербайджане пригодится для Большого Кавказа, северной и центральной частей Малого Кавказа [4]. В Нахичеванской АССР найдено нами в Шахбузском районе 26. VIII. 1983 г. в верхнем лесном и субальпийском поясах в ущ. Дарагаз, в 5 км на север от с. Кюю, окр. оз. Ганлыгель, близ с. Кечал.

4. *Astragalus aureus* Willd.—Астрагал золотистый. Подушкообразный кустарник, до 30 см высотой, армяно-иранский вид. Во «Флоре Азербайджана» [8] приводится для Большого и Малого Кавказа, а также для горной части Талыша и не указан для НахАССР. Этот вид А. А. Гросгеймом (2) указывается для флоры Нахичеванской АССР. Однако почему-то он пропущен во «Флоре Азербайджана» (8). Собранные его обширные гербарии в Шахбузом (Биченакский перевал, г. Кюю, г. Кечал, окр. оз. Ганлы-гель) и в Джулайфинском районах (г. г. Кола, Думан, Араджи, Дамурли), на субальпийских лугах. Является одним из доминирующих растений тимьяно-астрагалово-типчаковой высокогорной степи. Растет вместе с *Astragalus Lagurus* Willd., *Festuca supina* Schur., *Thymus kotschyanus* Boiss. et Hohen., *Poa alpina* L., *Bromopsis variegata* (Bieb.) Holub, *Pimpinella saxifraga* L., *Pedicularis crassirostris* Bunge.

5. *Colutea cilicica* Boiss. et Balf.—Пузырник киликийский.

Кустарник до 3—4 (6) м высотой. Листья сизые, 7—9 см длиной, с 3—4 парами листочков. Венчик желтый. Боб на ножке, вздутый, перепончатый, многосемянный. В зрелом состоянии нераскрывающийся. В Азербайджане встречается в центральной и южной частях Малого Кавказа [6]. Этот вид в Нахичеванской АССР найден в Ордубадском районе, 3. VII. 1985 г. в окр. сел. Верхний Андамич в оазисах. Довольно засухоустойчивый и светолюбивый кустарник. Пригодный для закрепления эрозированных склонов и оврагов. Декоративное растение, заслуживающее введение в культуру для создания групповых посадок.

6. *Euphorbia humifusa* Schlecht.—Молочай приземистый.

Однолетнее растение, стебли простирающиеся, тонкие, ветвистые, 5—25 см длиной, голые. Листья коротко-черешковые, обратнояйцевидные, немного косые, 5—6 мм длиной. Семена неясно гранистые, гладкие или мелкобугорчатые. Адвентивный вид, родина Северная Америка А. А. Гросгеймом указывается для Восточного Закавказского округа Турецкой флористической провинции (Шекинский, Кубанский, Терский, Дагестанский, Кабристанский и др.). В Нахичеванской АССР 24. VI. 1987 г. Найден в Бабекском районе, окр. г. Нахичевань, окр. сел. Шыхмамуд, Назарбад. Вайхыр, Бадамлы, Сираб. Встречается часто у дорог, в парках и садах.

7. *Tamarix ccelandra* Bunge—Тамариск восмитычиночный.

Ветвистый кустарник с желтовато-коричневой корой. Кисти простые, одиночные, 5—9 см длиной, 8—10 мм шириной, тычинок 8 (редко 6). Этот атропатанский вид указан А. А. Гросгеймом [1] для Закавказья. Во «Флоре Азербайджана» [7] этот вид отсутствует. В Нахичеванской АССР найден в Бабекском районе 10. V. 1984 г.; 250 м от северо-западного направления водохранилища Узуноба 29. V. 1985 г. Обнаружен также на равнине Бек-к-дюз, по берегам р. Нахичеванчай, Шорсу и в Ильичевском районе на равнине Садарак. Таким образом вид Т. восмитычиночный для Азербайджана приводится впервые.

8. *Galium aparine* L.—Подмаренник цепкий. Однолетнее растение. Стебель слабый, 30—100 см высотой, цепкий, четырехгранный, усаженный по

А. Ш. Ибраимов, А. М. Аскеров

НАХЧЫВАН МССР-ДАР ФЛОРАСЫНДАР ІЕНИ МАТЕРИАЛДАР

Магадан Нахчыван МССР-дай сен азънда таъниланган материалдар табаки
из азън II ному (10 чык) да 8 фазал укуб рекая Учун дағы олар түрдөй табаки
шештүр. Азънда шештүр таса морфология да химикалык сипаттар бергандар. Бул
киндердик бар түрдөй Азън Академиянын Институттунда сыйянилди.

А. Ш. Ибраимов, А. М. Аскеров

NEW MATERIALS TO THE FLORA OF THE NAKHCHIVAN AUTONOMOUS SOVIET SOCIALIST REPUBLIC

After treatment of gathered materials the authors determined 11 new species from 10 genera and 8 families of the vascular plants of the Nakhchivan ASSR.

These species are the following ones: 1. *Polygonum verticillatum*, 2. *Amaranthus retroflexus*; 3. *Dolichos benthamii*; 4. *Astragalus aitkenii*; 5. *Cotula silicea*, 6. *Erophila humilis*; 7. *Tamarij ostendae*; 8. *Gallium eriocarpum*; 9. *Valeriana atlantica*; 10. *Xanthium strumarium*; II. *Xanthium strumatum*.

рефракт, облигаторик таңынан көп. Листья до 6—8 см ширина, линейно-ланцетные, от 13—20 до 30 см длиной, темно-серые. Побеги дробящиеся, 2—3 см длиной, 2,5—3 см шириной, укорочены краевидными побегами, вытекающими из побегов. В Азербайджане приводится для Прикаспия, Гобустана, Ахангаранской долины, Гяндзегской равнины. В Нахичеванской АССР найден пока в Бабекском районе в окр. сел. Карапут, Гюнжалы, Ахангаран, в Гурдубекском районе, в окр. сел. Котки, Кюнит, Дашт, Гюнжалы, Балакан на горных местах. Ближайшее местонахождение вида — Араксия.

9. *Valeriana atlantica* Адам.—Валериана атлантическая.

Бесстебельное травянистое растение, до 150—200 см высотой. В Азербайджане приводится для Шекинского и Загатальского районов, где встречается в горных гористых и субальпийских рощах. В Нахичеванской АССР найдено в Джульфаском районе 13. VII. 1982 г. между сел. Бекаледавыши, т. Дашур, т. Гюнжалы, окр. леса Хангаранда, Гюнжалы, Кюнит, Душанбе. В Гурдубекском районе (до 15. VIII. 1984 г.) т. Карапут, т. Шах, Юрам, т. Наз-Юраг, т. Янгузар, т. Карапут, на берегах р. Сакварас, р. Гюнжалы, р. Гюнжалы. Растет на каменистых местах по берегам рек, ручьев, лугов и у рощиков, иногда на склонах и склонах. Ближайшее местонахождение вида — Араксия.

10. *Xanthium strumatum* L.—Дурнишник шильчатый.

Однолетнее растение, 15—40 (60) см высотой. Листья при основании с длинным крепышем 2—3 раздельными желтыми венчиками. Адвентивный вид. В Азербайджане приводится для Ашагеана, Кура-Араксинской, Муганской, Ленкоранской низменностей Куриńskiej равнины, не отмечен для Нах. АССР. В Нахичеванской АССР найдено в Бабекском районе 2—5. VIII. 1985 г., в окр. сел. Балык-дюз, Шахтасты, Кобуллу, Неграм, Гюнжалы, Кюнит, Шах-Махмуд, Ханалии и др. В дальнейшем был обнаружен и в остальных районах автономной республики, на низменности и в нижнем горном поясе. Встречается у дорог, в сирых местах, в краю поселений, на опушках, местами образует чистые заросли.

II. *Xanthium strumatum* L.—Дурнишник обыкновенный.

Однолетнее короткощетинисто-полистистое растение. Стебель ветвистый, 20—60 (80) см высотой. Адвентивный вид. В Азербайджане распространено в Самур-Джаванской, Ашагеанской, Кура-Араксинской низменности и на Куринской равнине.

В Нахичеванской АССР найден в Бабекском районе 20. IX. 1982 в окр. сел. Шахмакмуд, Джигры, Ленинабад, Ханалии, Узуноба, Низарбад и т. д. на низменности и в нижнем горном поясе. Растет у дорог, на полях, опушках и виноградниках, местами образует заросли.

Литература

1. Григорян А. А. Определитель растений Кавказа. — М.: Советская наука 1949, — 746 с. 2. Григорян А. А. Флора Кавказа. — М.: Изд-во АН СССР, 1952, т. V, с. 245—334. 3. Григорян А. А. Род Шириня. Флора Азербайджана. — Воку: Изд-во АН АССР, 1952, т. III, с. 261—267. 4. Григорян А. А. Род Живоность. Флора Азербайджана. — Воку: Изд-во АН АССР, 1953, т. IV, с. 44—60. 5. Прядникова Л. Н. Равнинные отношения в Нахичеванской АССР. — Воку: Изд-во АФАН СССР, 1939, — 190 с. 6. Прядникова Л. Н. Род Пузанник. Флора Азербайджана. — Воку: Изд-во АН АССР, 1964, т. V, с. 322—328. 7. Прядникова Л. Н. Род Томариум. Флора Азербайджана. — Воку: Изд-во АН АССР, 1966, т. VI, 205—270. 8. Ризаев Р. И. Род Астратия. Флора Азербайджана. — Воку: Изд-во АН АССР, 1984, т. V, с. 320—430.

Институт ботаники АН АзГГР

Поступило 29. VI 1989

УДК

УМУМИ ТАРИХ

НЭСИБ НЭСИБЗАДЭ

«ИРАН МИЛЛЭТИ» АНЛАЙШЫНА ДАИР

«Миллэти-Иран» изафети Иран ичтиман-сијаси өдэбийжатында чох ишлэдилэн ифадэдир. Тэркибиндэки «миллэти» сөзүүн халг, эхали, чамаат, дини бирлик («сүммэт» сезүүн синоним), етник бирлик вэ б. мэ'налары олмасына бахмајараг, конкрет контекстдэ таамаилэ мүэjjэн бир мэ'на дашийр. Лакин «миллэти-Иран» бу күнэ гэдэр бизэ семантикасына варылмадан «Иран-миллэти» кими тэрчумэ олуунур. Бу чур биртэрэфли тэрчумэ Иранда узун иикишаф вэ тэкамул јолу кечмиш миллэти наггында нээрийжин тэһриф едир.

Эерин эввалэриндэ паниранист (умумиранчы, Иран бирлиji тэрафдары) идеологлар эсэрлэриндэ «миллэти-Иран» ифадэсни тез-тез ишлэдирдилэр. Иранын юрыммустомлэжэ чөврилди, өлкэдэ милли просесслэрин һэлэ женичэ междана чыхдыгы бир дөврэ чөмийжтийн габагчыл дайралэринин Ирандакы халглары бирлиj чағырмалары тэбии иди вэ ишлэдиллэри «миллэти-Иран» ифадэсн эсасэн «Иран халгы» мэ'насында иди. 1906-чы ил конститусијасында «миллэти» термини «бир өлкэний сакинлэри», «бир дэвэлтийн табээрэри» мэ'насыны дашымагла јанаши, һэм дэ вэ даха чох «ваһид дин» гуллуг едэнлэр» анламыны верири.

Лакин сонралар, хүсүсэн Рза шаh диктатурасы дөврүндэ (1921—1941) һаким дэвлэт идеолокијасына чөврилен паниранизм фарс шовинизми характери алды, «миллэти-Иран» термини мэhз «Иран миллэти» мэ'насыны кэсб итмэj башлады. «Ваһид Иран миллэти» идеасы өлкэний чохмиллэти гургуулушну гэбул итмирди. 40—70-чи иллэрдэ Иранын милли гургуулушу наггында һаким бахыш фарс шовинистлэрин вэ фарспэрэст зијалыларын сэ'ji илэ эта-гана долараг, һаким нээрийж сэвижжисинэ чатды. Бир сэра Иран мүэллифлэрийн (Н. Катиби, М. Мэздэк, Н. Ваһиди, Н. Беңзади-Модэди, Н. Мүэjjиди вэ б.) эсэрлэриндэ мухтэлиф иисбэтдэ вэ сајда «ваһид Иран миллэти»нин ашағыдакы әламтэлэри садаланырды: дил (фарс дили нэээрдэ тутуулур), дин (ислам), ирг (ари), тарихи кечмиш (эхэмэниллэрэн үзү бәри), мэденийжт (фарс мэденийжти), мэ'нэви һәјат бирлиji, дэвлэт бирлиji, шаһэншайлыг системи, ирадэ («милли ирадэ») вэ с [1].

Буржуа вэ хырда буржуа дайрэриндэ Иран эхалисийн чохмиллэти тэркиби, бурада өз ады (Азэрбајчан түрклэри, курдлэр, түркмэнлэр, әрэблэр), етник шууру (мэн түркэм, курдэм...), әразиси (Азэрбајчан, Курдустан...), мэденийжт хүсүсийжтэлэри (мэсалан, Азэрбајчан түрклэриндэ ашыг сэнти), милли һүгүглар угрунда мүбаризэ тарихинэ (мэсалан, 1945—1946-чи иллэрдэ Азэрбајчан вэ Курдустанда) малик етносларын варлыгыны инкар едэн вэ реал һәјатдан узаг «ваһид Иран миллэти» нээрийжисиндэй фэргли бахыш да мөвчуд иди. Бу дайрэлэрин фикринчэ, өлкэдэки мусалман халгларынын узүн иллэр боју биркэ јашајышы, мэденийжтэлэри гаршылыглы элагэсн иэтчэсниндэ һәгигтэн Иранда мүэjjэн бир соснал.

сијаси бирлик јаранмышдыр, лакин онун «Иран миллэти» дејилэн анлајша гэтийжэн дэхли јохдур. Онларын истифадэ стиклэри «миллэти-Иран» ифадэсн мэ'на бахымындан мусир Азэрбајчан дилинэ «Иран халгы» (я «Иран эхалис») кими тэрчумэ едилмэлидир. Бунуна бела Иранда бирсыра миллэтилэри («говмхарын») [2] мөвчудлуу кими керчэклиji е'тираф итмэлэрийн бахмајараг, буржуа вэ хырда буржуа дайрэлэри шаh дөврүндэ гејри-фарсларын милли һүгүгларынын та'mин олунмасы зэруретини эссландырмaga чүр'эт етмир, белэ олан тэгdiрдэ «Иранын парчаланаачағындан» хофланырдылар.

Иран халгы («миллэти-Иран») наггында јени концепцијасын јајылма-сында өлкэний иффузу ичтиман хадими С. Н. Тагызадэний бөјүк ролу олмушдур. Хүсүсэн 1960-чы илдэ онун бу барэдэ чыхышлары Иранда бөјүк экс-сэда яратмышды [3].

Сол көрүшүү ичтиман хадимлэр вэ сијаси тэшкилатлара кэлдикдэ исе онлар да Иран халгы наггында бахышлары мудафиэ едирдилэр. Иран Халг Партијасынын бир сырьа сэнэдлэриндэ Иранын чохмиллэти өлкэ олдугу е'тараф олуунур, азэрбајчанлыларын, курдлэрин вэ башгаларынын фарслардан фэргли өзүнэмхсүс етник хүсүсийжтэлэри малик олмалары гејд олуунурду. Лакин бу сэнэдлэрдэ о иллэрдэ совет ичтиман елминдэки миллият наггында схематик-еңкамчы бахышлар јамсыланыр, сон 10-15 илдэ өзүнэ вэтэндашлыг һүгүгү газанмыш етнос нээрајжэсн јеринэ миллият нээрийжисинин дөрд мэ'лум шәрти тэкрарланырды.

1978—1979-чу иллэрдэ Иран ингилабынын гэлэбэсийндэн сонра милли мунасибэтлэри нээри мэсэлэлэри этрафында мубаһисэлэр гызышды. «Өлкэни парчаланмагдан хилас етмэк учун» фарс шовинизми бу дэфэ панисламизми элдэ бараг етди. Онларын иддиаларына эсасэн исламда «миллэти мэтрэн олунмадыгы», «исламын һэр чур милли айры-сечкилиji пислэди учун»... кечмиш режим дөврүндэ мөвчуд олмуш милли мунасибэтлээр (наким-мэзлум мунасибэтлэри) консервасија едилмэли иди. Лакин мараглыдыр ки, бу чур еңкамчы-муртэче јанаашмаа бахмајараг, јени режимин «миллэти-Иран» анлајышы шаh дөврүнүн һаким анлајышындан фэрглэнэриди. Тэсадуфи дејилдир ки, јени Иран конститусијасында өлкэний чохмиллэти структуру долајысы илэ е'тираф олуунущдур. Конститусијасын 19-чу маддэсийнде дејилдир: «Иран эхалис етник («говм») вэ тајфа («гэбиль») мэнсүбийжтингдэн асылы олмараг бэрэбэр һүгүглара маликдир вэ дэринин рэнки, ирг, дил кими фэрглээр үстүнлүк учун эсас ола билмээ» [4].

Ингилабдан сонракы дөврдэ буржуа-демократик вэ либерал дайрэлэрдэ «миллэти-Иран» анлајышын мэ'на тутумуна мунасибэт даха да дэгиглэшди. Бир гајда оларааг бу ифадэ «Иран халгы», «Иран эхалис» мэ'насында ишлэдилмэj башлады. Тэбии ки, һәмийн бахыш Иранын чохмиллэти гургуулушну инкар етмир, эксинэ бурада бир-бириндэн фэргли «говмлары» јашадыгыны нэээрдэ тутур. Иранын федератив-демократик принциплэрдэ јенидэн гургуулмасы угрунда мубаризэ апаран бу дайрэлэр Иранын дахилэн мөнкэмләнмэсийн өлкэний там һүгүглү сакинлэри олан түрк, курд, түркмэн, әраб вэ с. «говмлара» дахили мухтарижт верилмэснин бир васитэ несаб едир. Сэзсүз ки, бу, Иран ичтиман-сијаси фикриндэ тэкамулүн эн өнөмийжтэли мүсбэт нэтичэлэриндэн биридир.

Белэликлэ, јухарыда нэээрдэн кечирдијимиз мисаллардан да көрүндүү кими «миллэти-Иран» мэфүмундан бөсөс едэндэ ентијатлы олмалы, ону дилимизэ контекстдэн асылы оларааг «Иран халгы», я да билаваснэ Иранын чохмиллэти структуруну инкар едэн мэгамларда «Иран миллэти» кими чөвирмэк лазымдыр.

УДК 494. 3. 415.

ЯЗЫКОЗНАНИЕ

М. М. МУСАЕВ

ОБСТОЯТЕЛЬСТВЕННЫЕ СЛОЖНОПОДЧИНЕННЫЕ ПРЕДЛОЖЕНИЯ СО СРАВНИТЕЛЬНЫМ ОТНОШЕНИЕМ В ТЮРКСКИХ ЯЗЫКАХ ОГУЗСКОЙ ГРУППЫ

(Представлено академиком АН Азербайджанской ССР М. Ш. Ширазиевым)

В системе обстоятельственных сложноподчиненных предложений (ОСП) сложноподчиненные предложения (СП) со сравнительным отношением нами делятся на две группы: а) несобственно-сравнительные; б) собственно-сравнительные.

Несобственно-сравнительные ОСП отличаются нерасчлененностью синтаксических структур, а собственно-сравнительные ОСП, напротив, выделяются своей расчлененностью. Кстати отметим и то обстоятельство, что нерасчлененность в структуре несобственных сравнительных ОСП носит весьма нестабильный и переменчивый характер, поскольку всем сравнительным конструкциям в системе СП свойствена расчлененность [1, 467]. Кроме того, несобенно-сравнительные ОСП отличаются от собственных и многозначностью синтаксических структур, вернее, в этих ПЕ, наряду со значением сравнения, ярко выражается и содержание следствия, цели, причины, времени и т. д.

Итак, многозначность в семантических структурах предложений связана с формой слов и синтаксическими отношениями к другим словам, материальной стороной языка при отражении объективной действительности в мышлении, а не «изолированной глубиной» структурой. Многозначные синтаксические единицы обладают одинаковыми звуковыми лексическими составами, а также грамматическим оформлением, ударением и порядком слов. Будучи проявлением грамматической полисемии, они имеют сходные значения. В указанных языках синтаксическая многозначность проявляется в структуре СП в целом, и несобственных сравнительных ОСП—в частности; напр.: Эзу дэ елэ бир тэлашла алды ки, Тахир өзүнү итириди... (журн. «Улдуз»)—«Причем она взяла с таким волнением, что Тахир растерялся»; Söz beni oyle sasırılı ki, ne sevar verecegimi bidden-bire kestir-medim (N. Nihat). «Слова его так огорчили меня, что я сразу не мог ответить».

В нерасчлененных предложениях, приведенных из азербайджанского и турецкого языков, могут выражаться следующие значения: 1) сравнение—следствие—цель и т. д.; 2) сравнение—следствие—причина и т. д.

Что касается формально-структурной организации несобственно-сравнительных ОСП, следует сказать, что в тюркских языках огузской группы компоненты данных СП вступают в связь в основном аналитическим способом. Такие структуры несобственно-сравнительных ОСП получили распространение в азербайджанском, турецком и гагаузском языках. В такой

Эдэбијжат

1. Бах: мәс.: *Катеби*. И. Азэрбајҹан во вайлоте меллије Иран.—Төбriz, 1942;
Р. Һәмтрудјан. Мос'але'е меллијэт.—Төбriz, 1945; Мәзәек. Эфсанеje «Хәлгәже-
Иран».—Флоренсија, 1969; Ф. Шадеман. Вәзи во һәдәјәтә мелли.—«Хандәни». 29.
03. 1966; *Вәниди*. И. Потухеши дәр мөнеше мелли ва мәнеше парсан. Төбriz, 2535;
29. 03. 1966; *Вәниди*. И. Потухеши дәр мөнеше мелли ва мәнеше парсан. Төбriz, 2535;
Бәззади. И. Касионалист.—Төбriz, 1354; *Мөзҗеди*. И. Һәмбастаки во јегинека'е мел-
лије исанијан.—Төбriz, 1976; *Форуги* М. Ж. Иран ра чера бајәл дуст дашт?—«Етте-
даат», 14. 10. 1975. 2. Эсрин аввалинса, һәтта 30-чу илләр гәдар Азэрбајҹан иңти-
ми-сәфәси фикринде да гөм, кавм (гөммүжат, кәмијэт) аила ышлары кениш яйыл-
мышы, сопраллар, хүсусан «азэрбајҹанилы» этноминимин гәбулуудан соира таммилә-
униулдуу. 3. Хотабаे агаје Сәйид һәсән Тагызаде дәрмоузу өхзәт тәмәддоон харечи-
на во азади.—Төбriz, 1961; С. М. Алиев. К национальному вопросу в современном Ира-
не.—Краткое сообщение Института народов Азии АН СССР, № 77, 1964, с. 46. 4. Хомеї-
нишин тәсдигин тәгдим олуумуну конституция лајиғесинде Иранын ҹохмийдатлы струк-
туру даңа айдын экс олуумушу. Хомеинин ислаһының гәдар мұвафф мәддә белә иди:
«Иран Ислам Республикасында фаср, түрк, күрд, араб, белуч, түркмен кими бүтүн ет-
иослар (азгывам-«гөм» сөзүнүн чәми—Н. Н.) һүтүг өстибары ила там бәрабәрдиләр». 4.
«Кор.» 23. 07. 1979).

Алымышдыр 29. III 89

Шаргынасынг Институту

Насиб Насибзаде

О ПОНЯТИИ „ИРАНСКАЯ НАЦИЯ“

Популярный в Иране термин «меллате Иран» претерпел изменения в зависимости от национальной ситуации в стране. В начале века «меллате Иран» в основном носил смысл «иранский народ», «иранское население». Однако позже, особенно с 20-х годов, в господствовавшей идеологии под этим термином имелась в виду национально-этническая общность, что отражало реакционность национальной политики правящих кругов. При сконструировании «иранской нации» использовались различные «признаки» этой мифической этнической общности. Вместе с тем, в демократических кругах со временем стало находить все большее распространение отличное от государственного понимание термина «меллате Иран». Данное понимание термина («иранский народ») доминирует после революции 1978–1979 гг.

Nasib Nasibzadeh

ON A NOTION OF „IRAN NATION“

The widespread in Iran a notion of „mellat-e Iran“ has undergone changes depending on national situation at the country. At the beginning of the century „mellat-e Iran“ meant mainly „Iranian people“, „Iranian population“. But later, especially from 20-es, dominant ideology meant under this term a national and ethnic community reflecting a reactionary character of national policy of ruling circles. While constructing „Iranian nation“ there were used different „indications“ of this mythical ethnic community. At the same time in democratic circles there eventually was widely used a notion of „mellat-e Iran“ different from state understanding of the term. The given understanding of the term („Iranian people“) dominates after the revolution of 1978–1979.

связи компонентов, изучаемых СП, участвуют союзы, союзные местоименные слова и различные союзные местоименные наречные средства и т. д. В несобственно-сравнительных ОСП союзные слова, в отличие от собственных сравнительных ОСП, употребляясь в главном компоненте, являются односоставными скрепами. В них главная часть находится в пре-, а придаточная—постпозиции. Союзные средства употребляются в главных предикативных единицах. В азербайджанском языке компоненты данных ОСП связываются с помощью союза *ки* «что» и союзных скреп прономинальных типов указательных местоимений и местоименных наречий *елә*, *бела* «так»; *инача*, *иначе*, *и чур*, *и тәһәр* «как» и т. д.: напр.: Эсарин дили *елә олмалысыр ки*, *јекнәсәклик*, *сүн'илик* *јарымасын...* (газ. «Әдәбијат вә инчәсәнәт») «Язык произведения должен быть таким, чтобы не создавалось однообразие, искусственность»; ... *көрәк иечә еләјәк ки*, *ону дүнија узундан силәк* (эпос «Кероглы») «—Посмотрим как сделать, чтобы уничтожить его».

В турецком языке также наблюдается аналогичная ситуация. Однако в отличие от азербайджанского, в нем скрепы преимущественно выражаются союзовыми сочетаниями; напр.: *Fakat Taglu onlara o sekilde malumat veriyordu ki, söylediclerinde görmiş gibi oluyorlardı* [2, 177]. «Но Таглу так информировал их, что они словно увидели все собственными глазами».

В гагаузском языке данные ОСП, исходя из употребления синтаксическими показателями связи, отличаются от адекватных конструкций, анализируемых в азербайджанском и турецком языках. В этом языке в аналогичных ПЕ союзные скрепы бывают двухместными. В главном компоненте употребляются союзные слова прономинального типа *блә*, *бләй*, *осой*, *о турлу*, *олада* «так, как» а в зависимых—союзы *ки*, *ани*, *аники* «что»; напр.: *Онуң суратының назлы дериси осой хош гелди, ани Вараклы капады гөзлерини* (Д. Кара Чобан)—«Нежная кожа ее лица так понравилась ему, что Вараклы невольно закрыл глаза».

В гагаузском языке в указанных ПЕ данные двухместные скрепы функционируют как и в русском языке; напр.: ... иши йапалым *блә*, *ки лека душмесин* не беним адьма, не да карымын... (Н. Бабаоглу)—«Дело сделаем так, чтобы не запятналось ни мое имя, ни имя моей жены».

Что касается формально-структурной организации собственных сравнительных ОСП, то компоненты этих ПЕ связываются как аналитическим, так и аналитико-синтетическими способами связи.

I. Аналитический способ. При такой связи в компонентах данных ПЕ употребляются двухместные скрепы. Такие собственно-сравнительные ОСП употребляются в азербайджанском и гагаузском языках.

В азербайджанском языке по употреблению синтаксических показателей связи и порядка компонентов такие ПЕ проявляются двояко:

а) главная часть употребляется в пре-, а зависимая—постпозиции. В главных компонентах употребляется союз *ки* «что» и союзные слова прономинального типа. А в зависимых частях употребляются союзы *санки*, *куја ки* «будто, будто-бы»; *инача* «как» и союзных речений *елә бил* (*ки*) «будто»; *дејәсән*, *дејәрдин*, *дејирдин* «кажется, будто, как-будто» и т. д.; напр.: Елә чапырды *ки*, *санки архадан ону чанавар говурду* (Ф. Кәримзадә)—«Он это так произнес, словно позади за ним гнался волк»; Гамышлыга *елә сакитлик чекмушду* (*ки*, *дејирдин* бураларда чанлы *иеч* *ијох* иди (журн. «Улдуз»)—«На камышовые заросли осело такое безмолвие, словно здесь не было ни одной живой души»;

б) Зависимая часть употребляется в пре-, а главная—постпозиции. В зависимом компоненте употребляются союзные слова *инача* «как», в главном—союзные речения *елә дә*, *еләчә да*, *о чур*, *о чур да* «как», и т. д.; напр.: Нечә данышмышыг, *еләчә дә көрәк иш көрүлсүн* (Разг. язык)—«Как мы договорились, так и обязаны действовать».

В гагаузском языке по употреблению синтаксических показателей связи и порядка компоненты таких ПЕ также проявляются двояко. Однако данные ПЕ отличаются от аналогичных структур в азербайджанском языке.

Зависимая часть находится в пре-, а главная—постпозиции. В зависимом компоненте употребляются союзные слова—местоименные наречия *нижә*, *насыл*, *нессей* «как каким образом», а в главном—союзное слово прономинального типа *блә* *дә* «так, такой»; напр.: *Насыл демиш кара иnek, блә дә йапмын* Туку (Буджактан сесләр)—«Как сказала корова, так Туку и сделал».

Главная часть находится в пре-, а зависимая—постпозиции. В главном компоненте употребляются союзные слова прономинального типа *елә* «так, такой»; *ачан* «когда» (употребляющиеся также факультативно), в зависимых частях—союз *санси* «будто»; напр.: *Диму (елә) калдыйды курулу, санси и ону йылдырым урмушду* (Н. Бабаоглу)—«Диму застыл в таком положении, словно его срезала молния».

II. Аналитико-синтетический способ. Собственно-сравнительные ОСП, компоненты которых связываются аналитико-синтетическим способом, употребляются в азербайджанском и туркменском языках. В таких ПЕ зависимая часть употребляется в пре-, а главная—постпозиции. В обоих языках сказуемое зависимого компонента употребляется с аффигированной частицей *-са*, *-са*.

В компонентах изучаемых ОСП употребляются скрепы прономинального типа *елә*, *о чур*, *шонун ялы* «так, такой»; напр.: *Мән сәнни гапыны индичә иечә гәфләтән дөјдүмсә, баҳ, о чур дејулду* (Ф. Агаев)—«Стучали так, словно сейчас я стучался в твою дверь»; *Мәрәт иәх или окуса, мен хем шонун ялы оқаярын* (Разг. язык)—«Как будет учиться Мерет, так и я буду учиться».

Итак, по семантическим структурам, отображаемых в них ситуаций и явлений объективной действительности, оба анализируемых вида собственных и несобственных сравнительных конструкций в тюркских языках огузской группы идентичны. Отличительные же черты имеются лишь в формально-структурной организации данных ОСП.

Литература

1. Русская грамматика, т. II. Синтаксис.—М.: Наука, 1980. 2. Баскаков А. Н. Предложение в современном турецком языке.—М.: Наука, 1984.

Институт языкоznания
им. Насими АИА ССР

Поступило 15. IV. 1987

М. М. Мусаев

ОГУЗ ГРУППУ ТҮРК ДИЛЛЭРИНДЭ МУГАЙСЭ ӘЛАГӘЛИ ЗӘРФЛИК
ТАБЕЛИ МҮРӘККӘБ ЧҮМЛӘЛӘР.

Магадә мугайсә әлагәли табели мүрәккәб чүмләлорин там вә затамам типләри, структур-функционал групплары мүэйянләшdirildir. Кестәриен синтактик вәбидләр компонентләри арасында аналитик, аналитик-синтетик үсуллара көрә дә системалашdırıldı, Азәrbайҹан, түрк, гагауз, түркмән дилләриндо онларын охшар вә фәргли чәнатләри кестәрилир.

M. M. Musajev

ADVERBIAL COMPLEX SENTENCES WITH COMPARATIVE RELATION
IN TURKIC LANGUAGES OF OGHUZ GROUP

The article determines complete and incomplete types, structural-functional groups of complex sentences with comparative relation. These units are systematized on the basis of analytical, analytical-synthetic methods between components, its similar and distinctive features are pointed out too.

АЗЭРБАЙЧАН ЕЛМЛӨР АКАДЕМИЯСЫНЫН МӘРУЗӘЛӘРИ

ДОКЛАДЫ АКАДЕМИИ НАУК АЗЕРБАЙДЖАНА

ТОМ XLVI ЧИЛД

№ 2

1990

УДК 4. 413

ЛИЧИЛИК

М. В. МӘММӘДОВ

XVI ӘСР ІАСЫЛЫ АБИДӘСИ «ШҮҢӘДАНАМӘ»НИН ДИЛИНДӘ
ИШЛӘНМИШ БӘ'ЗИ: АРХАИЗМЛӨР ҺАГЫНДА

(Азәрбајҹан ЕА академики Б. Э. Нәбијев тәгдим етмишdir)

Кениш хаңг күтлөсінин асанлыгla баша дүшмәси үчүн фарсадан азәрбајҹанчаја чох садә бир дилдә, 450 ил бундан әvvәл (1538-чи ил), тәрчүмә олуныш «Шүңәданама» орта әсрләр Азәрбајҹан әдеби дилинин ән гијметли абидәләрнин бириди. Дилемизин тарихини өјрәнү тәдгигатчыларын демәк олар ки, һамысы бу абидәнин дил фактларына мурачиәт етмиш, ондан сиятлар көтиришиләр. Һәтта досент С. Элизадәнин «Шүңәданамәдә адлар» адлы намизәдлик диссертасијасында абидәдәкү ад группу шигт һиссәләрнин грамматик морфологи хүсусијәтләри мүкәммәл шәкилдә өјрәнилмишdir [1]. Бүтүн бунлара баҳмаяраг, бу абидәнин даңа мараглы олан лексик мәнзәрәси һәләлек там тәдгиг едилмәмишdir. Дүздүр, тәдгигатчылардан проф. М. Рәһимов, М. Һагыјев вә башгалары «Шүңәданамә»нин дилиндә ишләнмиш бирсыра диггәти чөлб едән лексик арханизмләри арашдырышлар [2, 30—61]. Лакин абидәнин лүгәт тәркибиндәки мараг дөгуралар арханк сөзләрин һеч дә һамысы тәдгигата чөлб олунымамышдыр.

Бу мәгаләдә биз елә сөзләри арашдырмага чалышмышыг ки, бу сөзләр дикәр жазылы абидәләрин дилиндә я һеч ишләнмәмиш олсун (һәр һалда гејдә алымамыш олсун), я да чох аз ишләнәрек лексик семантика вә стимоложи баҳымдан диггәти чөлб етсин.

Ajgar—хәбәрчи, саттын, часус.

Нечә аjгарлар Зијад оғлини дедиләр ки, Мұслимун ики оғли бу шәһәрдә кизлидүр (187а).

Бу сез «Шүңәданамә»нин башга дикәр Азәрбајҹан дили жазылы абидәләрнин—истәр «Шүңәданамә»нин әvvәлки, истәрсә дә сонракы абидәләрнин—дилиндә гејдә алымамышдыр. Лакин Азәрбајҹан дили диалектләрнинде вә бә'зи гоһум түрк дилләрнинде бу сез, семантика сәхәси бир гәдәр дәјиширилмиш шәкилдә олса да, галмагдадыр. Мәсәлән, бу сез *ajgar* шәклиниде Гах диалектиндә «јол кестәрән; бәләдчи» мә'насында, ишләнмишdir (Бы аjгар нә гәдәр сез дејир, Шаббас күлмүр) [4, 25].

Түрк дилләрнинде гырызы дилиндә «чугулчы, хәбәрчи», газах вә гарагалпаг дилләрнинде исә «шайид» мә'насында ишләнән *ajgar* сезү, Е. В. Севортјанын фикринче, умумтүрк мәншәли аj-көкүндән ад дүзәлдән—гак шәкилчиси васитәси илә эмәлә кәлмишdir [5, 100].

Ajgar сезүнүн «Шүңәданамә»дәки вә дикәр түрк дилләрниндәкү, еләчә дә диалектләрдәки мә'налары да бу фикрин дөгрүлүгүнү тәсдиғ едир. Бирчә буни әлавә едәк ки, сезүн көкү олан аj(маг) фе'ли бүтүн

түрк дилләриндә «де(мәк), дәныш(маг), сөјлә(мәк)» мә'насында дырки, *ajtag* сөзүни дә бу мә'налар илә багыллыгы шуббәсизdir. «Китаби-дәдәм Горгуд» дастанларының вә дикәр абидаләримизни дилинде бол-бол ишләнмиш ај(ы)т(маг) фә'ли Азәрбајҹан дилинде дә ај-кекүнүн һәмни мә'нада ишләнмиш олдугуну көстәрир. Фикримизчо, мұасир дилимиздәki һајла(маг), һајгыр(маг) фә'лләри дә ај-кекүн илә багыл ола биләр*.

Бусу—пүсегү јери.

Бу наләтдә вәниши бусудә отуруб фүрсөт иитизарни чәкәр иди. (66 б).

Бу сөз «Шүнәданамә»дан башга јазылы абидаләримиздөн јалины «Китаби-дәдәм Горгуд» дастанларының дилинде ишләнмишdir: Вә һәм бизэ пүсегү олғыл, оғул, деди. [6, 73].

Көрүндүjү кими, «Китаби-дәдәм Горгуд»да бу сөзүн семантик сәнәси даňа кениш олуб һәм дә «пүсегуда дуран» мә'насыны ифада едир. XVII айрымдан соңру пүсегү шәклинде формалашан бу сөз мұасир дилимиздә дә ишләнмәкдәdir. Сөзүн лексик-морфология формасында тамамилә айдын көрүнүр ки, бу сөз пүс(маг), фә'линдин -у шәкилчиси илә әмәлә көлмәнишdir (әл(мәк) фә'линдән олу, яз(маг) фә'линдән јазы сөзләри јараңдыгы кими).

Дутэм—Бир овучун тутдугу ғадәр.

Бир дутэм арух бугда көтүрди (10а).

«Шүнәданамә»ни фаречи орижиналы олаи «Рөвзәт-үш-шүнәда»-дакы «дости» сөзүни гарышылыгы кими ишләнмишdir.

Дикәр абидаләрдән јалины «Китаби-дәдәм Горгуд»да «тутам» шәклинде гејдә алынышдыр: Алтын тутам көндәрини ишә ојәрсән мәрә, кафир [6, 90].

Бу сөзүн дут(маг)//тут(маг) фә'линдән төрәндиди һәм семантик, һәм дә морфология чөнәтдән шуббәсизdir. Мұасир дилимиздө тутум шәклини дүшмүш бу сөз «ночы» мә'насында формалашмышдыr. Дутэм сөзүни әмәлә көтиреи -әм шәкилчиси мұасир дилимиздә өз јерини (ым) шәкилчине вермишdir: Бир ичим су, бир атым барыт, бир гуртум чај ифадәләринидәки ичим, атым, гуртум сөзләри бу ѡолла дүзәлмишdir.

Табин//танин—төрәфдар, мәсләкдан, ардычыл, иәрастиншар.

Мәнүм табинләрүм мәни көтүрүб апарылар (129а).

Азәрбајҹан дилинде орта асрләрдә бүтүн башга түрк дилләриндә олдугү кими, тап(маг) «иәрастинш етмак, тапнынмаг» мә'наларында ишләнмиш фә'лdir. Эк(мәк) фә'линдән әк-ин, бичмак фә'линдән бич-ин исимләри јараңдыгы кими, тап(маг) фә'линдән дә тап(ын) исеми јараңа биләрди ки, буун да мә'насы «иәрастиншар еден» олмалы иди. Эроб алифбасында бә'зән —и һәрфинин алтында үч ногта әвәзиши бир ногта гојулдугү учун вә үмүмийдә, түрк дилләринин тарихинде нәзмәг фә'ли мүстәсна олмагла илә башланып бүтүн сөзлөр тарихен б-- илә ифада едиади үчүн «Шүнәданамә»да табин шәклинде тәсадүф етдијимиз ва фарс дилинә дә кечмини бу сөзүн «иәрастиншар» мә'налы түрк мәнишәли сөз олдугуну күман едирик.

Тәсадүфи дејилдир әли, «Шүнәданамә»ни тәрчүмочи мүәллифи

табин сөзүнү әсәрин фаречи орижиналы олаи «Рөвзәт-үш-шүнәда»-дакы молазем сөзүнү гарышылыгы кими ишләтмишdir.

«Шүнәданамә»ни дилинде ишләнмиш, лакын дикәр абидаләрдә гејдә алынмамыш вә ja чох надир тәсадүф олунаи сөзләрни һамысыны арашырмаг имканымыз олмадыгыдан белә сөзләрдән бир ичәсиин садаламагла кифајәтләнирик: далу—«арха, күрак»; әмикдаш—бир дош-дән сүд әмән, сүд гардашы; садаг—«ох габы» вә с.

Бу чүр сөзләр ичәрсендә бо'зиләри онуила диггәти чәлб едир ки, онлар дикәр абидаләримиздәki арханк сөзләрни омоними кими чыхыш едир вә там башга мә'на верир. Мәсәлән: эвар(мәк) фә'ли абидаләримиздән јалины «Китаби-дәдәм Горгуд»да, өзү дә «евләнмәк» мә'насында ишләнмишdir: «Көзүм корүркән кал сәни эвәрәјим огуя, деди. [6, 43]. «Шүнәданамә»да иш бу сөз «ловгалинмаг, бош-бош данишмаг» мә'насында ишләнмишdir: Имам Һүсәни элејиссәлам ани һејхырды ки, иш эварсән (160а).

Әлжазмасында бу сөз һәтта һәрәкәләрлә верилмишdir. Јено дә ишчаг «Китаби-дәдәм Горгуд»да гејдә алыныш күтәл сөзү һмни абидалә «кутләшиш» мә'насы ифада едир. «Шүнәданамә»да иш күтәл «једәк аты, үстүнде адам отурмаја, минилмәјен ат, сәтијат аты» мә'насында ишләнмишdir: Чүн гардаш оғли Јејар көрди бир күтәли көтүрүб сәккитди вә Эбдуллаһи атлантурди (265а).

Итичә олараг демәлијик ки, «Шүнәданамә» тарихи лексиколокијамыз үчүн мараглы дил фактлары ила чох зәникни олаи бир абидаләdir.

1. Әлишадә С. Намизадлик диссертасијасыны олжазасы, Бакы, 1967. БДУ-нын вәасасында китабханасы.
2. Рәhimov M. Азәрб. ССР ЕА Хәбәрләри, ичтимай сәмләр серии. 1962, № 8. 3. Нагыза M. Z. Азәрб. ССР ЕА-нын Хәбәрләри. Әдәб., дил. ичтисаог сериясы, 1978, № 1. 4. Азәрбајҹан дилинни диалектологији луготи. Бакы, 1964. 5. Сәвәртян E. V. Этимологический словарь тюркских языков.—М., 1974. 6. «Китаби-Дәдәм Горгуд». Бакы, 1902.

Азәрб. ЕА
Әдәбијат Институту

Алынышдыр 2.XI.90

М. В. Мамедов

О НЕКОТОРЫХ АРХАИЗМАХ В ЯЗЫКЕ ПИСЬМЕННОГО ПАМЯТИКА XVI ВЕКА «ШУХАДЕНАМЕ»

В статье к выводу приведены исконно азербайджанские слова, зафиксированные в «Шухаденаме», но вышедшие из употребления на современном этапе развития азербайджанского языка. К ним относятся слова *ajtag*—«сплетник», «предатель», *бусу*—«место засады», *дутэм*—«горсть» и др. На все слова приведены примеры из памятника.

М. В. Mamadov

ON SOME ARCHAISMS IN "SHUHADENAME"—THE WRITTEN MONUMENT OF THE 16th CENTURY.

The paper deals with some words of the primordial Azerbaijani origin fixed in "Shuhadename". These words are not used in the modern Azerbaijani language. They are: *ajtag*—"gossip", "scout", " betrayer", *бусу*—"ambush", *дутэм*"—"handful" and soon. In the paper some sentences have been given for every word from the monument.

* Ма'лүк олдугү кими, орта осрәрдә дилимиздә сирәф миляни моншоли сөзләрни әнвалинда h сәси олмамышдыr. Ыни, ынс, ыр(мәк), ыур(мәк) кими сөзлөр тарихен ослинде ин, ис, үр(мәк), өр(мәк) шәклинде олмуш, h сәси онларын әнвалиндо дилин сөзләрни иикишаф дөврүнда артырылышында. Биз һајла(маг) һајгыр(маг) фә'лләрни да бу мөнгеден йанашибыргыт.

МУНДЭРИЧАТ

Ријазијјат

| | |
|---|--|
| <p><i>И. Ч. Мәрданов.</i> Ихи тәртибли хәтти фәрг операторларының вуругларына ајрылышы</p> <p><i>В. И. Цурков.</i> Чарназ әлагали системләр үчүн икисөйијәли алгоритмләрдә градиент методу</p> <p>Механика</p> <p><i>Р. Ю. Амензадә.</i> Реакријаја мәрз сластикчи чисмий јердәйшмаләрдә һәрәкәт тәннији</p> <p>Жарымкечирничәр физикасы</p> <p><i>Н. Т. Мәмәдов.</i> Лайлы-зәничирвари $TiGaSe_2$-да ЕСГ тензору әз иүвәләрни спин әлагы гарышылыглы тә'сирі</p> <p><i>М. Э. Низамәддинова, С. М. Сеид-Рзаева, В. Я. Штейншрайбер.</i> Бәрк $TiSe_xS_{1-x}$ мөйнүлларында там симметрија малык фононларының икимодалы характеристики</p> <p><i>С. Э. Эләкбәров, Ч. Э. Гачар, Ч. Ф. Конкарли.</i> $InSb$-да магнит саһәсчини 1/7 күјүнә тә'сирі</p> <p>Астрофизика</p> <p><i>М. Б. Керимбеков, А. А. Румянцев, Е. В. Орленко.</i> Күңәш сәттисинең ичә гурулушунун мүшәндиәси нағылда</p> <p>Јүксәммолекулјар бирлешмәләрни кимјасы</p> <p><i>Н. А. Зейналов, М. В. Ульянова, В. И. Сметанюк, А. А. Эфендиев.</i> ИК-спектро- скопик методла полимер келдо иммобилизација олутрумуш $Ti(OR)_2Cl_2$, Zr $(OR)_2Cl_2$ әз $R_3Al_2Cl_3$ осасында стиленини димерлаштырмалы катализаторларының өјрәнилмәс</p> <p>Кристаллографија</p> <p><i>М. И. Чирағов, К. Г. Рәхимов, Х. С. Мамедов.</i> Са-гидроалюминатын һидро- термал синтези әз кристал гурулушунун дәғигләшdirilmәс</p> <p>Кеокимја</p> <p><i>Ш. Ф. Мәһдиев, Й. Б. Галаант, С. А. Мамедова, Т. Л. Жүйкова.</i> Нефтли- газлы һөвзәләрни сухурларының ајрилышы газлары</p> <p>Палеомагнетизм</p> <p><i>А. Н. Гусев, М. И. Исаева.</i> Қичик Гафгазын шәрг һиссәсинин алт тәбашир палеомагнетизми</p> <p>Торпагшұнаслығ</p> <p><i>С. Э. Элиев, Ч. К. Кулалыев.</i> Торпагларын құсуын сәттә кәмийети әз ин- формасия нәзәријеси (энтропија) арасында гарышылыглы әлаге</p> <p>Битки систематикасы</p> <p><i>А. Ш. Ибраһимов, А. М. Эскеров.</i> Нахчыван МССР-ның флорасына даир жени материаллар</p> <p>Үмуми тарих</p> <p><i>Насиб Насибзадә.</i> «Иран милләти» анылашының даир</p> <p>Диличилик</p> <p><i>М. М. Мусаев.</i> Огуз групу түрк диllәrinde мугајисә әлагали зәрфлик табели мүрәккаб чүмләләр</p> <p><i>М. В. Мамедов.</i> XVI əsr язылы абынды «Шүһәданамә»ниң дилиндә иш- ләмнин бәзин арханзымләр нағылда</p> | <p>3</p> <p>6</p> <p>9</p> <p>12</p> <p>17</p> <p>22</p> <p>26</p> <p>31</p> <p>34</p> <p>39</p> <p>44</p> <p>48</p> <p>52</p> <p>56</p> <p>59</p> <p>63</p> |
|---|--|

СОДЕРЖАНИЕ

Математика

| | |
|---|---------------------------------------|
| <p><i>И. Дж. Марданов.</i> Разложение линейного разностного оператора второго порядка на множители</p> <p><i>В. И. Цурков.</i> Градиентная методика в двухуровневых алгоритмах для систем с перекрестными связями</p> | <p>3</p> <p>6</p> |
|---|---------------------------------------|

Механика

| | |
|---|--------------------|
| <p><i>Р. Ю. Амензадә.</i> Уравнение движения в перемещениях для упругого тела с реакциями</p> | <p>9</p> |
|---|--------------------|

Физика полупроводников

| | |
|--|---|
| <p><i>Н. Т. Мамедов.</i> Тензор ГЭП и спиновые обменные взаимодействия ядер в слоисто-цепочечных кристаллах $TiGaSe_2$</p> <p><i>М. А. Низаметдинова, С. М. Сеид-Рзаева, В. Я. Штейншрайбер.</i> Двухмодовый характер полносимметричных фононов в твердых растворах $TiSe_xS_{1-x}$</p> <p><i>С. А. Алексперов, Ч. О. Каджар, Д. Ф. Кенгерли.</i> Влияние магнитного поля на 1/7 шум $InSb$</p> | <p>12</p> <p>17</p> <p>22</p> |
|--|---|

Астрофизика

| | |
|---|---------------------|
| <p><i>М. Б. Керимбеков, А. А. Румянцев, Е. В. Орленко.</i> О тонкой структуре солн- ечной поверхности. II</p> | <p>26</p> |
|---|---------------------|

Химия высокомолекулярных соединений

| | |
|---|---------------------|
| <p><i>Н. А. Зейналов, М. В. Ульянова, В. И. Сметанюк, А. А. Эфендиев.</i> ИК-спектро- скопическое исследование катализаторов димеризации этилена из основе $Ti(OR)_2$, $Zr(OR)_2Cl_2$ и $R_3Al_2Cl_3$, иммобилизованных на полимерном геле</p> | <p>31</p> |
|---|---------------------|

Кристаллография

| | |
|---|---------------------|
| <p><i>М. И. Чирағов, К. Г. Рагимов, Х. С. Мамедов.</i> Гидротермальный синтез и уточнение кристаллической структуры Са-гидроалюмината</p> | <p>34</p> |
|---|---------------------|

Геохимия

| | |
|--|---------------------|
| <p><i>Ш. Ф. Мехтиев, Ю. Б. Галант, С. А. Мамедова, Т. Л. Жүйкова.</i> Сорбированные газы пород нефтегазоносных бассейнов</p> | <p>39</p> |
|--|---------------------|

Палеомагнетизм

| | |
|---|---------------------|
| <p><i>А. Н. Гусев, М. И. Исаева.</i> Палеомагнетизм нижнемеловых отложений восточной части Малого Кавказа</p> | <p>44</p> |
|---|---------------------|

Почвоведение

| | |
|---|---------------------|
| <p><i>С. А. Алиев, Ч. Г. Гюлалыев.</i> Взаимоотношение между теорией информации (энтропия) и удельной поверхностью почв</p> | <p>48</p> |
|---|---------------------|

Систематика растений

| | |
|--|---------------------|
| <p><i>А. Ш. Ибраһимов, А. М. Аскеров.</i> Новые материалы к флоре Нахичеван- ской АССР</p> | <p>52</p> |
|--|---------------------|

Общая история

| | |
|---|---------------------|
| <p><i>Насиб Насибзадә.</i> О понятии «Иранская нация»</p> | <p>56</p> |
|---|---------------------|

Языкоизнание

| | |
|--|---------------------|
| <p><i>М. М. Мусаев.</i> Обстоятельственные сложноподчиненные предложения со срав- нительным отношением в тюркских языках огузской группы</p> | <p>59</p> |
|--|---------------------|

| | |
|---|---------------------|
| <p><i>М. В. Мамедов.</i> О некоторых арханзымах письменного памятника XVI века «Шүһәданамә»</p> | <p>63</p> |
|---|---------------------|

статьи печатается на белой бумаге через два интервала на одной стороне стандартного размера, с полями с левой стороны (не более 28 строк и не менее по 58—60 знаков в строке). В тексте нельзя делать рукописные искажения.

Титульные листы, напечатанные на портативной машинке, не принимаются.

Составленный текст статьи должен быть изложен кратко, тщательно отредактирован и передан авторами в печать. В математических статьях желательно избегать доказательств теорем, лемм и т. п. При использовании в тексте сокращенных названий (кроме общепринятых) необходимо давать их расшифровку.

11. Математические и химические формулы и символы в тексте должны быть вписаны четко. Следует избегать громоздких обозначений, применения, например, трех и более показателей степени вместо радикалов, а также expr Занумерованные формулы обязательно включаются в красную строку, номер формулы ставится у правого края страницы. Желательно нумеровать лишь те формулы, на которые имеются ссылки. Подстрочные и надстрочные индексы и степени следует отмечать карандашом, дугами сверху и снизу:

$$R^n \ r_n$$

Греческие буквы нужно обводить (в кружок) красным карандашом. Буквы греческого шрифта и рукописные в рукописях не использовать. Векторные величины — подчеркивать черным, буквы латинского рукописного шрифта следует отметить на засечках (например, II рукоп.).

Во избежание ошибок следует четко обозначать прописные (заглавные) и строчные буквы латинского алфавита, имеющие сходное начертание (Ca; Kk; Pp; Oo; Ss; Uu; Vv; и т. д.), буквы I(i) и J(j) булаву I и римскую единицу I, а также арабскую цифру 1 и римскую I' (вертикальная четка), I и штрих в индексах, I (латинское эль) и e. Прописные буквы подчеркивать карандашом двумя черточками снизу (С), а строчные — сверху (с.).

Следует избегать знаков типа: ~ (волна), Θ , \exists , \otimes ; \square , \blacksquare , \diamond , $\vee\wedge$

(крышки) над и под буквами, а также знаков:

$$\hbar \times \epsilon, \phi, \int, \oint, \otimes$$

Латинские начертания вписываются на машинке.

Слова «теорема», «лемма», «следствие», «определение», «замечание» и т. п. следует подчеркивать штриховой чертой, а текст утверждений типа теорем — волнистой чертой (исключая математические символы).

При выборе единиц измерения рекомендуется придерживаться международной системы единиц СИ.

12. При описании методики исследования следует ограничиваться оригинальной ее частью. При элементном анализе приводить только усредненные данные.

13. Необходимо тщательно проверить написание местных географических названий.

14. Цитированная литература проводится общим списком на отдельной странице: ссылки в тексте даются порядковым номером в круглых скобках над строкой (например, 1). Список литературы оформляется следующим образом:

для книг: инициалы и фамилии авторов, полное название книги, место и год издания;

для журнальных статей: инициалы и фамилии авторов, название журнала, номер тома, номер выпуска, страница и год издания.

Ссылки на неопубликованные работы не допускаются.

15. Все статьи должны иметь резюме на английском языке, кроме того, статьи, написанные на русском и азербайджанском языках, должны иметь резюме на азербайджанском и на русском соответственно.

Публикация статьи в «Докладах» не препятствует напечатанию расширенного ее варианта в другом периодическом издании.

Сдано в набор 25.03.91. Подписано к печати 12.12.91. Формат 70×100 $\frac{1}{16}$.
Бумага типографская № 1. Гарнитура шрифта литературная. Печать высокая.
Усл. печ. лист. 5,52. Усл. кр.-отт. 5, 52. Уч.-изд. лист. 4,3. Тираж 700.
Заказ 129. Цена 70 коп.

Издательство «Элми».
370143 Баку-143, проспект Нариманова, 31, Академгородок, Главное здание.
Типография «Газыл Шарг» Государственного комитета Азербайджанской Республики
по печати.
Баку, ул. Ази Асланова, 80.

70 тэл.
коп.

Индекс
76355